



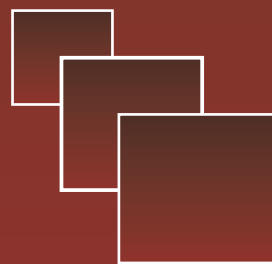
Вестник

Уральского
государственного
университета
путей сообщения

Научный журнал

Herald
of the Ural State University
of Railway Transport

Scientific journal



Научный журнал
«Вестник Уральского государственного
университета путей сообщения»
№ 1 (13), 2012 год

**Главный редактор,
научный редактор**
Василий Михайлович Сай

Литературный и выпускающий редактор
Людмила Станиславовна Барышникова

Техническое редактирование и верстка
Андрей Викторович Трубин

Дизайн обложки
Ольга Петровна Игнатьева

Переводчики
Елена Владимировна Ершова
Анна Викторовна Бочкарева

Учредитель и издатель:
Уральский государственный
университет путей сообщения
(УрГУПС)

Адрес для корреспонденции:
620034, Екатеринбург,
ул. Колмогорова, 66, УрГУПС,
редакция журнала
«Вестник УрГУПС»

Телефон редакции: (342) 367-41-11.
Веб-сайт: www.vestnik.usurt.ru;
e-mail: vestnik@usurt.ru.

Журнал издается по решению
ученого совета университета
©УрГУПС

Свидетельство о регистрации
средства массовой информации
Роскомнадзора ПИ № ФС77–38188
от 30 ноября 2009 г.

Отпечатано в издательстве
Уральского государственного
университета путей сообщения,
620034, Екатеринбург,
ул. Колмогорова, 66.

Подписано в печать 30.03.2012.

Тираж 300. 1-й з-д.: 1–100.
Формат 70×100/16.
Заказ № 85.

Scientific journal «Herald of the
Ural State University
of Railway Transport»
№ 1 (13), 2012

**Editor-in-chief,
Science editor**
Vasily M. Say

Script and copy editor
Lyudmila S. Baryshnikova

Technical editing and make-up
Andrey V. Trubin

Cover design
Olga P. Ignatjeva

Translators:
Elena V. Ershova
Anna V. Bochkareva

Founder and publisher:
The Ural State University
of Railway Transport
(USURT)

Correspondence address:
«Herald of USURT» editorial office
The Ural State University of
Railway Transport»
66 Kolmogorov Street,
620034, Ekaterinburg,

Telephone: +7 (342) 367-41-11.
Web-site: www.vestnik.usurt.ru;
e-mail: vestnik@usurt.ru.

The journal is published by the decision of
University Academic Board
©USURT

Certificate of registration of mass media
by the Federal Service for Supervision
in the sphere of communications,
information technology and mass communications
(Roskomnadzor) PI № FS77–38188
of November 30, 2009.

Printed in the Publishing house
of the Ural State University of
Railway Transport
66 Kolmogorov Street,
620034, Ekaterinburg.

Passed for printing 30.03.2012.

Circulation 300. 1-й з-д.: 1–100.
Format 70×100/16.
Order № 85.

Международный редакционный совет

Кейт Бурнхам, профессор, Университет г. Ковентри, факультет машиностроения и вычислительной техники, Великобритания

Владимир Анциферов, д-р техн. наук, профессор академик РАН, Пермь, Россия

Петер Копачек, профессор, Венский технологический университет, Венский институт транспорта и робототехники, интеллектуальный транспорт и робототехника, Вена, Австрия

Владимир Цыганов, д-р техн. наук, профессор, Институт проблем управления Российской академии наук, Москва, Россия

Марек Ситаж, профессор, Силезский технический университет, транспортный факультет, кафедра «Железнодорожный транспорт», Польша

Клаус Беккер, профессор, Университет прикладных наук г. Кельна, Институт автомобильной техники, лаборатория NVH, Германия

Василий Сай, д-р техн. наук, профессор, Уральский государственный университет путей сообщения, Екатеринбург, Россия

Редколлегия

Вовк Алексей Александрович, д-р экон. наук, профессор, МГУПС, Москва

Воскресенская Тамара Петровна, д-р техн. наук, профессор, СибГИУ, Новокузнецк

Воробьев Александр Алексеевич, д-р техн. наук, профессор, МГУПС, Москва

Ефимов Александр Васильевич, канд. техн. наук, профессор, УрГУПС, Екатеринбург

Корнилов Сергей Николаевич, д-р техн. наук, профессор, МГТУ, Магнитогорск

Нестеров Валерий Леонидович, д-р техн. наук, профессор, УрГУПС, Екатеринбург

Сапожников Валерий Владимирович, д-р техн. наук, профессор, С.-ПГУПС, Санкт-Петербург

Черемисин Василий Титович, д-р техн. наук, профессор, ОмГУПС, Омск

Шурин Константин Владимирович, д-р техн. наук, профессор, ОГУ, Оренбург

Тимофеева Галина Адольфовна, д-р физ.-мат. наук, профессор, УрГУПС, Екатеринбург

International editorial board

Keith Burnham, professor, Coventry University, Faculty of Engineering and Computing, Great Britain

Vladimir Antsiferov, DSc, professor, academician of Russian Academy of Sciences, Perm, Russia

Peter Kopachek, professor, Vienna University of Technology, Vienna Institute of Transportation and Robotics, Intelligent Transportation and Robotics, Vienna, Austria

Vladimir Tsyganov, DSc, professor, Russian Academy of Sciences, Institute of Control Sciences, Moscow, Russia

Marek Sitarz, professor, Silesian University of Technology, Faculty of Transport, Railway Engineering Department, Poland

Klaus Becker, professor, Cologne University of Applied Science, Institute of Automotive Engineering, NVH Laboratory, Germany

Vasily Say, DSc, professor, The Ural State University of Railway Transport, Ekaterinburg, Russia

Editorial board

Vovk Alexei Aleksandrovich, DSc, professor, Moscow State University of Railway Transport, Moscow

Voskresenskaya Tamara Petrovna, DSc, professor, Siberian State Industrial University, Novokuznetsk

Vorobjev Alexander Alexeevich, DSc, professor, Moscow State University of Railway Transport, Moscow

Efimov Alexander Vasilievich, DSc, professor, The Ural State University of Railway Transport, Ekaterinburg

Kornilov Sergey Nikolaevich, DSc, professor, Magnitogorsk State Technical University, Magnitogorsk

Nesterov Valery Leonidovich, DSc, professor, The Ural State University of Railway Transport, Ekaterinburg

Sapozhnikov Valery Vladimirovich, DSc, professor, Saint-Petersburg State University of Railway Transport, Saint-Petersburg

Cheremisin Vasily Titovich, DSc, professor, Omsk State University of Railway Transport, Omsk

Shchurin Konstantin Vladimirovich, DSc, professor, Orenburg State University, Orenburg

Timofeeva Galina Adolfovna, DSc, professor, The Ural State University of Railway Transport, Ekaterinburg

Содержание

МАТЕМАТИЧЕСКИЕ МОДЕЛИ ТЕХНОЛОГИЧЕСКИХ ПРОЦЕССОВ

- 4 С. П. Баутин, С. Л. Дерябин. Исследование начально-краевой задачи для системы уравнений Грина – Нагди
- 14 И. Ю. Крутова. Задача о движении газа в условиях действия сил тяжести и Кориолиса в окрестности непроницаемой горизонтальной плоскости

МЕХАНИКА МАШИН И РОБОТОВ

- 22 И. А. Добычин, М. Ю. Градинаров. Неголономная динамика колесной пары
- 39 К. Кшиштошек, М. Хшан, Э. Шихта. Имитационное моделирование движения тяговых электрических машин в заданной области электропитания

ОРГАНИЗАЦИЯ И ЛОГИСТИКА

- 46 Д. И. Кочнева. Организация движения порожнего контейнеропотока в региональной контейнерной транспортно-логистической системе
- 54 А. А. Чеботаев, А. Я. Калининченко, И. М. Кийченко. Топливо-энергетические ресурсы в сфере обеспечения пассажирских услуг

УПРАВЛЕНИЕ. ЭКОНОМИКА

- 69 Х. Н. Гизатуллин, А. А. Самотаев, Ю. А. Дорошенко. Системный подход при анализе выпуска валовой продукции отраслями Российской Федерации

СТРОИТЕЛЬНЫЕ КОНСТРУКЦИИ

- 81 А. В. Шипуля, С. М. Скоробогатов. Проблемы Уточнения деформативных характеристик при определении прогибов безбалочных бескапитальных перекрытий

РАЗВИТИЕ ТРАНСПОРТНЫХ СИСТЕМ

- 87 И. В. Турбин, П. В. Мудров. Параметры проекта и трасса грузообразующих железных дорог
- 93 Ю. А. Быков, Н. В. Кашкин. Методика прогнозирования развития мощности проектируемых железных дорог
- 102 А. А. Конов. Транспортная политика императора Александра III и современность

Contents

MATHEMATIC MODELS OF TECHNOLOGICAL PROCESSES

- 4 S. P. Bautin, S. L. Deryabin. Research of the initial-boundary value problem for the system of Green – Naghdi equations
- 14 I. Yu. Krutova. Gas flow problem in the circumstances of gravity and coriolis force effect in surroundings of impermeable horizontal flatness

MECHANICS OF MACHINES AND ROBOTS

- 22 Dobychin I. A., Gradinarova M. Yu. Non-holonomic dynamics of wheel pair
- 39 Krzysztosek Konrad, Chrzan Marcin, Elzbieta Szycha. Motion simulation traction electrical equipment in a given region supply

ORGANIZATION AND LOGISTICS

- 46 D. I. Kochneva. Organization of empty container flow traffic in regional container transport-logistic system
- 54 A. A. Chebotaev, A. Ya. Kalinichenko, I. M. Kiychenko. Fuel and energy resources supply for passenger services

MANAGEMENT. ECONOMICS

- 69 Kh. N. Gizatullin, A. A. Samotaev, Yu. A. Doroshenko. System approach when analyzing gross output production by RF branches

BUILDING STRUCTURES

- 81 A. Shipulya, S. Skorobogatov. Refinement of deformative characteristics in determining of deflections in flat plate floor

RESEARCH OF YOUNG SCIENTISTS

- 87 I. V. Turbin, P. V. Mudrov. Project parameters and cargo-generating railways' route
- 93 Yu. A. Bykov, N. V. Kashkin. Forecasting methods of designed railways' power development
- 102 A. A. Konov. The state policy of the emperor Alexander III and the present time

МАТЕМАТИЧЕСКИЕ МОДЕЛИ ТЕХНОЛОГИЧЕСКИХ ПРОЦЕССОВ

УДК 517.95+533.6

С. П. Баутин, С. Л. Дерябин

Исследование начально-краевой задачи для системы уравнений Грина – Нагди

UDC 517.95+533.6

S. P. Bautin, S. L. Deryabin

Research of the initial-boundary value problem for the system of Green – Naghdi equations

Аннотация

Для описания распространения длинных волн в настоящее время используются классические уравнения мелкой воды. Однако для детального моделирования явления на продолжительное время требуются модели, способные воспроизводить дисперсию. Этим условиям в моделях мелкой воды отвечают нелинейно-дисперсионные уравнения Грина – Нагди.

В работе исследована корректность постановки задачи Коши для системы уравнений Грина – Нагди и показано, что задача Коши не имеет единственного решения. Предложена начально-краевая задача, которая для системы уравнений Грина – Нагди является аналогом задачи Коши. Доказана теорема существования и единственности решения этой задачи.

В виде степенных рядов построены точные решения начально-краевой задачи с различными граничными условиями, которые могут быть использованы для тестирования численных методик при моделировании длинных волн.

Ключевые слова:

модель мелкой воды; нелинейно-дисперсионная модель Грина – Нагди; начально-краевая задача; теорема существования и единственности; степенные ряды.

Abstract

Today to describe long waves transmission the classical shallow-water equations are used. However, the detailed long time effect simulation requires the models, which are able to reproduce dispersion. In shallow-water models nonlinear dispersion Green – Naghdi equations meet these conditions.

In this work it is investigated the correctness of Cauchy problem statement for the system of Green – Naghdi equations and shown that Cauchy problem doesn't have a unique solution. It is offered the initial-boundary value problem, which is the analog of Cauchy problem for the system of Green – Naghdi equations. The theorem of existence and uniqueness of the solution of this problem is proved.

The exact solutions of initial-boundary value problem in view of power series are framed with different boundary conditions, which can be used for testing numerical methods when long waves simulation.

Key words:

shallow-water model, nonlinear dispersion Green – Naghdi model, initial-boundary value problem, theorem of existence and uniqueness, power series.

Сергей Петрович Баутин — д-р физ.-мат. наук, профессор; кафедра «Высшая и прикладная математика» Уральского государственного университета путей сообщения, Екатеринбург, Россия. E-mail: SBautin@usurt.ru.

Сергей Львович Дерябин — д-р физ.-мат. наук, профессор; кафедра «Высшая и прикладная математика» Уральского государственного университета путей сообщения, Екатеринбург, Россия. E-mail: SDeryabin@usurt.ru.

Sergey P. Bautin — DSc, Professor; «Higher mathematics» chair of the Ural State University of Railway Transport, Ekaterinburg, Russia. E-mail: SBautin@math.usurt.ru.

Sergey L. Deryabin — DSc, Professor; «Higher mathematics» chair of the Ural State University of Railway Transport, Ekaterinburg, Russia.

Для описания распространения длинных волн используются все модели — от классических уравнений мелкой воды [1, 2] до системы уравнений газовой динамики и полной системы уравнений Навье – Стокса [3, 4]. В настоящее время наиболее широкое распространение получили численные методы, основанные на аппроксимации уравнений мелкой воды. При приближении волны к берегу линия уреза начинает смещаться в сторону суши, поэтому решение задачи приходится отыскивать в области с подвижной границей. Кроме того, на самой линии уреза полная глубина жидкости обращается в нуль, что создает дополнительные трудности при численном моделировании выхода волны на берег. Поэтому для оценки точности различных численных методов решения задач с подвижной линией уреза необходимы аналитические исследования поведения решения в процессе наката и отката волн, позволяющие определить граничные условия на границе уреза. В работе [5] для классических уравнений мелкой воды такие исследования проведены и получен закон движения границы уреза.

Однако для детального моделирования длительного явления требуются модели, способные воспроизводить дисперсию и отражать неод-

нородность процесса. Этим условиям в моделях мелкой воды отвечают нелинейно-дисперсионные уравнения Грина – Нагди [6]. Но система уравнений Грина – Нагди существенно сложнее классических уравнений мелкой воды и не является гиперболической. При ее исследовании возникают нетривиальные начально-краевые задачи, в частности, задача Коши для этой системы не имеет единственного решения. Исследованию начально-краевых задач для системы уравнений Грина – Нагди посвящена данная работа.

1. Построение решения начально-краевой задачи в общем невырожденном случае

Рассматривается слой жидкости, ограниченный свободной поверхностью и непроницаемым дном (рис. 1). Предполагается, что жидкость является несжимаемой и невязкой и находится в гравитационном поле. Кроме того, считается, что течение жидкости — безвихревое. Декартова система координат выбирается так, что уравнение свободной поверхности покоящейся жидкости имеет вид $y = 0$.

Система уравнений Грина – Нагди — система уравнений мелкой воды второго приближения для одномерных течений, имеет вид [6]

$$H_t + H_x u + H u_x = 0, \quad (1.1)$$

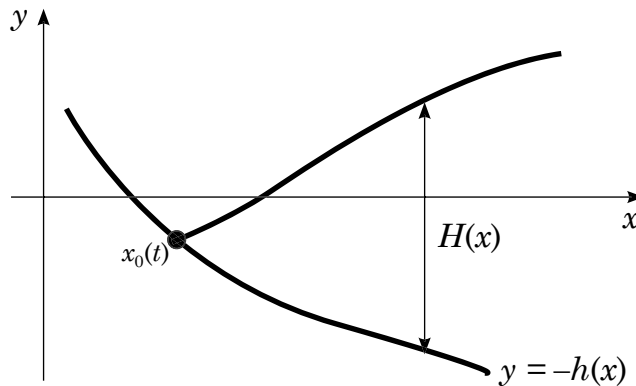


Рис. 1

$$u_t + uu_x = g(h_x - H_x) - (h_x - H_x)R_2 + \\ + H \left[R_1 \left(H_x - \frac{1}{2} h_x \right) + \frac{1}{2} R_{2x} + \frac{H}{3} R_{1x} \right].$$

Здесь H — полная глубина жидкости от непроницаемого дна до свободной поверхности движущейся жидкости, g — ускорение свободного падения, $y = -h(x)$ — известная функция, задающая непроницаемое дно (см. рис. 1). Также использованы обозначения

$$R_1 = u_{tx} + uu_{xx} - u_x^2; \\ R_2 = (u_t + uu_x)h_x + h_{xx}u^2; \\ R_{1x} = u_{txx} + uu_{xxx} - u_x u_{xx}; \\ R_{2x} = (u_{tx} + uu_{xx} + u_x^2)h_x + \\ + (u_t + 3uu_x)h_{xx} + h_{xxx}u^2.$$

Подставляя явный вид R_1 , R_2 в (1.1), получим систему

$$H_t + H_x u + H u_x = 0, \quad (1.2)$$

$$u_{txx} + \frac{3H_x}{H} u_{tx} - \\ - \frac{3}{H^2} \left(1 + h_x^2 - h_x H_x - \frac{H}{2} h_{xx} \right) u_t = \\ = -uu_{xxx} + \left(u_x - \frac{3H_x}{H} u \right) u_{xx} - \\ - \frac{3}{2H} (3h_{xx}uu_x + h_{xxx}u^2) + \\ + \frac{3}{H^2} uu_x + \frac{3}{H^2} (h_x - H_x) \times \\ \times (uu_x h_x + h_{xx}u^2 - Hu_x^2 - g).$$

Для системы (1.2) задаются начальные условия

$$H(t_0, x) = H_0(x), \quad (1.3) \\ u(t_0, x) = u_0(x).$$

Решение задачи (1.2)–(1.3) не является единственным, поскольку при подстановке начальных условий (1.3) во второе уравнение системы (1.2) для выводящей производной $u_t|_{t=t_0}$ получается дифференциальное уравнение по x второго порядка.

Для получения единственного решения задачи (1.2)–(1.3) необходимо задать два дополнительных условия. В частности, такими условиями могут быть

$$u(t, x_{00}) = u^0(t), \quad (1.4)$$

$$u_x(t, x_{00}) = u^1(t).$$

Предполагается, условия (1.3) и (1.4) согласованы:

$$u_0(x_{00}) = u^0(t_0), \quad u_{0x}(x_{00}) = u^1(t_0).$$

Функции $H_0(x)$, $u_0(x)$, $h(x)$, $u^0(t)$, $u^1(t)$ будут предполагаться аналитическими в окрестности точек $x = x_{00}$, $t = t_0$ соответственно. Также будет предполагаться, что $H_0(x_{00}) \neq 0$, то есть рассматривается невырожденный случай: точка $x = x_{00}$ в момент времени $t = t_0$ не лежит на границе уреза.

При этих предположениях справедлива следующая

Теорема

Задача (1.2)–(1.4) имеет единственное локально-аналитическое решение.

Доказательство теоремы проведем по методике [4, 7].

1. Перепишем систему (1.2) в квазилинейной форме [8], вводя новые неизвестные функции R , v , w :

$$R = H_x, \quad v = u_x, \quad w = v_x,$$

$$R_t + R_x u + R u_x + H v_x = -R v,$$

$$H_t = -R u - H v,$$

$$\begin{aligned}
 & w_t + \frac{3R}{H} v_t - \\
 & - \frac{3}{H^2} \left(1 + h_x^2 - h_x R - \frac{H}{2} h_{xx} \right) u_t + \\
 & + u w_x = \left(R - \frac{3R}{H} u \right) w - \\
 & - \frac{3}{2H} (3h_{xx} uv + h_{xxx} u^2) + \\
 & + \frac{3}{H^2} uv + \frac{3}{H^2} (h_x - R) \times \\
 & \times (u v h_x + h_{xx} u^2 - H v^2 - g), \quad (1.5)
 \end{aligned}$$

$$0 \cdot u_t + u_x = v,$$

$$0 \cdot v_t + v_x = w.$$

2. Для системы (1.5) задаются начальные условия

$$\begin{aligned}
 & H(t_0, x) = H_0(x), R(t_0, x) = \\
 & = H_{0x}(x), u(t_0, x) = u_0(x), v(t_0, x) = \\
 & = u_{0x}(x), w(t_0, x) = u_{0xx}(x).
 \end{aligned}$$

Если в системе (1.5) положить $t = t_0$, то последние два уравнения будут выполняться тождественно.

3. Проведем вспомогательные построения. Последние два уравнения системы (1.5) продифференцируем по t и, подставляя w_t из третьего уравнения, получим

$$u_{tx} = v_t, \quad (1.6)$$

$$\begin{aligned}
 & v_{tx} = -\frac{3R}{H} v_t + \\
 & + \frac{3}{H^2} \left(1 + h_x^2 - h_x R - \frac{H}{2} h_{xx} \right) u_t - u w_x + P,
 \end{aligned}$$

где
$$\begin{aligned}
 & P = \left(R - \frac{3R}{H} u \right) w - \\
 & - \frac{3}{2H} (3h_{xx} uv + h_{xxx} u^2) + \\
 & + \frac{3}{H^2} uv + \frac{3}{H^2} (h_x - R) \times \\
 & \times (u v h_x + h_{xx} u^2 - H v^2 - g).
 \end{aligned}$$

В системе (1.6) положим $t = t_0$, будем иметь систему обыкновенных дифференциальных уравнений

$$u_{1x} = v_1, \quad (1.7)$$

$$\begin{aligned}
 & v_{1x} = -\frac{3R_0}{H_0} v_1 + \\
 & \frac{3}{H_0^2} \left(1 + h_x^2 - h_x R_0 - \frac{H_0}{2} h_{xx} \right) u_1 - \\
 & - u_0 w_{0x} + P_0.
 \end{aligned}$$

Чтобы получить начальные условия для системы (1.7), надо условия (1.4) продифференцировать по t и положить $t = t_0$.

$$u_1(x_{00}) = u_t^0(t_0), \quad (1.8)$$

$$v_1(x_{00}) = u_t^1(t_0).$$

По теореме Коши задача (1.7)–(1.8) имеет единственное аналитическое решение

$$u_t(t_0, x) = u_1 = u_1(x),$$

$$v_t(t_0, x) = v_1 = v_1(x).$$

4. Для приведения системы (1.5) стандартному виду введем дополнительно две новых неизвестных функции $U = u_t$, $V = v_t$. Тогда система (1.5) переписывается в виде

$$R_t + R_x u + R u_x + H v_x = -R v,$$

$$H_t = -R u - H v,$$

$$\begin{aligned}
 & w_t + u w_x = -\frac{3R}{H} V + \\
 & + \frac{3}{H^2} \left(1 + h_x^2 - h_x R - \frac{H}{2} h_{xx} \right) U + P,
 \end{aligned}$$

$$u_t = U, \quad (1.9)$$

$$v_t = V,$$

$$0 \cdot U_t + U_x = V,$$

$$0 \cdot V_t + V_x + uw_x = -\frac{3R}{H}V + \\ + \frac{3}{H^2} \left(1 + h_x^2 - h_x R - \frac{H}{2} h_{xx} \right) U + P.$$

Или в векторной форме:

$$\mathbf{A}(R, H, w, u, v) \mathbf{V}_t + \\ + \mathbf{B}(R, H, w, u, v) \mathbf{V}_x = \\ = \mathbf{C}(R, H, w, u, v),$$

где $\mathbf{V} = \{R, H, w, u, v, U, V\}$,

$$\mathbf{A} = \begin{pmatrix} 1 & 0 & 0 & 0 & 0 & 0 & 0 \\ 0 & 1 & 0 & 0 & 0 & 0 & 0 \\ 0 & 0 & 1 & 0 & 0 & 0 & 0 \\ 0 & 0 & 0 & 1 & 0 & 0 & 0 \\ 0 & 0 & 0 & 0 & 1 & 0 & 0 \\ 0 & 0 & 0 & 0 & 0 & 0 & 0 \\ 0 & 0 & 0 & 0 & 0 & 0 & 0 \end{pmatrix},$$

$$\mathbf{B} = \begin{pmatrix} u & 0 & 0 & R & H & 0 & 0 \\ 0 & 0 & 0 & 0 & 0 & 0 & 0 \\ 0 & 0 & u & 0 & 0 & 0 & 0 \\ 0 & 0 & 0 & 0 & 0 & 0 & 0 \\ 0 & 0 & 0 & 0 & 0 & 0 & 0 \\ 0 & 0 & 0 & 0 & 0 & 1 & 0 \\ 0 & 0 & u & 0 & 0 & 0 & 1 \end{pmatrix},$$

$$\mathbf{C} = \begin{pmatrix} -Rv \\ -Ru - Hv \\ -\frac{3R}{H}V + \frac{3}{H^2} \left(1 + h_x^2 - h_x R - \frac{H}{2} h_{xx} \right) U + P \\ U \\ V \\ V \\ -\frac{3R}{H}V + \frac{3}{H^2} \left(1 + h_x^2 - h_x R - \frac{H}{2} h_{xx} \right) U + P \end{pmatrix}.$$

Для системы (1.9) задаются начальные условия

$$H(t_0, x) = H_0(x), R(t_0, x) = H_{0x}(x), \\ u(t_0, x) = u_0(x), v(t_0, x) = u_{0x}(x), (1.10) \\ w(t_0, x) = u_{0xx}(x),$$

$$U(t_0, x) = u_1(x),$$

$$V(t_0, x) = v_1(x).$$

5. Задача (1.9), (1.10) является характеристической, поскольку определитель матрицы \mathbf{A} равен нулю. Ранг матрицы \mathbf{A} равен пяти — две нижние строки состоят из нулей, поэтому поверхность $t = t_0$ является характеристикой кратности два, и для построения единственного решения необходимо задать два дополнительных условия [4]. Этими условиями являются условия (1.4).
6. В матрице \mathbf{A} два правых столбца и две нижние строки состоят из нулей, а минор размерности 2×2 , стоящий в нижнем углу матрицы \mathbf{B} отличен от нуля. Следовательно, задача (1.9), (1.10), (1.4) является характеристической задачей Коши стандартного вида [4]. Поэтому для нее справедлив аналог теоремы Ковалевской [4]. Таким образом, теорема доказана. Решение задачи (1.2)–(1.4) разложим в ряд по степеням $t - t_0$

$$\mathbf{F} = \sum_{n=0}^{\infty} \mathbf{F}_n(x) \frac{(t - t_0)^n}{n!}, \quad \mathbf{F} = \{H, u\}. (1.11)$$

В системе (1.2) положим $t = t_0$ и, учитывая (1.3), будем иметь

$$H_1 = -H_{0x}u_0 - H_0u_{0x}, (1.12)$$

$$u_{1xx} + \frac{3H_{0x}}{H_0}u_{1x} - \frac{3}{H_0^2} \left(1 + h_x^2 - h_x H_{0x} - \right. \\ \left. - \frac{1}{2} h_{xx} H_0 \right) u_1 = G_1(x).$$

Здесь

$$G_1 = -u_0 u_{0xxx} - \frac{3}{2H_0} (3h_{xx} u_0 u_{0x} + h_{xxx} u_0^2) + \\ + u_{0x} u_{0xx} - \frac{3H_{0x}}{H_0} u_0 u_{0xx} + \frac{3}{H_0^2} (h_x - H_{0x}) \times \\ \times (u_0 u_{0x} h_x + h_{xx} u_0^2 - H_0 u_{0x}^2 - g) + \frac{3}{H_0^2} u_0 u_{0x}.$$

Продифференцируем систему (1.2) по t , положим $t = t_0$ и с учетом (1.3), получим

$$H_2 = -H_{1x}u_0 - H_{0x}u_1 - H_1u_{0x} - H_0u_{1x},$$

$$u_{2xx} + \frac{3H_{0x}}{H_0}u_{2x} - \frac{3}{H_0^2}(1 + h_x^2 - h_xH_{0x} - \frac{1}{2}h_{xx}H_0)u_2 = G_2(x).$$

Здесь

$$\begin{aligned} G_2(x) = & -u_0u_{1xxx} + (u_{0x} - \frac{3H_{0x}}{H_0}u_0)u_{1xx} - \\ & -u_1u_{0xxx} + u_{1x}u_{0xx} - \frac{3H_{0x}}{H_0}u_1u_{0xx} - \\ & -\frac{3H_{1x}}{H_0}u_0u_{0xx} + \frac{3H_{0x}}{H_0^2}H_1u_0u_{0xx} + \\ & + \frac{3}{2H_0^2}H_1(3h_{xx}u_0u_{0x} + h_{xxx}u_0^2) - \\ & -\frac{3}{2H_0}(3h_{xx}u_1u_{0x} + 3h_{xx}u_0u_{1x} + \\ & + 2h_{xxx}u_0u_1) - \frac{6}{H_0^3}H_1(h_x - H_{0x}) \times \\ & \times (u_0u_{0x}h_x + h_{xx}u_0^2 - H_0u_{0x}^2 - g) - \\ & -\frac{6}{H_0^3}H_1u_0u_{0x} + \frac{3}{H_0^2}(u_1u_{0x} + u_0u_{1x}) - \\ & -\frac{3}{H_0^2}H_{1x}(u_0u_{0x}h_x + h_{xx}u_0^2 - \\ & -H_0u_{0x}^2 - g) + \frac{3}{H_0^2}(h_x - H_{0x}) \times \\ & \times (h_xu_1u_{0x} + h_{xx}u_0u_{1x} + \\ & + 2h_{xx}u_0u_1 - H_1u_{0x}^2 - 2H_0u_{0x}u_{1x}). \end{aligned}$$

Чтобы получить остальные коэффициенты ряда (1.4), продифференцируем систему (1.2) по t $n-1$ раз, положим $t = t_0$ и с учетом (1.3) имеем

$$\begin{aligned} H_n = & -\sum_{k=0}^{n-1} C_n^k (H_{kx}u_{n-k-1} + \\ & + H_ku_{(n-k-1)x}), \end{aligned} \quad (1.13)$$

$$u_{nxx} + \frac{3H_{0x}}{H_0}u_{nx} - \frac{3}{H_0^2}(1 + h_x^2 - h_xH_{0x} - \frac{1}{2}h_{xx}H_0)u_n = G_n(x).$$

Здесь $G_n(x)$ — функция, известным образом зависящая от $F_k(x)$, $0 \leq k < n$.

Раскладывая в ряд по степеням $t - t_0$ функции $u^0(t)$, $u^1(t)$, получим начальные условия для систем (1.12), (1.13).

Замечание

Все коэффициенты ряда (1.11) $u_n(x)$ являются решениями линейных неоднородных уравнений. Причем левые части этих уравнений у всех коэффициентов одинаковые и не зависят от $u_k(x)$. Однородное уравнение для всех коэффициентов ряда (1.5) имеет вид

$$U_{nxx} + \frac{3H_{0x}}{H_0}U_{nx} - \frac{3}{H_0^2} \times \left(1 + h_x^2 - h_xH_{0x} - \frac{1}{2}h_{xx}H_0\right)U_n = 0.$$

2. Построение точных решений начально-краевой задачи с различными граничными условиями

Рассмотрим несколько частных случаев решения задачи (1.2)–(1.4).

Предположим, что дно горизонтально $-h(x) = H_{00}$. Пусть $H_0(x) = H_{00}$, то есть поверхность воды повторяет форму дна (рис. 2).

В этом случае система уравнений (1.2) имеет вид

$$H_t + H_xu + Hu_x = 0, \quad (2.1)$$

$$\begin{aligned} u_{txx} + \frac{3H_x}{H}u_{tx} - \frac{3}{H^2}u_t = \\ = -uu_{xxx} + \left(u_x - \frac{3H_x}{H}u\right)u_{xx} + \\ + \frac{3}{H^2}uu_x + \frac{3H_x}{H^2}(Hu_x^2 + g). \end{aligned}$$

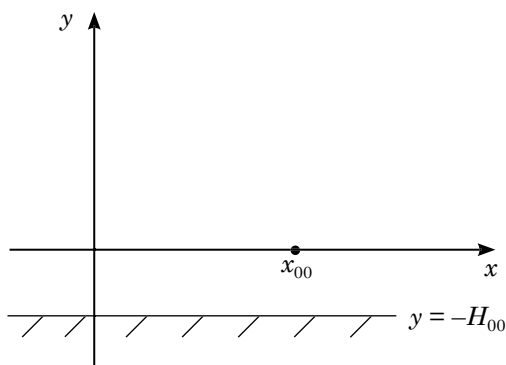


Рис. 2

Предположим, что в начальный момент времени жидкость покоилась

$$u(t_0, x) = u_0(x) = 0, \quad (2.2)$$

$$H(t_0, x) = H_0(x) = H_{00}.$$

Однородное уравнение для всех u_n будет иметь вид

$$U_{nxx} - \frac{3}{H_{00}^2} U_n = 0.$$

Интегрируя его, получим

$$U_n = C_{1n} e^{\frac{\sqrt{3}}{H_{00}} x} + C_{2n} e^{-\frac{\sqrt{3}}{H_{00}} x}.$$

Если ввести обозначения $m = \frac{\sqrt{3}}{H_{00}}$, будем иметь

$$U_n = C_{1n} e^{mx} + C_{2n} e^{-mx}.$$

Для коэффициентов ряда (1.11) получим следующие уравнения:

$$H_n = -\sum_{k=0}^{n-1} C_n^k (H_{kx} u_{n-k-1} + H_k u_{(n-k-1)x}),$$

$$u_{nxx} - m^2 u_n = G_n(x). \quad (2.3)$$

Интегрируя второе уравнение системы (2.3), будем иметь

$$u_n = \frac{1}{2m} \left(e^{mx} (C_{1n} + \int_{x_{00}}^x G_n(x) e^{-mx} dx) - e^{-mx} (C_{2n} + \int_{x_{00}}^x G_n(x) e^{mx} dx) \right).$$

При нулевых граничных условиях имеем тривиальное решение задачи (2.1)–(2.2):

$$H = H_{00}, u = 0.$$

Далее для задачи (2.1)–(2.2) рассмотрим три вида граничных условий.

2.1. Построим решение задачи (2.1)–(2.2) с граничными условиями:

$$u(t, x_{00}) = 0, \quad (2.4)$$

$$u_x(t, x_{00}) = t - t_0.$$

С помощью условий (2.2) вычислим правые части дифференциальных уравнений (2.3):

$$G_1(x) = 0, G_2(x) = 0,$$

$$G_3(x) = -u_1 u_{1xxx} + 2u_{1x} u_{1xx} + \frac{3g}{H_{00}^2} H_{2x}.$$

Тогда для первых коэффициентов ряда (1.11) имеем

$$H_1 = 0, H_2 = -H_{00} u_{1x}, u_1 = U_1, u_2 = U_2.$$

С помощью условий (2.4) определим начальные условия для дифференциальных уравнений (2.3):

$$u_1(x_{00}) = 0, u_{1x}(x_{00}) = 1,$$

$$u_n(x_{00}) = u_{nx}(x_{00}) = 0, n > 1.$$

Определим C_{11}, C_{21} :

$$C_{11}e^{mx_{00}} + C_{21}e^{-mx_{00}} = 0,$$

$$C_{11}e^{mx_{00}} - C_{21}e^{-mx_{00}} = \frac{1}{m}.$$

В результате имеем

$$C_{11} = \frac{1}{2m}e^{-mx_{00}}, C_{21} = -\frac{1}{2m}e^{mx_{00}},$$

$$u_1 = \frac{1}{2m}(e^{m(x-x_{00})} - e^{-m(x-x_{00})}),$$

$$H_2 = -\frac{H_{00}}{2}(e^{m(x-x_{00})} + e^{-m(x-x_{00})}).$$

Вычисляя вторые коэффициенты ряда (1.11), имеем задачу Коши:

$$u_{2xx} - m^2u_2 = 0,$$

$$u_2(x_{00}) = 0, u_{2x}(x_{00}) = 0.$$

Решая ее, получим

$$u_2 = 0, H_3 = 0.$$

Вычисляя третьи коэффициенты ряда (1.11), имеем задачу Коши:

$$u_{3xx} - m^2u_3 = -u_1u_{1xx} + \\ + 2u_{1x}u_{1xx} + \frac{3g}{H_{00}^2}H_{2x},$$

$$u_3(x_{00}) = 0, u_{3x}(x_{00}) = 0.$$

Вводя новую независимую переменную $y = x - x_{00}$ и подставляя найденные коэффициенты u_1, H_2 , имеем

$$u_{3yy} - m^2u_3 = \frac{m}{4}(e^{2my} - e^{-2my}) - \\ - \frac{3m}{2H_{00}}g(e^{my} - e^{-my}),$$

$$u_3(0) = 0, u_{3x}(0) = 0.$$

Интегрируя уравнение и делая обратную замену, получим

$$u_3 = \frac{1}{2m} \left[\frac{1}{6}(e^{2m(x-x_{00})} - e^{-2m(x-x_{00})}) - \right. \\ \left. - \frac{3mg}{2H_{00}}(x-x_{00})(e^{m(x-x_{00})} + e^{-m(x-x_{00})}) + \right. \\ \left. + \left(\frac{3g}{2H_{00}} - \frac{1}{3} \right)(e^{m(x-x_{00})} - e^{-m(x-x_{00})}) \right].$$

Аналогично получают n -е коэффициенты ряда (1.11):

$$u_n = \frac{1}{2m} \left(e^{mx} \int_{x_{00}}^x G_n(x) e^{-mx} dx - \right. \\ \left. - e^{-mx} \int_{x_{00}}^x G_n(x) e^{mx} dx \right). \quad (2.5)$$

2.2. Построим решение задачи (2.1)–(2.2) с граничными условиями:

$$u(t, x_{00}) = t - t_0, \quad (2.6)$$

$$u_x(t, x_{00}) = 0.$$

С помощью условий (2.5) определим начальные условия для дифференциальных уравнений (2.3):

$$u_1(x_{00}) = 1, u_{1x}(x_{00}) = 0,$$

$$u_n(x_{00}) = u_{nx}(x_{00}) = 0, n > 1.$$

В этом случае для определения C_{11}, C_{21} получим систему

$$C_{11}e^{mx_{00}} + C_{21}e^{-mx_{00}} = \frac{1}{m},$$

$$C_{11}e^{mx_{00}} - C_{21}e^{-mx_{00}} = 0.$$

Решая ее, находим

$$C_{11} = \frac{1}{2m} e^{mx_{00}}, \quad C_{12} = \frac{1}{2m} e^{-mx_{00}}.$$

В результате имеем первые коэффициенты ряда (1.11)

$$H_1 = 0, \quad u_1 = \frac{1}{2m} (e^{m(x-x_{00})} + e^{-m(x-x_{00})}).$$

Для вторых и третьих коэффициентов ряда (1.11) получаются следующие формулы:

$$H_2 = -\frac{H_{00}}{2} (e^{m(x-x_{00})} - e^{-m(x-x_{00})}),$$

$$u_2 = 0, \quad H_3 = 0,$$

$$u_3 = \frac{1}{2m} \left[\frac{1}{6} (e^{2m(x-x_{00})} - e^{-2m(x-x_{00})}) - \frac{3mg}{2H_{00}} (x-x_{00}) (e^{m(x-x_{00})} - e^{-m(x-x_{00})}) - \frac{1}{3} (e^{m(x-x_{00})} - e^{-m(x-x_{00})}) \right],$$

а n -е коэффициенты ряда (1.11) находятся из (2.5).

2.3. Построим решение задачи (1.8)–(1.9) с граничными условиями:

$$u(t, x_{00}) = 0, \quad (2.7)$$

$$u_x(t, x_{00}) = \sin(t - t_0).$$

В этом случае первые и вторые коэффициенты ряда (1.11) совпадают с соответствующими коэффициентами ряда из пункта 1.1.

Для n -х коэффициентов ряда (1.5) получаются следующие формулы:

$$u_n = \frac{1}{2m} \left(e^{mx} \left(C_{1n} + \int_{x_{00}}^x G_n(x) e^{-mx} dx \right) - e^{-mx} \left(C_{2n} + \int_{x_{00}}^x G_n(x) e^{-mx} dx \right) \right),$$

$$\text{где } C_{1n} = C_{2n} = \begin{cases} 0, & \text{если } n = 2k, \\ (-1)^k, & \text{если } n = 2k + 1, \end{cases}$$

Анализ структуры коэффициентов ряда (1.11) показал, что во всех трех случаях 1.1, 1.2, 1.3 справедлива следующая

Лемма

Коэффициенты ряда (1.11) имеют вид $P_n(x, e^{mx}, e^{-mx})$, где P_n являются многочленами от указанных аргументов, степени которых не превышают An , $A = \text{const}$.

Доказательство леммы аналогично соответствующему доказательству из [7] и проводится индукцией по n . Сначала доказывается, что $G_n(x)$ обладают нужной структурой, а затем непосредственным интегрированием выясняется, что $F_n(x)$ обладают указанной структурой.

Заключение

1. В работе доказана теорема существования и единственности решения невырожденной начально-краевой задачи, которая для системы Грина – Нагди является аналогом задачи Коши.
2. Построены точные решения начально-краевой задачи с различными граничными условиями, которые могут быть использованы для тестирования численных методов при моделировании длинных волн. ■

Литература

1. Овсянников Л. В. Лекции по основам газовой динамики. М.; Ижевск: Ин-т компьютерных исследований, 2003. 336 с. ISBN 5-93972-201-6.
2. Хакимзянов Г. С., Шокин Ю. И., Барахнин В. Б., Шокина Н. Ю. Численное моделирование течений жидкости с поверхностными волнами. Новосибирск: Изд-во СО РАН, 2001. 411 с.
3. Ковеня В. М., Яненко Н. Н. Метод расщепления в задачах газовой динамики. Новосибирск. Наука, 1983. 319 с.
4. Баутин С. П. Характеристическая задача Коши. Новосибирск. Наука, 2009. 368 с. ISBN 978-5-02-023309-6.
5. Баутин С. П., Дерябин С. Л., Соммер А. Ф., Хакимзянов Г. С. Исследование решений уравнений мелкой воды в окрестности подвижной линии уреза // Вычислительные технологии, 2010, Т. 15, № 6. С. 19–41. ISSN 1560–7534.
6. Федотова З. И., Хакимзянов Г. С. Нелинейно-дисперсионные уравнения мелкой воды на нестационарном дне // Вычислительные технологии, 2008, Т. 13, № 4. С. 114–126. ISSN 1560–7534.
7. Баутин С. П., Дерябин С. Л. Математическое моделирование истечения идеального газа в вакуум. Новосибирск. Наука, 2005. 390 с. ISBN 5-02-032505-8.
8. Курант Р. Уравнения с частными производными. М.: Мир, 1964. 830 с.

References:

1. Ovsyannikov L. V. Leksii po osnovam gazovoj dinamiki [Lectures on the fundamentals of gas dynamics]. M.; Izhevsk: In-t kompjutornykh issledovanij, 2003. 336 s. ISBN 5-93972-201-6.
2. Khakimzyanov G. S., Shokin Yu. I., Barakhnin V. B., Shokina N. Yu. Chislennoe modelirovanie techenij zhidkosti s poverkhnostnymi volnami [Numerical simulation of fluid flow with surface waves]. Novosibirsk: Izd-vo SO RAN, 2001. 411 s.
3. Kovenya V. M., Yanenko N. N. Metod rashchepleniya v zadachakh gazovoj dinamiki [Splitting method in gas dynamics]. Novosibirsk. Nauka, 1983. 319 s.
4. Bautin S. P. Kharakteristicheskaya zadacha Koshi. Novosibirsk [Characteristic Cauchy problem]. Nauka, 2009. 368 s. ISBN 978-5-02-023309-6.
5. Bautin S. P., Deryabin S. L., Sommer A. F., Khakimzyanov G. S. Issledovanie reshenij uravnenij melkoj vody v okrestnosti podvizhnoj linii ureza [Research of equation solution of shallow water near shore line] // Vychislitelnye tekhnologii, 2010, T. 15, № 6. S. 19–41. ISSN 1560–7534.
6. Fedotova Z. I., Khakimzyanov G. S. Nelinejno-dispersionnye uravneniya melkoj vody na nestatsionarnom dne [Nonlinear-dispersion equation of shallow water at non-stationary bottom] / Vychislitelnye tekhnologii, 2008, T. 13, № 4. S. 114–126. ISSN 1560–7534.
7. Bautin S. P., Deryabin S. L. Matematicheskoe modelirovanie istecheniya idealnogo gaza v vakuum. Novosibirsk [Mathematical simulation of ideal gas flow into vacuum]. Nauka, 2005. 390 s. ISBN 5-02-032505-8.
8. Kurant R. Uravneniya s chastnymi proizvodnymi [Equations with partial derivatives]. M.: Mir, 1964. 830 c.

Статья сдана в редакцию 11 января 2012 года

УДК 517.95+533.6

И. Ю. Крутова

Задача о движении газа в условиях действия сил тяжести и Кориолиса в окрестности непроницаемой горизонтальной плоскости

UDC 519.63+533.6

I.Yu. Krutova

Gas flow problem in the circumstances of gravity and Coriolis force effect in surroundings of impermeable horizontal flatness

Аннотация

Математически моделируются течения идеального политропного газа в условиях действия сил тяжести и Кориолиса. Для системы уравнений гиперболического типа поставлена начально-краевая задача, решение которой описывает течение, возникающее при заданном плавном притоке газа на цилиндре заданного ненулевого радиуса в окрестности непроницаемой плоскости $z = 0$. Доказано, что данная задача является характеристической задачей Коши стандартного вида, и поэтому при условии аналитичности входных данных у нее существует единственное аналитическое решение. Начальный отрезок ряда, задающий это аналитическое решение, используется для моделирования придонного течения таких природных вихрей, как тропические циклоны. Коэффициенты начального отрезка ряда численно строятся при решении соответствующих систем обыкновенных дифференциальных уравнений. В виде графиков представлены распределения газодинамических параметров исследуемых течений. Данная работа продолжает исследования, представленные в [1].

Ключевые слова:

система уравнений газовой динамики, сила Кориолиса и сила тяжести, закрутка газа, тропический циклон.

Abstract

The flows of ideal polytropic gas are mathematically modeled in the circumstances of gravity and Coriolis force effect. For the system of hyperbolic-type equations initial-boundary problem was set. Its solution describes the flow, which occurs when smooth gas flowing on the cylinder of defined non-zero radius in the surroundings of impermeable flatness $z = 0$. It is proved that such problem is a characteristic Cauchy problem of a standard type that is why by analyticity condition of output information it has the only one analytical solution. Initial series segment, which gives this analytical solution, is used for modeling bottom current of such natural whirlwinds as tropical cyclones. The coefficients of initial series segment are numerically formed when solving the applicable systems of differential equations. The allocations of investigated currents' fluid dynamics parameters are presented in the form of graphs. This work continues the research presented in [1].

Key words:

system of gas dynamics equations, Coriolis force and gravity, gas swirl, tropical cyclone.

Ирина Юрьевна Крутова — аспирант; кафедра «Высшая и прикладная математика» Уральского государственного университета путей сообщения, Екатеринбург, Россия. E-mail: Irma-Levv@mail.ru.

Irina Yu. Krutova — Ph.D. student; «Higher mathematics» chair of the Ural State University of Railway Transport, Ekaterinburg, Russia. E-mail: IKrutova@math.usurt.ru.

Постановка начально-краевой задачи.

Система уравнений газовой динамики (СУГД) для изэнтропических нестационарных обших пространственных течений политропного газа в условиях действия сил тяжести и Кориолиса имеет следующий вид [2, 3]:

$$\left\{ \begin{aligned} & c_t + uc_r + \frac{v}{r} c_\phi + wc_z + \\ & + \frac{(\gamma-1)}{2} c \left(u_r + \frac{u}{r} + \frac{v_\phi}{r} + w_z \right) = 0, \\ & u_t + uu_r + \frac{v}{r} u_\phi - \frac{v^2}{r} + \\ & + wu_z \frac{2}{(\gamma-1)} cc_r = av + bw \cos \phi, \\ & v_t + uv_r + \frac{uv}{r} + \frac{v}{r} v_\phi + wv_z + \\ & + \frac{2}{(\gamma-1)} \frac{c}{r} c_\phi = -au + bw \sin \phi, \\ & w_t + uw_r + \frac{v}{r} w_\phi + ww_z + \\ & + \frac{2}{(\gamma-1)} cc_z = bu \cos \phi - bv \sin \phi - g. \end{aligned} \right. \quad (1)$$

В системе (1): t — время; x, y, z — декартовы независимые переменные, и в плоскости переменных x, y введена полярная система координат (r, ϕ) ; $c = \rho^{(\gamma-1)/2}$ — скорость звука газа; $\gamma = \text{const} > 1$ — показатель политропы газа в уравнении состояния $p = \rho^\gamma/\gamma$, где p и ρ — давление и плотность газа; u, v, w — соответственно радиальная, окружная и вертикальная составляющие вектора скорости газа; $a = \Omega \sin \Psi$; $b = \Omega \cos \Psi$; $\Omega = |\mathbf{\Omega}|$ — модуль угловой скорости вращения Земли; Ψ — широта точки O на поверхности Земли, в которой находится начало системы координат x, y, z . Если точка O — начало прямоугольной системы координат лежит в Северном полушарии, то $0 < \Psi \leq \pi/2$, если в Южном, то $\pi/2 \leq \Psi < \pi$; на экваторе $\Psi = 0$; $g = \text{const} > 0$ — постоянное ускорение свободного падения.

В данной работе, как и в [2, 3], в системе (1) не учитывается центро-

бежное ускорение: $-\mathbf{\Omega} \times (\mathbf{\Omega}(\mathbf{R} + \mathbf{r}))$, где \mathbf{R} — вектор, соединяющий центр Земли и точку O ; \mathbf{r} — радиус-вектор текущей точки в системе координат x, y, z .

Для системы (1) на плоскости $z = 0$ ставятся следующие начальные данные:

$$\left\{ \begin{aligned} & c(t, r, \phi, z) |_{z=0} = c_0(t, r, \phi), \\ & u(t, r, \phi, z) |_{z=0} = u_0(t, r, \phi), \\ & v(t, r, \phi, z) |_{z=0} = v_0(t, r, \phi), \\ & w(t, r, \phi, z) |_{z=0} = 0. \end{aligned} \right. \quad (2)$$

Последнее из начальных условий (2) обеспечивает условие непротекания газа через плоскость $z = 0$.

Решения рассматриваемой задачи (1), (2) будем строить в виде бесконечного ряда:

$$\begin{aligned} U(t, r, \phi, z) &= \sum_{k=0}^{\infty} U_k(t, r, \phi) \frac{z^k}{k!}; \\ U_k(t, r, \phi) &= \frac{\partial^k U(t, r, \phi, z)}{\partial z^k} \Big|_{z=0}, \end{aligned} \quad (3)$$

где вектор U имеет в качестве координат искомые функции c, u, v, w .

Если в системе (1) положить $z = 0$, и учесть начальные условия (2), то получаются такие четыре соотношения:

$$\left\{ \begin{aligned} & c_{0t} + u_0 c_{0r} + \frac{v_0}{r} c_{0\phi} + \\ & + \frac{(\gamma-1)}{2} c_0 \left(u_{0r} + \frac{u_0}{r} + \frac{v_{0\phi}}{r} + w_1 \right) = 0, \\ & u_{0t} + u_0 u_{0r} + \frac{v_0}{r} u_{0\phi} - \\ & - \frac{v_0^2}{r} + \frac{2}{(\gamma-1)} c_0 c_{0r} = av_0, \\ & v_{0t} + u_0 u_{0r} + \frac{u_0 v_0}{r} + \frac{v_0}{r} v_{0\phi} + \\ & + \frac{2}{(\gamma-1)} \frac{c_0}{r} c_{0\phi} = -au_0, \\ & \frac{2}{(\gamma-1)} c_0 c_1 = bu_0 \cos \phi - bv_0 \sin \phi - g. \end{aligned} \right.$$

Из первого и четвертого уравнений определяются коэффициенты w_1 и c_1 ряда (3):

$$w_1 = -\frac{2}{(\gamma-1)c_0} \left[c_{0t} + u_0 c_{0r} + \frac{v_0}{r} c_{0\varphi} + \right. \\ \left. + \frac{(\gamma-1)}{2} c_0 \left(u_{0r} + \frac{u_0}{r} + \frac{u_{0\varphi}}{r} \right) \right], \\ c_1 = \frac{(\gamma-1)}{2c_0} [b u_0 \cos \varphi - b v_0 \sin \varphi - g]. \quad (4)$$

А второе и третье из полученных соотношений

$$\begin{cases} u_{0t} + u_0 u_{0r} + \frac{v_0}{r} u_{0\varphi} - \\ - \frac{2}{(\gamma-1)} c_0 c_{0r} = a v_0, \\ v_{0t} + u_0 v_{0r} + \frac{u_0 v_0}{r} + \frac{v_0}{r} v_{0\varphi} + \\ + \frac{2}{(\gamma-1)} \frac{c_0}{r} c_{0\varphi} = -a u_0 \end{cases} \quad (5)$$

являются двумя ограничениями на три функции c_0 , u_0 , v_0 , входящие в начальные условия (2), то есть являются необходимыми условиями разрешимости рассматриваемой характеристической задачи Коши (ХЗК) (1), (2) [4, 5].

Если предполагать существование решения у задачи (1), (2), то эти два выписанных соотношения (5) должны выполняться. То есть c_0 , u_0 , v_0 не могут быть произвольными, а должны удовлетворять этим двум выписанным соотношениям (5).

Возникновение условий (5) связано с тем, что задача (1), (2) является ХЗК и плоскость $z = 0$ в этой задаче есть характеристика кратности два [4, 5].

Теорема о существовании и единственности аналитического решения у ХЗК стандартного вида для системы уравнений газовой динамики с начальными данными на контактной поверхности (то есть поверхности,

через которую газ не течет, в данном случае $z = 0$) приведена в [5].

Поскольку в данной работе будут рассматриваться течения с условиями заданного притока на цилиндре ненулевого радиуса, то переформулировка теоремы из [5] для данного случая следующая:

Теорема. Задача (1), (2) есть ХЗК стандартного вида с данными на характеристике кратности два, имеющая в случае аналитичности всех входных данных единственное аналитическое решение при выполнении необходимых условий разрешимости ХЗК (5) и задании двух дополнительных условий вида

$$\begin{cases} u(t, r, \varphi, z) |_{r=r_{in}} = u^0(t, \varphi, z) < 0, \\ v(t, r, \varphi, z) |_{r=r_{in}} = v^0(t, \varphi, z); \\ r_{in} = \text{const} > 0 \end{cases} \quad (6)$$

с аналитическими функциями $u^0(t, \varphi, z)$, $v^0(t, \varphi, z)$, согласованными с условиями (2) при $z = 0$, $r = r_{in}$:

$$\begin{cases} u_0(t, r, \varphi) |_{r=r_{in}} = u^0(t, \varphi, z) |_{z=0}, \\ v_0(t, r, \varphi) |_{r=r_{in}} = v^0(t, \varphi, z) |_{z=0}. \end{cases} \quad (7)$$

Приравняв коэффициент w_1 к нулю, то есть положим равным нулю выражение в квадратных скобках из правой части первого соотношения (4)

$$\left[c_{0t} + u_0 c_{0r} + \frac{v_0}{r} c_{0\varphi} + \right. \\ \left. + \frac{(\gamma-1)}{2} c_0 \left(u_{0r} + \frac{u_0}{r} + \frac{v_{0\varphi}}{r} \right) \right] = 0.$$

Полученное соотношение является дифференциальной формой закона сохранения массы у плоского течения с параметрами c_0 , u_0 , v_0 . Оно добавляется к соотношениям (5), и в результате получается такая система из трех уравнений:

$$\left\{ \begin{aligned} & c_{0t} + u_0 c_{0r} + \frac{v_0}{r} c_{0\varphi} + \\ & + \frac{(\gamma - 1)}{2} c_0 \left(u_{0r} + \frac{u_0}{r} + \frac{v_{0\varphi}}{r} \right) = 0, \\ & u_{0t} + u_0 u_{0r} + \frac{v_0}{r} u_{0\varphi} - \\ & - \frac{v_0^2}{r} + \frac{2}{(\gamma - 1)} c_0 c_{0r} = a v_0, \\ & v_{0t} + u_0 v_{0r} + \frac{u_0 v_0}{r} + \frac{v_0}{r} v_{0\varphi} + \\ & + \frac{2}{(\gamma - 1)} \frac{c_0}{r} c_{0\varphi} = -a u_0 \end{aligned} \right. \quad (8)$$

для трех функций c_0 , u_0 , v_0 .

Решения полученной системы уравнений (8) описывают плоские течения, являющиеся одновременно начальными слагаемыми ряда (3), задающего общие течения в окрестности непроницаемой плоскости $z = 0$.

Замечание. Система (8) уже была приведена в [3], однако без достаточного математического обоснования.

Построение первых коэффициентов ряда (3)

Далее строятся стационарные решения задачи (1), (2), (6), (7), и поэтому в системах (1), (5), (8) и далее полагаем:

$$c_0 = c_0(r); u_0 = u_0(r); v_0 = v_0(r),$$

то есть в системе (8): $\partial/\partial t = \partial/\partial \varphi = 0$. Тогда система (8) переходит в следующую систему обыкновенных дифференциальных уравнений (СОДУ):

$$\left\{ \begin{aligned} & u_0(r) c_0'(r) + \frac{(\gamma - 1)}{2} \times \\ & \times c_0(r) \left[u_0'(r) + \frac{u_0(r)}{r} \right] = 0, \\ & u_0(r) u_0'(r) - \frac{v_0^2(r)}{r} + \\ & + \frac{2}{(\gamma - 1)} c_0(r) c_0'(r) = a v_0(r), \\ & u_0(r) v_0'(r) + \frac{u_0(r) v_0(r)}{r} = -a v_0(r). \end{aligned} \right. \quad (9)$$

Для СОДУ (9) ставятся следующие начальные условия:

$$\begin{aligned} c_0(r) \big|_{r=r_{in}} &= 1; u_0(r) \big|_{r=r_{in}} = \\ &= u_{in} = \text{const} < 0; v_0(r) \big|_{r=r_{in}} = 0. \end{aligned} \quad (10)$$

Константы $u_0(r_{in})$, $v_0(r_{in})$ из этих условий определяют значения функций $u^0(t, \varphi, z)$, $v^0(t, \varphi, z)$ из (7) при $z = 0$.

В СОДУ (9) функция $v_0(r)$ определяется явно и с учетом нулевого для нее условия при $r = r_{in}$ записывается в виде [3]

$$v_0(r) = \frac{a(r_{in}^2 - r^2)}{2r}. \quad (11)$$

Тогда для функций $c_0(r)$, $u_0(r)$ вместо СОДУ (9) получается следующая СОДУ из двух уравнений, записанная в нормальной форме:

$$\left\{ \begin{aligned} & c_0' = -\frac{(\gamma - 1)}{2} c_0 \frac{\left[u_0^2 + \frac{a^2(r_{in}^4 - r^4)}{4r^2} \right]}{r(u_0^2 - c_0^2)}, \\ & u_0' = u_0 \frac{\left[c_0^2 + \frac{a^2(r^4 - r_{in}^4)}{4r^2} \right]}{r(u_0^2 - c_0^2)}. \end{aligned} \right. \quad (12)$$

Начальные условия для СОДУ (12) задаются первыми двумя соотношениями из (10).

Подробное построение функций $c_0(r)$, $u_0(r)$ приведено в [3, 6, 7].

После решения задачи (12), (10) коэффициенты U_0 и w_1 , c_1 определяются единственным образом из формул (4), (11) и при решении задачи Коши (12), в том числе:

$$w_1 = 0;$$

$$\begin{aligned} c_1 &= c_1(r, \varphi) \equiv c_{10}(r) + \\ &+ c_{11}(r) \cos \varphi + c_{12}(r) \sin \varphi, \end{aligned} \quad (13)$$

$$\begin{aligned} \text{где} \quad c_{10} &= -g \frac{(\gamma - 1)}{2} \frac{1}{c_0(r)}; \\ c_{11} &= b \frac{(\gamma - 1)}{2} \frac{u_0(r)}{c_0(r)}; \end{aligned}$$

$$c_{12} = -b \frac{(\gamma - 1)}{2} \frac{v_0(r)}{c_0(r)}.$$

Чтобы получить уравнения для коэффициентов c_2 , u_1 , v_1 , w_2 , необходимо систему (1) продифференцировать по z , положить $z = 0$ и учесть как начальные условия (2), так и то, что значения U_0 и c_1 , $w_1 = 0$ считаются заданными. В результате получаются соотношения:

$$\begin{aligned} & u_0 c_{1r} + u_0 c_{0r} + \frac{v_0}{r} c_{1\varphi} + \\ & + \frac{(\gamma - 1)}{2} c_1 \left(u_{0r} + \frac{u_0}{r} \right) + \\ & + \frac{(\gamma - 1)}{2} c_0 \left(u_{1r} + \frac{u_1}{r} + \frac{v_{1\varphi}}{r} + w_2 \right) = 0, \end{aligned}$$

$$\begin{aligned} & u_1 u_{0r} + u_0 u_{1r} + \frac{v_0}{r} u_{1\varphi} - \frac{2v_0 v_1}{r} + \\ & + \frac{2}{(\gamma - 1)} c_1 c_{0r} + \frac{2}{(\gamma - 1)} c_1 c_{0r} = \alpha v_1, \quad (14) \end{aligned}$$

$$\begin{aligned} & u_1 v_{0r} + u_0 v_{1r} + \frac{u_1 v_0}{r} + \frac{u_0 v_1}{r} + \\ & + \frac{v_0}{r} v_{1\varphi} + \frac{2}{(\gamma - 1)} \frac{c_0}{r} c_{1\varphi} = -\alpha u_1, \end{aligned}$$

$$\begin{aligned} & \frac{2}{(\gamma - 1)} c_1^2 + \frac{2}{(\gamma - 1)} c_0 c_2 = \\ & = b u_1 \cos \varphi - b v_1 \sin \varphi. \end{aligned}$$

Из первого и четвертого полученных уравнений коэффициенты w_2 и c_2 определяются в явном виде через u_1 , v_1 :

$$\begin{aligned} w_2 = & -\frac{2}{(\gamma - 1)} \frac{1}{c_0} \left\{ u_0 c_{1r} + u_1 c_0'(r) + \right. \\ & + \frac{v_0(r)}{r} c_{1\varphi} + \frac{(\gamma - 1)}{2} c_1 \left[u_0'(r) + \frac{u_0(r)}{r} \right] + \\ & \left. + \frac{(\gamma - 1)}{2} c_0(r) \left(w_1 + \frac{u_1}{r} + \frac{v_{1\varphi}}{r} \right) \right\}, \end{aligned}$$

$$\begin{aligned} c_2 = & \frac{(\gamma - 1)}{2} \frac{1}{c_0} \left[b u_1 \cos \varphi - b v_1 \times \right. \\ & \left. \times \sin \varphi - \frac{2}{(\gamma - 1)} c_1^2 \right]. \quad (15) \end{aligned}$$

Второе и третье уравнения являются для коэффициентов u_1 , v_1 линейной системой уравнений с частными производными. В случае стационарных течений ($\partial/\partial t = 0$) вид этих уравнений, а также вид коэффициента c_1 позволяет разделить переменные и находить коэффициенты u_1 , v_1 в следующей форме:

$$\begin{aligned} u_1 = & u_{10}(r) + u_{11}(r) \cos \varphi + u_{12}(r) \sin \varphi, \\ v_1 = & v_{10}(r) + v_{11}(r) \cos \varphi + v_{12}(r) \sin \varphi. \quad (16) \end{aligned}$$

После подстановки соотношений (16) в систему (14) уравнений для u_1 , v_1 и соответствующей группировки слагаемых можно приравнять нулю коэффициенты при $\cos \varphi$, при $\sin \varphi$, и слагаемые, не зависящие от φ .

В результате имеем СОДУ из шести уравнений для шести искомых функций: $u_{10}(r)$, $u_{11}(r)$, $u_{12}(r)$, $v_{10}(r)$, $v_{11}(r)$, $v_{12}(r)$. У этой СОДУ есть частное решение:

$$u_{10}(r) = v_{10}(r) = 0,$$

то есть при этих нулевых функциях два из шести уравнений обращаются в тождества. Тогда для оставшихся четырех коэффициентов $u_{11}(r)$, $u_{12}(r)$, $v_{11}(r)$, $v_{12}(r)$, получается следующая СОДУ из четырех уравнений:

$$\begin{aligned} u_{11}' = & -\frac{\left[c_0^2 + \frac{a^2(r_{in}^4 - r^4)}{4r^2} \right]}{r(u_0^2 - c_0^2)} u_{11} - \\ & - \frac{a(r_{in}^2 - r^2)}{2r^2 u_0} u_{12} + \frac{a r_{in}^2}{r u_0} v_{11} - \\ & - b \frac{\left[c_0^2 + \frac{a^2(r_{in}^4 - r^4)}{4r^2} \right]}{r(u_0^2 - c_0^2)}; \quad (17) \end{aligned}$$

$$u'_{12} = - \frac{\left[c_0^2 + \frac{a^2(r_{in}^4 - r^4)}{4r^2} \right]}{r(u_0^2 - c_0^2)} u_{12} + \frac{a(r_{in}^2 - r^2)}{2r^2 u_0} u_{11} + \frac{ar_{in}^2}{ru_0} v_{12} - \frac{ba(r_{in}^2 + r^2)}{2r^2 u_0}; \quad (18)$$

$$v'_{11} = -\frac{1}{r} v_{11} - \frac{a(r_{in}^2 - r^2)}{2r^2 u_0} v_{12} + \frac{ba(r_{in}^2 - r^2)}{2r^2 u_0}; \quad (19)$$

$$v'_{12} = -\frac{1}{r} v_{12} + \frac{a(r_{in}^2 - r^2)}{2r^2 u_0} v_{11} + \frac{b}{r}. \quad (20)$$

Начальные данные для этой СОДУ надо задать при $r = r_{in}$:

$$\begin{aligned} u_{11}(r)|_{r=r_{in}} &= u_{11}^0; \quad u_{12}(r)|_{r=r_{in}} = u_{12}^0; \\ v_{11}(r)|_{r=r_{in}} &= v_{11}^0; \quad v_{12}(r)|_{r=r_{in}} = v_{12}^0; \\ u_{11}^0, u_{12}^0, v_{11}^0, v_{12}^0 &= \text{const.} \end{aligned} \quad (21)$$

Это однозначно определит значения при $z = 0$ первых производных по z функций u^0, v^0 из (6) в виде

$$\begin{aligned} \frac{\partial u(r, \varphi, z)}{\partial z} \Big|_{z=0, r=r_{in}} &= u_1(r, \varphi) \Big|_{r=r_{in}} = \\ &= u_{11}^0 \cos \varphi + u_{12}^0 \sin \varphi; \end{aligned}$$

$$\begin{aligned} \frac{\partial v(r, \varphi, z)}{\partial z} \Big|_{z=0, r=r_{in}} &= v_1(r, \varphi) \Big|_{r=r_{in}} = \\ &= v_{11}^0 \cos \varphi + v_{12}^0 \sin \varphi. \end{aligned}$$

В частности, можно положить:

$$u_{11}^0 = u_{12}^0 = v_{11}^0 = v_{12}^0 = 0.$$

После решения СОДУ (17)–(20) с начальными данными (21) коэффициент w_2 приобретает следующий вид:

$$\begin{aligned} w_2(r, \varphi) &= -\frac{2}{(\gamma - 1)} \frac{1}{c_0(r)} \times \\ &\times \left\{ u_0(r) [c'_{11}(r) \cos \varphi + c'_{12}(r) \sin \varphi + c'_{10}(r)] + \right. \\ &+ c_0(r) [u_{11}(r) \cos \varphi + u_{12}(r) \sin \varphi] + \\ &+ \frac{v_0(r)}{r} [-c_{11}(r) \sin \varphi + c_{12}(r) \cos \varphi] + \\ &+ \frac{(\gamma - 1)}{2} \left[u'_0(r) + \frac{u_0(r)}{r} \right] \times \\ &\times [c_{11}(r) \cos \varphi + c_{12}(r) \sin \varphi] + \\ &+ \frac{(\gamma - 1)}{2} c_0(r) [u'_{11}(r) \cos \varphi + u'_{12}(r) \sin \varphi + \\ &+ \frac{1}{r} u_{11}(r) \cos \varphi + \frac{1}{r} u_{12}(r) \sin \varphi - \\ &\left. - \frac{1}{r} v_{11}(r) \sin \varphi + \frac{1}{r} v_{12}(r) \cos \varphi \right] \}. \end{aligned}$$

Если решения СОДУ, полученное при начальных данных (2), будут известны, то для приближенного описания течений газа в окрестности плоскости $z = 0$ будут использоваться следующие представления:

$$\begin{aligned} c(r, \varphi, z) &\approx c_0(r) + \\ &+ [c_{10}(r) + c_{11}(r) \cos \varphi + c_{12}(r) \sin \varphi] \cdot z + \\ &+ \frac{(\gamma - 1)}{2} \frac{1}{c_0(r)} [bu_1(r) \cos \varphi - \\ &- bv_1(r) \cos \varphi - \frac{2}{(\gamma - 1)} \times (c_{10}(r) + \\ &+ c_{11}(r) \cos \varphi + c_{12}(r) \sin \varphi)^2] \cdot \frac{z^2}{2}; \end{aligned}$$

$$\begin{aligned} u(r, \varphi, z) &\approx u_0(r) + \\ &+ [u_{11}(r) \cos \varphi + u_{12}(r) \sin \varphi] \cdot z; \\ v(r, \varphi, z) &\approx v_0(r) + \\ &+ [v_{11}(r) \cos \varphi + v_{12}(r) \sin \varphi] \cdot z; \end{aligned}$$

$$w(r, \varphi, z) \approx w_2(r, \varphi) \cdot \frac{z^2}{2}.$$

Естественно, что построение решений задачи Коши для приведенных выше СОДУ можно осуществить численным образом.

Результаты расчетов

По полученным формулам были произведены расчеты газодинамических параметров и траекторий движения отдельных частиц газа при следующих безразмерных значениях входных параметров: $\Omega = 0,003492$, $\sin\Psi = 0,7071$, $\gamma = 1,4$, $r_{in} = 1$, $r_o = 0,01$, $c(r_{in}) = 1$, $u(r_{in}) = -0,001$, $v(r_{in}) = 0$, что соответствует торнадо класса F3 по шкале Фудзиты, приведенной в работе [8].

На рис. 1, 2 приведены проекции отдельной траектории движения частицы газа на плоскости rOz и xOy соответственно при начальной высоте $z = 0,005$ и $r = 1$.

Проведенные расчеты показали, при высоте $z > 0,01$ (соответствует высоте в 160 м) полученные приближения хуже передают реальную картину течения.

Заключение

В работе предложен метод построения трехмерных стационарных течений, моделирующих течение воздуха в придонных частях природных восходящих закрученных потоках — торнадо и тропические циклоны.

Выражаю благодарность своему научному руководителю, профессору С.П. Баутину за внимание и поддержку. ■

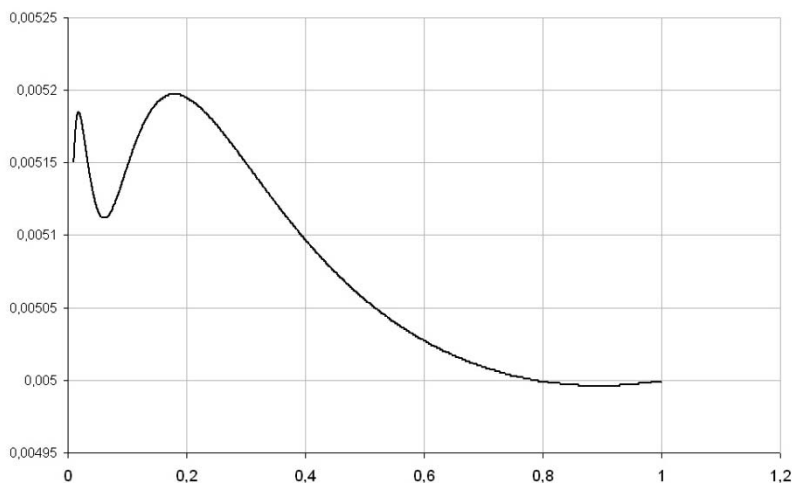


Рис. 1

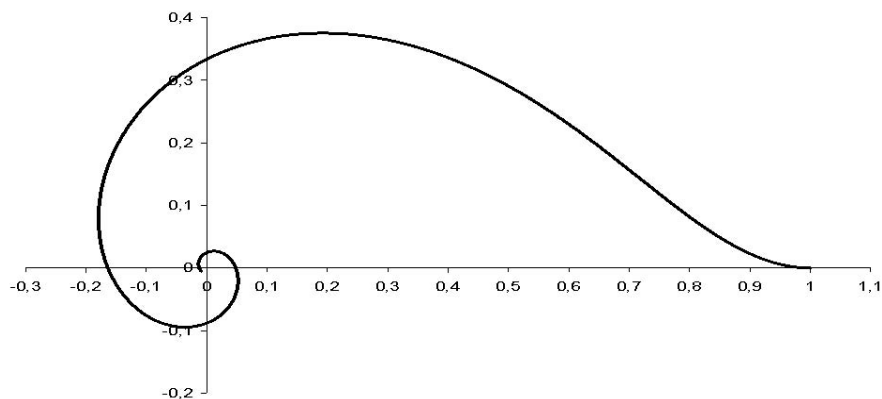


Рис. 2

Литература

1. Баутин С. П., Крутова И. Ю. Задача о плавном стоке в переменных r и t как характеристическая задача Коши стандартного вида // Вестник УрГУПС, 2011. № 1 (9). С. 4–13. ISSN 2079-0392.
2. Кочин Н. Е., Кибель И. А., Розе Н. В. Теоретическая гидромеханика. Ч. 1. М.: Физматгиз, 1963. 403 с.
3. Баутин С. П. Торнадо и сила Кориолиса. Новосибирск: Наука, 2008. 96 с. ISBN 978-5-02-0233266-2.
4. Баутин С. П. Характеристическая задача Коши для квазилинейной аналитической системы // Дифференциальные уравнения, 1976. Т. 12, № 11. С. 2052–2063.
5. Баутин С. П. Характеристическая задача Коши и ее приложения в газовой динамике. Новосибирск: Наука, 2009. 368 с. ISBN 978-5-02-023204-4.
6. Баутин С. П., Обухов А. Г. Моделирование спиральных течений в придонной части восходящего закрученного потока. Екатеринбург: УрГУПС, 2011. 80 с.
7. Баутин С. П., Рошупкин А. В. Аналитическое и численное построение решений системы уравнений газовой динамики, имеющих спиральный характер // Вычислительные технологии. 2011. Т. 16, № 1. С. 18–29. ISSN 1560-7534.
8. Tatom F. B., Witton S. J. The transfer of energy from tornado into the ground // Seismological Research Letter, 2001. V. 72. № 1. P. 12–21.

References

1. Bautin S. P., Krutova I. Ju. Zadacha o plavnom stoke v peremennykh r i t kak kharakteristicheskaja zadacha Koshi standartnogo vida // Vestnik UrGUPS, 2011. № 1 (9). S. 4–13. ISSN 2079-0392.
2. Kochin N. E., Kibel' I. A., Roze N. V. Teoreticheskaja gidromehanika. Ch.1. M.: Fizmatgiz, 1963. 403 s.
3. Bautin S. P. Tornado i sila Koriolisa. Novosibirsk: Nauka, 2008. 96 s. ISBN 978-5-02-0233266-2.
4. Bautin S. P. Harakteristicheskaja zadacha Koshi dlja kvazilejnoj analiticheskoy sistemy // Differencial'nye uravnenija, 1976. T. 12, № 11. S. 2052–2063.
5. Bautin S. P. Harakteristicheskaja zadacha Koshi i ee prilozhenija v gazovoj dinamike. Novosibirsk: Nauka, 2009. 368 s. ISBN 978-5-02-023204-4.
6. Bautin S. P., Obuhov A. G. Modelirovanie spiralnykh techenij v pridonnoj chasti voskhodjashchego zakruchennogo potoka. Ekaterinburg: UrGUPS, 2011. 80 s.
7. Bautin S. P., Rowupkin A. V. Analiticheskoe i chislennoe postroenie reshenij sistemy uravnenij gazovoj dinamiki, imejuvih spiral'nyj harakter // Vychislitel'nye tehnologii. 2011. T. 16, № 1. S. 18–29. ISSN 1560-7534.
8. Tatom F. B., Witton S. J. The transfer of energy from tornado into the ground // Seismological Research Letter, 2001. V. 72. № 1. P. 12–21.

Статья сдана в редакцию 13 января 2012 года

МЕХАНИКА МАШИН И РОБОТОВ

И. А. Добычин, М. Ю. Градинаров

УДК 639.4.015

Неголономная динамика колесной пары

I. A. Dobychin, M. Yu. Gradinarov

UDC 639.4.015

Non-holonomic dynamics of wheel pair

Аннотация

Статья посвящена математическому моделированию движения колесной пары с позиций неголономной динамики системы твердых тел, когда связи колес с рельсами рассматриваются как неголономные (кинематические неинтегрируемые) и односторонние, удовлетворяющие условию непроникания. Для случая безотрывного движения из уравнений неголономных связей в достаточно общем виде получены разрешающие уравнения для определения координат точек мгновенного контакта колес с рельсами и нормальных контактных сил в процессе движения. Описана пошаговая процедура решения задачи неголономной динамики колесной пары.

Ключевые слова:

динамика рельсовых экипажей, колесная пара, контактные силы, неголономная динамика, математическое моделирование.

Abstract

The article is devoted to the mathematic simulation of wheel pair movement from the position of non-holonomic dynamics of rigid bodies system, when wheels — rails communication is considered as non-holonomic (kinematic non-integrable), one-way communication, meeting nonpenetrating condition. For the case of continuous movement from the equations of non-holonomic connections there were got the resulting equations in a standard form to define the coordinates of instantaneous wheels — rails contact and usual contact forces in the process of movement. Step-by-step procedure to solve the problem of wheel pair non-holonomic dynamics is described.

Key words:

track vehicles' dynamics, wheel pair, contact forces, non-holonomic dynamics, mathematic simulation.

Настоящей публикацией авторы начинают серию статей, посвященную нелинейной механике рельсовых экипажей, в частности грузовых вагонов, объединяющих в себе как теоретические проблемы и разработку конкретных математических моделей рельсовых экипажей с позиций динамики системы твердых тел, так и разработку гибридных методов расчетно-аппаратного исследования системы «экипаж — рельсовый путь», основанных на совместном использовании результатов натуральных динамических испытаний и соответствующих математических моделей.

В настоящей статье колесная пара рассматривается как элемент динамической системы «экипаж — рельсовый путь», при этом связи колес с рельсами рассматриваются исключительно как неголономные (кинематические неинтегрируемые) и односторонние, удовлетворяющие условию непроникания. Для случая безотрывного движения в достаточно общем

Иван Александрович Добычин — д-р техн. наук, профессор; научно-производственное предприятие «Тормо»; Екатеринбург, Россия. Тел.: 8-919-360-65-02.

Михаил Юрьевич Градинаров — инженер; научно-производственное предприятие «Тормо»; Екатеринбург, Россия. E-mail: urff@list.ru.

Ivan A. Dobychin — DSc, Professor; Scientific and Industrial enterprise «Tormo»; Ekaterinburg, Russia. Tel.: 8-919-360-65-02.

Mikhail Yu. Gradinarov — engineer; Scientific and Industrial enterprise «Tormo»; Ekaterinburg, Russia. E-mail: urff@list.ru.

виде получены разрешающие уравнения для определения координат точек мгновенного контакта колес с рельсами и нормальных контактных сил в процессе движения.

В работах [1–5] изложена общая методика и сформирован математический аппарат строгого (с позиций теоретической механики) описания движения рельсовых экипажей, которые используются и в данной статье. Особенностью настоящей работы является то, что движение колесной пары рассматривается как движение тела в системе контактирующих тел (система «экипаж — рельсовый путь»), а уравнения неголономных связей колес с рельсами используются как для определения координат точек мгновенного контакта колес с рельсами, так и для определения мгновенных контактных сил в процессе движения. Описана пошаговая процедура решения задачи неголономной динамики колесной пары.

Расчетная схема и основные соотношения

Общая схема движения колесной пары вдоль рельсовой колеи

криволинейного в плане очертания приведена на рис. 1, показаны реперы используемых систем координат и основные обозначения.

Положение колесной пары (собственной системы координат $Cxyz$

с репером $\{\bar{e}_c\}^T = (\bar{i}, \bar{j}, \bar{k})$) $[Cxyz, \{\bar{e}_c\}]$ относительно путевой системы координат $[O\xi\eta\zeta, \{\bar{e}_o\}]$ в процессе движения определяется радиус-вектором $\bar{\rho}_C = \bar{\rho}_O + \bar{u}$, где $\bar{\rho}_O$ — радиус-вектор базового положения центра C , а \bar{u} — вектор перемещения центра C с компонентами x, y, z (x — подергивание, y — боковой относ., z — подпрыгивание) и углами ψ, ϕ (ψ — угол виляния, ϕ — угол боковой качки). Движение путевого репера $\{\bar{e}_o\}$ в общем случае задается дуговой координатой $S = \bar{O}O$, отсчитываемой вдоль криволинейной оси пути L , и тройкой углов ψ_0, χ_0, ϕ_0 (ψ_0 — угол поворота, χ_0 — угол подъема (спуска), ϕ_0 — угол превышения наружного рельса над внутренним); в дальнейшем (для краткости) ограничимся круговым участком пути с радиусом закругления R , когда $\psi_0 = S^0/R, \chi_0 = 0, \phi_0 = \text{arctg}(h^0/b^0)$.

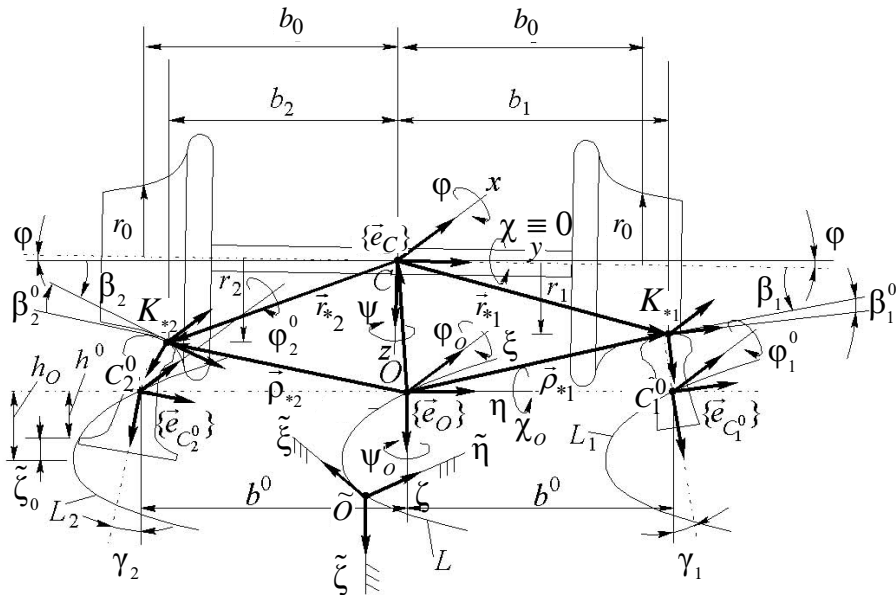


Рис. 1. Расчетная модельная схема системы «колесная пара — рельсовая колея»

Положение поперечных сечений рельсов с собственными системами координат $[C_j^O x_j^O y_j^O z_j^O, \{\bar{e}_{C_j^O}\}]$ определяется дуговыми координатами $S_j(S) = S + (-1)^j b^O \psi_0$ положения центров C_j^O на рельсовых нитях L_j , а перемещения — векторами $\bar{u}_j^O(x_{p_j}^O, y_{p_j}^O, z_{p_j}^O)$ и углами закручивания $\varphi_{p_j}^O$. Далее величинами угонных рельсов $x_{p_j}^O$ будем пренебрегать и считать, что собственные реперы контактных сечений рельсов совпадают по направлению с реперами $\{\bar{e}_{C_j^O}\}$.

Реперы $\{\bar{e}_C\}$ и $\{\bar{e}_{C_j^O}\}$ связаны с путевым репером $\{\bar{e}_O\}$ соотношениями

$$\{\bar{e}_O\} = \Pi_C^O \{\bar{e}_C\}, \quad \{\bar{e}_O\} = \Pi_{C_j^O}^O \{\bar{e}_{C_j^O}\}, \quad (1)$$

где $\Pi_C^O = \Psi\Phi$, $\Pi_{C_j^O}^O = \Phi_{\gamma_j + \varphi_{p_j}^O}$ — матрицы соответствующих сферических поворотов (γ_j — углы подуклонки рельсов), а Φ , Ψ — матрицы элементарных поворотов

$$\Phi = \begin{bmatrix} 1 & 0 & 0 \\ 0 & \cos \varphi & -\sin \varphi \\ 0 & \sin \varphi & \cos \varphi \end{bmatrix}, \quad \Psi = \begin{bmatrix} \cos \psi & -\sin \psi & 0 \\ \sin \psi & \cos \psi & 0 \\ 0 & 0 & 1 \end{bmatrix}. \quad (2)$$

В путевой системе координат $O\xi\eta\zeta$ имеем

$$\begin{aligned} \{\bar{\rho}_C\} &= \{\bar{\rho}_O\} + \{\bar{u}\}, \\ \{\bar{\rho}_{C_j^O}\} &= \{\bar{\rho}_O\} + \Phi_{\gamma_j} \{u_j^O\}, \end{aligned} \quad (3)$$

где $\{\bar{\rho}_O\} = (0, 0, -h_C)^T$,

$$\{\bar{\rho}_{O_j}\} = (0, (-1)^{j-1} b_O, 0)^T.$$

Положения точек мгновенного контакта колес с рельсами (k_{*j} на колесах, k_{*j}^O на рельсах) будем определять (в том числе) углами β_{*j} и β_{*j}^O на колесах и рельсах соответственно (на рис. 1 опущен индекс $(*)$). Координаты точек k_{*j} и k_{*j}^O в реперах $\{\bar{e}_C\}$ и $\{\bar{e}_{C_j^O}\}$ определяются радиус-векторами

$$\begin{aligned} \{\bar{r}_{*j}\} &= (x_{*j}, y_{*j}, z_{*j})^T, \\ \{\bar{r}_{*j}^O\} &= (x_{*j}^O, y_{*j}^O, z_{*j}^O)^T, \end{aligned} \quad (4)$$

а в путевой системе координат $O\xi\eta\zeta$ радиус-векторами $\bar{\rho}_{*j}$ и $\bar{\rho}_{*j}^O$ в виде

$$\begin{cases} \{\bar{\rho}_{*j}\} = \{\bar{\rho}_C\} + \Pi_C^O \{\bar{r}_{*j}\} = \\ = \{\bar{\rho}_C\} + \Psi\Phi \{\bar{r}_{*j}\}, \\ \{\bar{\rho}_{*j}^O\} = \{\bar{\rho}_{C_j^O}\} + \Phi_{\gamma_j + \varphi_{p_j}^O} \{\bar{r}_{*j}^O\}, \end{cases} \quad (5)$$

где следует учесть (4) и (2).

На рис. 1 через r_0 , r_1 , r_2 обозначены номинальный и мгновенные радиусы кругов катания колесной пары, отстоящие от центра колесной пары C на расстояниях b_0 , b_1 , b_2 соответственно.

Поверхности катания колес и рабочие поверхности гребней колес заданы аналитически через уравнения образующих поверхностей вращения в виде

$$r_j = f_j(y), \quad y \in \begin{cases} [b_r, b_n] & \text{при } j=1, \\ [-b_n, -b_r] & \text{при } j=2, \end{cases} \quad (6)$$

где f_j — функции, описывающие любую из образующих; $2b_n$, $2b_r$ — расстояния между наружными гранями колес и гребней колес. Поверхности катания и боковые грани рельсов будем считать заданными аналитически в виде

$$z_j^O = f_j^O(y_j^O), \quad y \in [-b_r^O, b_r^O], \quad (j=1, 2), \quad (7)$$

где функции f_j^O описывают верхнюю границу поперечного сечения рельса, играющую роль образующей при движении вдоль пути; $2b_r^O$ — шири-

на головки рельса. В общем случае неидеального рельса в функции f_j^o будет в качестве переменного входить дуговая координата S .

Углы β_{*j} и β_j^0 , характеризующие наклон касательных на поверхностях катания колес и рельсов, в общем случае переменные и выражаются через производные функций f_j, f_j^0 в виде $\text{tg}\beta_j = f_j'(y)$, $\text{tg}\beta_j^0 = f_j^{0'}(y_j^0)$, где штрих означает первую производную.

Точки k_{*j} на мгновенных кругах катания с радиусами r_j отклонены от вертикальной меридиональной плоскости колесной пары на углы α_{*j} , которые назовем углами забегаания точек контакта. В этом случае координаты x_{*j} , y_{*j} , z_{*j} точки K_{*j} будут удовлетворять соотношениям (с учетом (6))

$$\begin{Bmatrix} x_{*j} \\ y_{*j} \\ z_{*j} \end{Bmatrix} = \begin{Bmatrix} r_j \sin \alpha_{*j} \\ y_{*j} \\ r_j \cos \alpha_{*j} \end{Bmatrix} = \begin{Bmatrix} f_j(y_{*j}) \sin \alpha_{*j} \\ y_{*j} \\ f_j(y_{*j}) \cos \alpha_{*j} \end{Bmatrix}. \quad (8)$$

С точками мгновенного контакта на колесе и рельсе $K_*j = K_*^Oj = M_*^j$ свяжем локальные системы координат с реперами $\{\bar{e}_{*j}\}^T = \{\bar{e}_{1*jj}, \bar{e}_{2*jj}, \bar{e}_{3*jj}\}^T$ и $\{\bar{e}_{*j}^O\}^T = \{\bar{e}_{1*jj}^O, \bar{e}_{2*jj}^O, \bar{e}_{3*jj}^O\}^T$, как показано на рис. 2 (на рис. 2 опущен индекс j), при этом $\bar{e}_{3*jj} = \bar{e}_{3*jj}^O$ — единичный вектор общей нормали к поверхности колеса и рельса, направленный внутрь рельса, а остальные орты лежат в плоскости контактной площадки

$\Theta_{*j} = \Theta_{*j}^0$ (именуемой эллипсом контакта), которую можно считать расположенной в мгновенно совпадающих касательных плоскостях в точках контакта π_j, π_j^0 . Угол между ортами \vec{e}_{1*j} и \vec{e}_{1*j}^0 (как это видно из рис. 2) связаны между собой соотношением поворота вокруг общей нормали на угол θ_{*j} в виде

$$\{\bar{e}_{*j}\} = \Psi_{\theta_{*j}}^T \{\bar{e}_{*j}^O\}, \quad (9)$$

с путевым репером $\{\vec{e}_o\}$ связаны соотношения

$$\begin{aligned} \{\bar{e}_O\} &= \Psi X_{\alpha_j} \Phi_{\beta_j + \varphi} \{\bar{e}_{*j}\}, \\ \{\bar{e}_O\} &= \Phi_{\bar{\beta}_j^O} \{\bar{e}_{*j}^O\}, \end{aligned} \quad (10)$$

где $\bar{\beta}_{*j}^O = \beta_{*j}^O + \gamma_j + \varphi_{p_j}^O$, а

$$X_{\alpha_{*j}} = \begin{bmatrix} \cos \alpha_{*j} & 0 & \sin \alpha_{*j} \\ 0 & 1 & 0 \\ -\sin \alpha_{*j} & 0 & \cos \alpha_{*j} \end{bmatrix} \quad (11)$$

— матрица элементарного поворота
вокруг поперечной оси Cy .

Дифференциальные уравнения движения колесной пары

Для составления дифференциальных уравнений движения колесной пары воспользуемся общими теоремами динамики: теоремой о движении центра масс и теоремой об изменении кинетического момента относительно центра масс соответственно

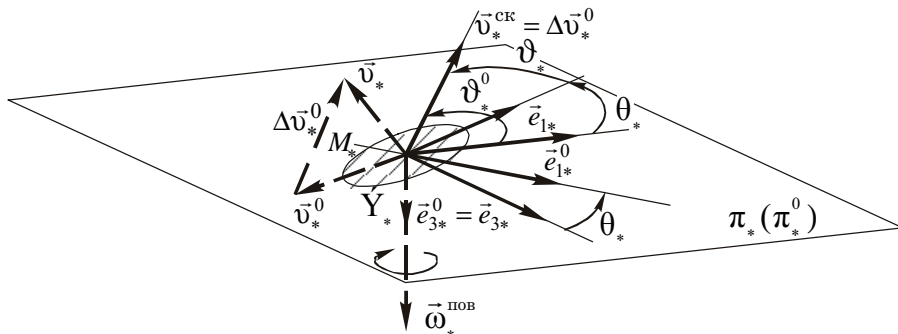


Рис. 2. Расчетная схема контакта колеса с рельсом

в путевой и собственной системах координат в виде:

$$m\{\vec{a}_C\} = \{\vec{F}^{(e)}\}, \quad \vec{J}\{\dot{\vec{\omega}}\} + \vec{\Omega}_C \vec{J}\{\vec{\omega}\} = \{\vec{M}_C^{(e)}\}, \quad (12)$$

где m — масса, а \vec{J} — тензор инерции колесной пары, \vec{a}_C — абсолютное ускорение центра масс, $\vec{\omega}$ — угловая скорость колесной пары, $\vec{\omega}_C = \vec{\omega} - \dot{\vec{\theta}}$ — угловая скорость собственной системы координат (репера $\{\vec{e}_C\}$); $\vec{\Omega}_C \Leftrightarrow \vec{\omega}_C$; $\vec{F}^{(e)}$, $\vec{M}_C^{(e)}$ — главный вектор и главный момент всей совокупности сил, действующих на колесную пару; при этом

$$\left\{ \begin{aligned} \vec{J} &= \begin{bmatrix} J_x & 0 & 0 \\ 0 & J_y & 0 \\ 0 & 0 & J_z \end{bmatrix}, \quad \{\vec{\omega}_C\} = \begin{bmatrix} \dot{\varphi} \\ (\dot{\psi} + \dot{\psi}_O) \sin(\varphi + \varphi_O) \\ (\dot{\psi} + \dot{\psi}_O) \cos(\varphi + \varphi_O) \end{bmatrix}, \\ \dot{\psi}_O = \frac{\dot{S}}{R}; \quad \vec{\Omega}_C \vec{J}\{\vec{\omega}\} &= \begin{bmatrix} (J_z - J_y)\omega_{C_z}\omega_{C_y} - J_y\dot{\theta}\omega_{C_z} \\ (J_x - J_z)\omega_{C_x}\omega_{C_z} \\ (J_y - J_x)\omega_{C_y}\omega_{C_x} + J_y\dot{\theta}\omega_{C_x} \end{bmatrix} \end{aligned} \right\} (J_x = J_y); \quad (13)$$

$$\{\vec{a}_C\} = \{\vec{a}_O\} + \{\ddot{\vec{u}}\} + 2\vec{\Omega}_O\{\dot{\vec{u}}\} + [\vec{\Omega}_O + \vec{\Omega}_O^2]\{\vec{p}_O + \vec{u}\} \quad (14)$$

или в развернутом виде ($\dot{s} = v_O = \text{const}$)

$$\{\vec{a}_C\} = \left\{ \begin{aligned} \ddot{x} + \frac{\dot{S}}{R}(\dot{z} \sin \varphi_O - \dot{y} \cos \varphi_O) - \left(\frac{\dot{S}}{R} \right)^2 \sin \varphi_O [x \sin \varphi_O + (z - h_C) \cos \varphi_O] \\ \ddot{y} + \frac{\dot{S}}{R} \dot{x} \cos \varphi_O + \left(\frac{\dot{S}}{R} \right)^2 (R \cos \varphi_O - y) \\ \ddot{z} - \frac{\dot{S}}{R} \dot{x} \sin \varphi_O - \left(\frac{\dot{S}}{R} \right)^2 \sin \varphi_O [(R + x \cos \varphi_O) \sin \varphi_O + (z - h_C) \cos^2 \varphi_O] \end{aligned} \right\}, \quad (14^*)$$

где $\dot{\Omega}_O = 0$.

$$\{\dot{\vec{\omega}}\} = \left\{ \begin{bmatrix} \ddot{\varphi} \\ \ddot{\theta} + \ddot{\psi} \sin(\varphi + \varphi_O) + (\dot{\psi} + \dot{\psi}_O)\dot{\varphi} \cos(\varphi + \varphi_O) \\ \ddot{\psi} \cos(\varphi + \varphi_O) - (\dot{\psi} + \dot{\psi}_O)\dot{\varphi} \sin(\varphi + \varphi_O) \end{bmatrix} \right\}. \quad (15)$$

Из выражений (13)–(15) хорошо видна структура правых частей всех шести уравнений относительно переменных x , y , z и φ , θ и ψ ; с использованием последних уравнений можно исключить $\ddot{\psi}$ из пятого уравнения, и система окажется разрешенной относительно старших производных. Получающаяся система нелинейных дифференциальных уравнений может быть проинтегрирована пошаговым численным методом, например, методом Рунге – Кутты с автоматическим шагом по времени.

Силы, действующие на колесную пару, включают в себя силы контактного взаимодействия с рельсами $\vec{R}_{*j} = -\vec{R}_{*j}^O$, $M_{*j} = -M_{*j}^O$, приложенные в точках контакта $K_{*j} = K_{*j}^O$ колес с рельсами, силу тяжести $\vec{G} = m\vec{g}$ и силы

взаимодействия с буксовыми узлами; последние будем считать приведенными соответственно к точкам A_j , расположенным на оси колесной пары на расстояниях b_j от центра C , то есть в точках с радиус-векторами $\vec{r}_{A_j} = (-1)^{j-1} b_A \vec{j}$, и обозначим их \vec{Q}_{A_j} , \vec{M}_{A_j} в координатах $Cxyz$.

Дифференциальные уравнения (12) в более подробной записи имеют вид

$$\left\{ \begin{array}{l} \ddot{x} \\ \ddot{y} \\ \ddot{z} \end{array} \right\} + \frac{\dot{S}}{R} \left\{ \begin{array}{l} \dot{z} \sin \varphi_O - \dot{y} \cos \varphi_O \\ \dot{x} \cos \varphi_O \\ -\dot{x} \sin \varphi_O \end{array} \right\} - \left(\frac{\dot{S}}{R} \right)^2 \left\{ \begin{array}{l} x \sin^2 \varphi_O + (z - h_C) \sin \varphi_O \cos \varphi_O \\ y - R \cos \varphi_O \\ (R + x \cos \varphi_O) \sin \varphi_O + (z - h_C) \cos^2 \varphi_O \end{array} \right\} = \\ = \frac{1}{m} \sum_{j=1}^2 \sum_{*j} \{ \vec{R}_{*j} \} + \frac{1}{m} \Psi \Phi \sum_{j=1}^2 \{ \vec{Q}_{A_j} \} + \{ \vec{g} \}_O; \\ \left\{ \begin{array}{l} J_x \ddot{\varphi} \\ J_y \ddot{\theta} + J_y \ddot{\psi} \sin(\varphi + \varphi_O) \\ J_z \ddot{\psi} \cos(\varphi + \varphi_O) \end{array} \right\} + \left\{ \begin{array}{l} 0 \\ J_y \dot{\varphi} \left(\dot{\psi} + \frac{\dot{S}}{R} \right) \cos(\varphi + \varphi_O) \\ -J_z \dot{\varphi} \left(\dot{\psi} + \frac{\dot{S}}{R} \right) \sin(\varphi + \varphi_O) \end{array} \right\} + \\ + \left\{ \begin{array}{l} (J_z - J_y) \omega_{C_x} \omega_{C_y} - J_y \dot{\theta} \omega_{C_z} \\ (J_x - J_z) \omega_{C_x} \omega_{C_z} \\ (J_y - J_x) \omega_{C_y} \omega_{C_x} + J_y \dot{\theta} \omega_{C_x} \end{array} \right\} = \sum_{j=1}^2 \sum_{*j} \{ \{ \vec{r}_{*j} \times \vec{R}_{*j} \} + \vec{M}_{*j} \} + \\ + \sum_{j=1}^2 \{ \{ \vec{r}_{A_j} \times \vec{Q}_{A_j} \} + \vec{M}_{A_j} \} + \{ \vec{g} \}_O, \quad (16)$$

где $J_x = J_z$ и следует учесть выражение для $\{ \vec{\omega}_C \}$ (13).

В уравнениях (16) пока остаются неопределенными мгновенные контактные силы \vec{R}_{*j} , \vec{M}_{*j} и координаты мгновенных точек контакта колес с рельсами. Для их определения и согласования начальных условий в дальнейшем будут использованы уравнения геометрических и кинематических (неголономных) связей.

Мгновенные геометрические связи колес с рельсами

Геометрическое условие мгновенного непроникающего контакта в точках $K_{*j}^O = K_{*j} = M_{*j}$ (рис. 2) путевой системе координат $[O\xi\eta\zeta, \{ \vec{e}_O \}]$ запишется в виде

$$\{ \vec{\rho}_{*j}^O \} = \{ \vec{\rho}_{*j} \}, \quad \{ \vec{e}_{3*j}^O \} = \{ \vec{e}_{3*j} \}_O, \quad (j = 1, 2) \quad (17)$$

и заключается в совпадении координат точек контакта колес с рельсами и совпадении нормалей в точках контакта для конкретного фиксированного момента времени (в соответствии с принципом мгновенной склеронизации связей).

Из соотношений между реперами (9) и (10) получаем матричное уравнение [5]

$$\Psi X_{\alpha_j} \Phi_{\beta_j + \varphi} = \Phi_{\bar{\beta}_j^O} \Psi_{\theta_j}. \quad (18)$$

Раскрывая матрицы в (18) и приравнявая последние столбцы в итоговых матрицах слева и справа получим систему трех уравнений

$$\begin{cases} \sin \psi \sin(\beta_j + \varphi) + \\ + \cos \psi \sin \alpha_j \cos(\beta_j + \varphi) = 0; \\ -\cos \psi \sin(\beta_j + \varphi) + \\ + \sin \psi \sin \alpha_j \cos(\beta_j + \varphi) = \\ = -\sin \bar{\beta}_j^O; \\ \cos \alpha_j \cos(\beta_j + \varphi) = \cos \bar{\beta}_j^O. \end{cases} \quad (19)$$

Равенства (19) представляют собой условие совпадения нормальных ортов локальных реперов в точках контакта $\bar{e}_{3j} = \bar{e}_{3j}^O$, то есть эквивалентны второму из уравнений связей (17).

Решая систему уравнений (19) относительно углов α_j и $\bar{\beta}_j^O$, найдем

$$\operatorname{tg} \alpha_j = -\frac{\operatorname{tg} \psi \operatorname{tg}(\beta_j + \varphi)}{\sqrt{1 - \operatorname{tg}^2 \psi \operatorname{tg}^2(\beta_j + \varphi)}}; \quad (20)$$

$$\operatorname{tg} \bar{\beta}_j^O = \frac{\operatorname{tg}(\beta_j + \varphi)}{\sqrt{\cos^2 \psi - \sin^2 \psi \operatorname{tg}^2(\beta_j + \varphi)}}. \quad (21)$$

С другой стороны,

$$\begin{cases} \operatorname{tg} \bar{\beta}_j^O = \operatorname{tg}(\beta_j^O + \gamma_j + \varphi_{pj}^O) = \\ = \frac{\operatorname{tg} \beta_j^O + \operatorname{tg}(\gamma_j + \varphi_{pj}^O)}{1 - \operatorname{tg} \beta_j^O \operatorname{tg}(\gamma_j + \varphi_{pj}^O)}; \\ \operatorname{tg}(\beta_j + \varphi) = \frac{\operatorname{tg} \beta_j^O + \operatorname{tg} \varphi}{1 - \operatorname{tg} \beta_j^O \operatorname{tg} \varphi}, \end{cases} \quad (22)$$

где (напомним)

$$\operatorname{tg} \beta_j = f'_j(y_{*j}), \quad \operatorname{tg} \beta_j^O = f_j^{O'}(y_{*j}^O). \quad (22^*)$$

Равенство (20) определяет углы забегания α_j ; точек мгновенного контакта на мгновенных кругах катания колес. Равенство же (21) представляет собой уравнение связи между координатами y_{*j}^O и y_{*j} точек K_{*j}^O и K_{*j} ; представим его в виде

$$\mathfrak{N}_{*j}(y_{*j}^O, y_{*j}; \varphi_{pj}^O, \psi, \varphi) = 0, \quad (j = 1, 2), \quad (23)$$

где обозначено (учитывая (21) и (22))

$$\mathfrak{N}_{*j} = \frac{f_j^{O'}(y_{*j}^O) + \operatorname{tg}(\gamma_j + \varphi_{pj}^O)}{1 - f_j^{O'}(y_{*j}^O) \operatorname{tg}(\gamma_j + \varphi_{pj}^O)} - \frac{f'_j(y_{*j}) + \operatorname{tg} \varphi}{1 - f'_j(y_{*j}) \operatorname{tg} \varphi}. \quad (24)$$

Для углов θ_{*j} из того же матричного уравнения (18) (приравнявая, например, первые строки) найдем

$$\operatorname{tg} \theta_{*j} = \operatorname{tg} \psi \sqrt{\frac{1 + \operatorname{tg}^2(\beta_{*j} + \varphi)}{1 - \operatorname{tg}^2 \psi \operatorname{tg}^2(\beta_{*j} + \varphi)}}, \quad (25)$$

где следует учесть (22).

Первое условие в (17) перепишем в координатной форме

$$\xi_{*j}^O = \xi_{*j}, \quad \eta_{*j}^O = \eta_{*j}, \quad \zeta_{*j}^O = \zeta_{*j}, \quad (26)$$

где, учитывая равенства (5),

$$\begin{cases} \xi_{*j}^O = \xi_{C_j^O} + x_{*j}^O; \\ \eta_{*j}^O = \eta_{C_j^O} + y_{*j}^O \cos \bar{\gamma}_j - z_{*j}^O \sin \bar{\gamma}_j; \\ \zeta_{*j}^O = \zeta_{C_j^O} + y_{*j}^O \sin \bar{\gamma}_j + z_{*j}^O \cos \bar{\gamma}_j, \end{cases} \quad (27)$$

где

$$\begin{cases} \xi_{C_j^O} = x_{pj}^O; \\ \eta_{C_j^O} = (-1)^{j-1} b_O + \\ + y_{pj}^O \cos \gamma_j - z_{pj}^O \sin \gamma_j; \\ \zeta_{C_j^O} = y_{pj}^O \sin \gamma_j + z_{pj}^O \cos \gamma_j; \\ \bar{\gamma}_j = \gamma_j + \varphi_{pj}^O, \quad (j = 1, 2) \end{cases} \quad (27^*)$$

и, соответственно,

$$\begin{cases} \xi_{*j} = x + x_{*j} \cos \psi - y_{*j} \sin \psi; \\ \eta_{*j} = y + x_{*j} \sin \psi \cos \varphi + \\ + y_{*j} \cos \psi \cos \varphi - z_{*j} \sin \varphi; \\ \zeta_{*j} = z - h_c + x_{*j} \sin \psi \sin \varphi + \\ + y_{*j} \cos \psi \sin \varphi + z_{*j} \cos \varphi; \\ (j = 1, 2). \end{cases} \quad (28)$$

Далее в (27), (28) пренебрежем угонкой рельса, полагая $x_{pj}^O = 0$.

В выражениях (27) и (28) (учитываем (8) и (20))

$$\begin{cases} x_{*j}^O \\ y_{*j}^O \\ z_{*j}^O \end{cases} = \begin{cases} x_{*j}^O \\ y_{*j}^O \\ f_j^O(y_{*j}^O) \end{cases}; \quad \begin{cases} x_{*j} \\ y_{*j} \\ z_{*j} \end{cases} = \begin{cases} -f_j(y_{*j}) \operatorname{tg} \psi \operatorname{tg}(\beta_{*j} + \varphi) \\ y_{*j} \\ f_j(y_{*j}) \sqrt{1 - \operatorname{tg}^2 \psi \operatorname{tg}^2(\beta_{*j} + \varphi)} \end{cases}, \quad (29)$$

где (см. (22))

$$\operatorname{tg}(\beta_{*j} + \varphi) = \frac{f_j'(y_{*j}) + \operatorname{tg} \varphi}{1 - f_j'(y_{*j}) \operatorname{tg} \varphi}. \quad (30)$$

Из первого уравнения в (26) сразу находим

$$x_{*j}^O = x - \sin \psi \times \left[y_{*j} + f_j'(y_{*j}) \left[\frac{f_j'(y_{*j}) + \operatorname{tg} \varphi}{1 - f_j'(y_{*j}) \operatorname{tg} \varphi} \right] \right]. \quad (31)$$

Из двух последних уравнений в (26) выразим y_{*j}^O и z_{*j}^O в виде

$$\begin{cases} y_{*j}^O = (\eta_{*j} - \eta_{c_j^O}) \cos \bar{\gamma}_j + \\ + (\zeta_{*j} - \zeta_{c_j^O}) \sin \bar{\gamma}_j; \\ z_{*j}^O = (\eta_{*j} - \eta_{c_j^O}) \sin \bar{\gamma}_j + \\ + (\zeta_{*j} - \zeta_{c_j^O}) \cos \bar{\gamma}_j. \end{cases} \quad (32)$$

После подстановки в (32) выражений (28) с учетом второй группы выражений в (29) получаем

$$\begin{cases} y_{*j}^O = \tilde{y}_{*j}^O(y_{*j}; y_{pj}^O, z_{pj}^O, \varphi_{pj}^O; \\ x, y, z, \varphi, \psi); \\ z_{*j}^O = \tilde{z}_{*j}^O(y_{*j}; y_{pj}^O, z_{pj}^O, \varphi_{pj}^O; \\ x, y, z, \varphi, \psi), \end{cases} \quad (33)$$

где

$$\begin{aligned} \tilde{y}_{*j}^O &= (y - \eta_{c_j^O}) \cos \bar{\gamma}_j + \\ &+ (z - h_c - \zeta_{c_j^O}) \sin \bar{\gamma}_j + \\ &+ \cos \psi \cos(\gamma_j + \varphi_{pj}^O - \varphi) \times \\ &\times [y_{*j} - f_j(y_{*j}) \operatorname{tg}^2 \psi \operatorname{tg}(\beta_{*j} + \varphi)] + \\ &+ \sin(\gamma_j + \varphi_{pj}^O - \varphi) f_j(y_{*j}) \times \\ &\times \sqrt{1 - \operatorname{tg}^2 \psi \operatorname{tg}^2(\beta_{*j} + \varphi)}; \\ \tilde{z}_{*j}^O &= -(y - \eta_{c_j^O}) \sin \bar{\gamma}_j + \\ &+ (z - h_c - \zeta_{c_j^O}) \cos \bar{\gamma}_j - \\ &- \cos \psi \sin(\gamma_j + \varphi_{pj}^O - \varphi) \times \\ &\times [y_{*j} - f_j(y_{*j}) \operatorname{tg}^2 \psi \operatorname{tg}(\beta_{*j} + \varphi)] + \\ &+ \cos(\gamma_j + \varphi_{pj}^O - \varphi) f_j(y_{*j}) \times \\ &\times \sqrt{1 - \operatorname{tg}^2 \psi \operatorname{tg}^2(\beta_{*j} + \varphi)} \end{aligned} \quad (33^*)$$

и следует учесть выражения (30) и (27*).

Подставляя выражения (33) в уравнения поверхностей головок рельсов (7), получим нелинейное алгебраическое уравнение относительно y^* вида

$$\mathfrak{N}_{*j}^O(y_{*j}; z_{pj}^O, \varphi_{pj}^O; y, z, \varphi, \psi) = 0, \quad (34)$$

где $\mathfrak{N}_{*j}^O = \tilde{z}_{*j}^O - f_j^O(y_{*j}^O)$ и учтены выражения (33*).

Таким образом, в случае состоявшегося контакта в точке $M_{*j} = K_{*j}^O = K_{*j}$ в каждый фиксированный момент времени t поперечные координаты y_{*j} , y_{*j}^O точек контакта удовлетворяют уравнениям мгновенных связей (23) и (34), которые переписываем в виде

$$\mathfrak{N}_{*j}^O[y_{*j}; \bar{q}_j^O(t)] = 0, \quad \mathfrak{N}_{*j}[y_{*j}, y_{pj}^O; \bar{q}_j(t)] = 0, \quad (35)$$

где \mathfrak{N}_{*j} и \mathfrak{N}_{*j}^O даны по (23), (34), а через

$$\begin{cases} \bar{q}_j^O(t) = (t, y_{pj}^O, z_{pj}^O, \varphi_{pj}^O; y, z, \varphi, \psi), \\ \bar{q}_j(t) = (t, \varphi_{pj}^O; \varphi, \psi), \quad (j-1, 2) \end{cases} \quad (35^*)$$

обозначены динамические переменные задачи движения колесной пары. Равенства (35), по сути, являются системой двух нелинейных алгебраических уравнений относительно координат y_{*j} и y_{*j}^O для любого фиксированного момента t .

Динамические переменные в (35) не являются независимыми. Используя принцип мгновенной склеронимизации связей (то есть фиксируя мгновенно точки контакта), найдем зависимость переменных z , φ от переменных y , ψ из последних двух уравнений в (28) после усреднений по $j = 1, 2$, в виде

$$\begin{cases} z(t, y, \psi, \dots) = h_c + \bar{\zeta}_*^O(t) - \sqrt{(\bar{x}_* \sin \psi + \bar{y}_* \cos \psi)^2 + \bar{z}_*^2 - (\bar{\eta}_*^O(t) - y)^2}; \\ \text{tg} \varphi(t, y, \psi, \dots) = \\ = \frac{(\bar{x}_* \sin \psi + \bar{y}_* \cos \psi) \times \sqrt{(\bar{x}_* \sin \psi + \bar{y}_* \cos \psi)^2 + \bar{z}_*^2 - (\bar{\eta}_*^O(t) - y)^2} - \bar{z}_* (\bar{\eta}_*^O(t) - y)}{\sqrt{(\bar{x}_* \sin \psi + \bar{y}_* \cos \psi)^2 + \bar{z}_*^2 - (\bar{\eta}_*^O(t) - y)^2} + (\bar{x}_* \sin \psi + \bar{y}_* \cos \psi) (\bar{\eta}_*^O(t) - y)}, \end{cases} \quad (36)$$

где

$$\begin{cases} \bar{x}_* = \frac{x_{*1} + x_{*2}}{2}; \quad \bar{y}_* = \frac{y_{*1} + y_{*2}}{2}; \quad \bar{z}_* = \frac{z_{*1} + z_{*2}}{2}; \\ \bar{\eta}_*^O(t) = \frac{\bar{\eta}_{*1}^O(t) + \bar{\eta}_{*2}^O(t)}{2}; \quad \bar{\zeta}_*^O(t) = \frac{\bar{\zeta}_{*1}^O(t) + \bar{\zeta}_{*2}^O(t)}{2}. \end{cases} \quad (36^*)$$

Уравнения (36) справедливы для малого промежутка времени, начиная с момента мгновенной фиксации координат точек контакта $K_{*j}^O = K_{*j}$ колес с рельсами.

Моделирование рельсового пути

Зависимость от времени конфигурации рельсовых нитей в процессе движения колесной пары (экипажа) складывается как за счет износа рабочих поверхностей рельсов и непосредственных вертикальных, поперечных и угловых отклонений поперечных сечений рельсов, так и за счет динамических прогибов рельсов.

В данной работе примем упрощенный вариант модели рельсового пути, когда рельсовые нити принимаются как абсолютно жесткие неподвижные тела, с обобщенными неровностями, описываемыми аналитическими функциями $\tilde{y}_{pj}^O(S)$, $\tilde{z}_{pj}^O(S)$, $\tilde{\varphi}_{pj}^O(S)$, где $S = S(t)$ — дуговая координата, задающая движение путевого репера \vec{e}_O (рис. 1). Такой подход зачастую используется как в инженерных [6, 7], так и теоретических моделях [7–9] при исследовании динамики рельсовых экипажей.

Таким образом, примем, что

$$y_{pj}^O = \tilde{y}_{pj}^O[S(t)], \quad z_{pj}^O = \tilde{z}_{pj}^O[S(t)], \quad \varphi_{pj}^O = \tilde{\varphi}_{pj}^O[S(t)]. \quad (37)$$

Указанное упрощение введено с целью сокращения выкладок. В общем случае могут использоваться любые, более сложные модели рельсового пути [10].

Для определения функций $f_i(y)$, описывающих профили поверхностей катания колес, используются результаты измерений (профилограмм), например, в виде, представленном на рис. 3 и в таблице 1 [7].

Также для функций $f_j^0(y_j^0)$, описывающих поверхности катания рель-

сов, можно использовать результаты обработки профилограмм, например, см. рис. 4 и таблицу 2 [11].

Усредненный профиль (см. таблицу 2) в системе координат xu (рис. 4) достаточно хорошо описывается зависимостями

$$y = \begin{cases} \frac{4,295x}{-49,933 - 1,433x} & \text{при } x > 0; \\ -0,0767 + 0,002x^2 & \text{при } x \leq 0. \end{cases} \quad (38)$$

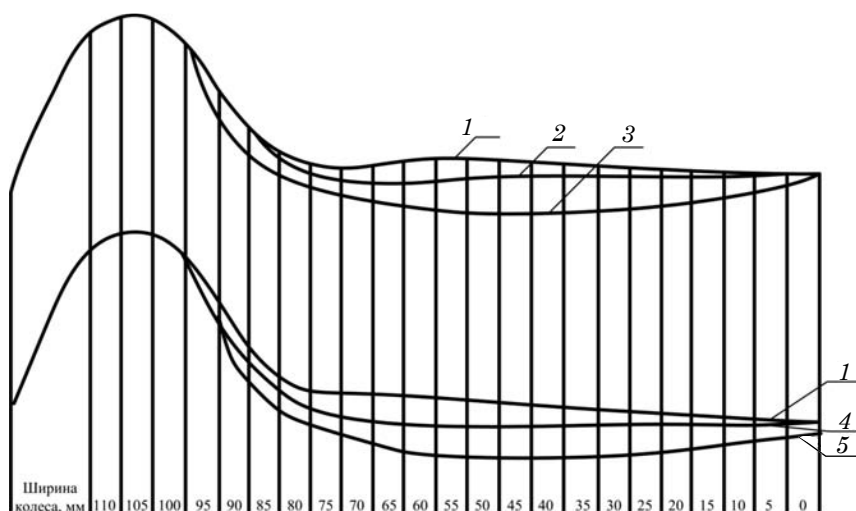


Рис. 3. Расчетная схема поверхности катания колеса

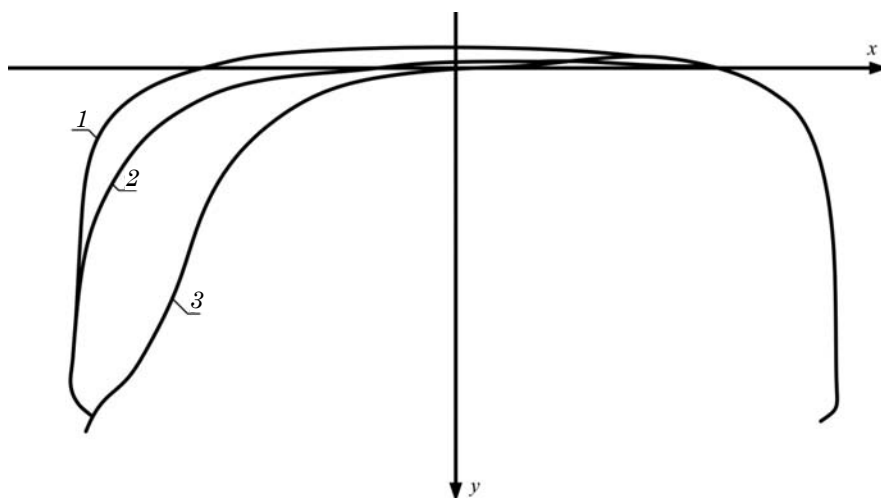


Рис. 4. Поперечные профили рельсов с боковым износом, мм
1 – $h_{бок} = 0$; 2 – $h_{бок} = 4$; 3 – $h_{бок} = 13$

**Условия безотрывного движения
колесной пары и уравнения
неголономных связей**

Движение колесной пары будем считать безотрывным, если в каждый момент времени у каждого из колес имеется хотя бы одна точка непроникающего контакта с соответствующим рельсом, в которой выполнены геометрические условия (17). Кинематические условия непроникания предполагают, что в мгновенно фиксированных точках контакта $K_{*j} = K_{*j}^O$ должны, кроме (17), выполняться условия [5]

$$((\vec{v}_{*j} - \vec{v}_{*j}^O) \cdot \vec{e}_{*j}^O) = (\Delta \vec{v}_{*j} \cdot \vec{e}_{*j}^O) \leq 0, \quad (39)$$

где $\Delta \vec{v}_{*j} = \vec{v}_{*j} - \vec{v}_{*j}^O$ — относительные скорости точек K_{*j} . В случае неподвижных рельсов $\vec{v}_{*j}^O = 0$. При безотрывном движении условие (39) должно выполняться со знаком равенства.

Допустим, что в начальный момент времени ($t = 0$) выполнены условия (17) и условие (39) в виде ($\vec{v}_{*j}^O = 0$)

$$(\vec{v}_{*j}|_{t=0} \cdot \vec{e}_{3*j}^O) = 0, \quad (\vec{e}_{3*j}^O = \vec{e}_{3*j}). \quad (40)$$

Таблица 1

Профили поверхности катания колес

Ширина колеса, мм	Номер профиля колеса				
	1 (новый)	2 (средне-сетевой)	3 (прокат 7 мм)	4 (прокат 5 мм)	5 (прокат 9 мм)
110	0,9780	0,9780	0,9780	0,9780	0,9780
105	0,9740	0,9740	0,9670	0,9740	0,9730
100	0,9690	0,9650	0,9630	0,9670	0,9630
95	0,9600	0,9570	0,9540	0,9560	0,9530
90	0,9535	0,9520	0,9500	0,9505	0,9483
85	0,9515	0,950	0,9480	0,9485	0,9460
80	0,9513	0,9490	0,9460	0,9470	0,9440
75	0,9510	0,9482	0,9450	0,9463	0,9430
70	0,9505	0,9480	0,9440	0,9460	0,9415
65	0,9500	0,9480	0,9435	0,9450	0,9410
60	0,9495	0,9475	0,9430	0,9445	0,9400
55	0,9490	0,9470	0,9425	0,9440	0,9392
50	0,9487	0,9470	0,9420	0,9438	0,9390
45	0,9486	0,9465	0,9420	0,9435	0,9390
40	0,9483	0,9465	0,9420	0,9430	0,9390
35	0,9480	0,9465	0,9420	0,9430	0,9395
30	0,9481	0,9460	0,9420	0,9435	0,9400
25	0,9470	0,9455	0,9420	0,9438	0,9405
20	0,9465	0,9455	0,9420	0,9440	0,9410
15	0,9450	0,9450	0,9425	0,9440	0,9415
10	0,9445	0,9450	0,9430	0,9450	0,9420
5	0,9440	0,9440	0,9440	0,9440	0,9430
0	0,9390	0,9390	0,9390	0,9390	0,9390

Таблица 2

Координаты точек усредненного профиля катания рельса

x, мм	-29	-27,5	-25	-20	-15	-10	-5	0	5	10	15	20	25
y, мм	16	11	6,5	3,5	2,6	1,3	0,8	0	-0,34	-0,56	-0,7	-0,74	-0,65

Тогда условием сохранения непроникающего контакта при последующем движении колесной пары можно считать условие $(\dot{\vec{v}}_{*j} \cdot \vec{e}_{3*j}^O) = 0$ или $(\vec{a}_{*j} \cdot \vec{e}_{3*j}^O) = 0$, то есть условие равенства нулю нормальной составляющей относительного ускорения $(\vec{a}_{*j}^O = 0)$ при мгновенно фиксированных нормальных ортах $\vec{e}_{3*j}^O = \vec{e}_{3*j}$.

Равенства

$$\begin{aligned} (\vec{v}_{*j} \cdot \vec{e}_{3*j}^O) = 0, \quad (\vec{a}_{*j} \cdot \vec{e}_{3*j}^O) = 0, \\ (j = 1, 2), \end{aligned} \quad (41)$$

где $\vec{a}_{*j} = \dot{\vec{v}}_{*j}$, представляют собой уравнения неголономных (кинематически не интегрируемых) связей, число которых совпадает с числом точек контакта; при этом контакт колеса с рельсом может быть одно-, двух- или многоточечным. Условия (41) указывают, что векторы относительных скоростей и ускорений точек контакта K_{*j} лежат в плоскостях площадок контакта $\pi_{*j} = \pi_{*j}^O$ (см. рис. 2).

Равенства (40) используются для доопределения начальных условий для дифференциальных уравнений движения колесной пары, а уравнения неголономных связей (41) используются далее для определения мгновенных контактных сил между колесами и рельсами.

Процедура определения координат точек мгновенного контакта колес с рельсами на шаге интегрирования

Пусть при безотрывном движении для момента времени t определены и фиксированы координаты мгновенных точек контакта колес с рельсами и динамические переменные задачи, то есть известны

$$t \Leftrightarrow \{y; \psi, \bar{x}_*, \bar{y}_*, \bar{z}_*, \bar{\eta}_*^O, \bar{\zeta}_*^O\}$$

и, соответственно, с учетом (36), (36*)

$$z(t) \Leftrightarrow z[t, y, \psi, \bar{x}_*, \bar{y}_*, \bar{z}_*, \bar{\eta}_*^O, \bar{\zeta}_*^O];$$

$$\varphi(t) \Leftrightarrow \varphi[t, y, \psi, \bar{x}_*, \bar{y}_*, \bar{z}_*, \bar{\eta}_*^O, \bar{\zeta}_*^O].$$

Решая уравнения движения колесной пары (экипажа) на шаге $[t, t + \tau]$, найдем для момента времени $\hat{t} = t + \tau$

$$\begin{cases} \hat{y} = y(t + \tau) = y(t) + \dot{y}(t)\tau, \\ \hat{\psi} = \psi(t + \tau) = \psi(t) + \dot{\psi}(t)\tau \end{cases} \quad (42)$$

и, соответственно, используя (36), (36*)

$$\begin{cases} \hat{z} = z[\hat{t}, \hat{y}, \bar{\psi}, \bar{x}_*, \bar{y}_*, \bar{z}_*, \hat{\eta}_*^O, \hat{\zeta}_*^O]; \\ \hat{\phi} = \phi[\hat{t}, \hat{y}, \bar{\psi}, \bar{x}_*, \bar{y}_*, \bar{z}_*, \hat{\eta}_*^O, \hat{\zeta}_*^O], \end{cases} \quad (43)$$

где $\hat{\eta}_*^O = \bar{\eta}_*^O(t + \tau)$, $\hat{\zeta}_*^O = \bar{\zeta}_*^O(t + \tau)$ и использованы выражения (27), (37). Формируя с учетом (42), (43) переменные $\hat{q}^O = \bar{q}^O(t + \tau)$ и $\hat{\bar{q}} = \bar{q}(t + \tau)$ (см. (35*)) и подставляя их в (35), получаем уравнения

$$\mathfrak{N}_{*j}[\hat{y}_{*j}; \hat{q}_j^O] = 0, \quad \mathfrak{N}_{*j}[\hat{y}_{*j}, \hat{y}_{pj}^O; \hat{q}_j] = 0. \quad (44)$$

для определения значений координат \hat{y}_{*j} , \hat{y}_{*j}^O (для момента $\hat{t} = t + \tau$) и далее, используя ((29)–(31), получим значения остальных координат точек \hat{K}_{*j} , \hat{K}_{*j}^O . Описанная процедура реализована авторами в виде компьютерной программы.

Определение мгновенных контактных сил колес с рельсами

Мгновенные контактные силы \vec{R}_{*j}^O , \vec{M}_{*j}^O представляют собой главный вектор и главный момент сил на контактной площадке \mathfrak{D}_{*j}^O (см. рис. 2), действующие со стороны колесной пары на рельс. Представим эти силы в локальных реперах $\{\vec{e}_{*j}^O\}$ в виде [5, с. 92]:

$$\begin{cases} \{\vec{R}_{*j}^O\} = N_{*j}^O \{\bar{\lambda}_{*j}^O\} = N_{*j}^O \begin{Bmatrix} \mu_{*j} \cos \vartheta_{*j}^O \\ \mu_{*j} \sin \vartheta_{*j}^O \\ 1 \end{Bmatrix}; \\ \{\vec{M}_{*j}^O\} = N_{*j}^O \{\bar{\lambda}_{*j}^{Oпов}\} = N_{*j}^O \begin{Bmatrix} \lambda_{1*j}^{Oпов} \\ \lambda_{2*j}^{Oпов} \\ \lambda_{3*j}^{Oпов} \end{Bmatrix}, \end{cases} \quad (45)$$

где N_{*j}^O — проекция контактной силы \vec{R}_{*j}^O

на общую нормаль в точке контакта (нормальная контактная сила); $\bar{\lambda}_{*j}^O, \bar{\lambda}_{*j}^{O_{пов}}$ — направляющие векторы контактной силы и контактного (поворотного) момента соответственно; μ_{*j} — коэффициенты трения по закону Кулона;

$$\lambda_{v*j}^{O_{пов}} = \delta_{v*j} \text{sign}(\Delta \bar{\omega}_j^O \cdot \bar{e}_{v*j})$$

$$v = 1, 2, 3, \quad (46)$$

коэффициенты поворотного трения (при $v = 1, 2$ — это коэффициенты трения качения, а при $v = 3$ — коэффициенты трения верчения [1, 5]).

Угол $\vartheta_{*j}^O = (\bar{e}_{1*j}^O, \hat{\bar{v}}_{*j}^{ck})$ определяет вектор скольжения (см. рис. 2)

$$\bar{v}_{*j}^{ck} = \Delta \bar{v}_{*j}^O = v_{*j}^{ck} \cdot \bar{t}_{*j}^O =$$

$$= v_{*j}^{ck} (\bar{e}_{1*j}^O \cos v_{*j}^O + \bar{e}_{2*j}^O \sin v_{*j}^O), \quad (47)$$

где

$$v_{*j}^{ck} = \sqrt{(\Delta \bar{v}_{*j}^O \cdot \bar{e}_{1*j}^O)^2 + (\Delta \bar{v}_{*j}^O \cdot \bar{e}_{2*j}^O)^2};$$

$$\text{tg} \vartheta_{*j}^O = \frac{(\Delta \bar{v}_{*j}^O \cdot \bar{e}_{1*j}^O)}{(\Delta \bar{v}_{*j}^O \cdot \bar{e}_{2*j}^O)}.$$

Относительные скорости $\Delta \bar{\omega}_j^O$ и $\Delta \bar{v}_{*j}^O$ при неподвижных рельсах, когда $\bar{\omega}_j^O = 0, \bar{v}_{*j}^O = 0$, будут

$$\Delta \bar{\omega}_j^O = \bar{\omega} = \bar{\omega}_C + \dot{\theta} \cdot \bar{j}, \quad \Delta \bar{v}_{*j}^O = \bar{v}_{*j}, \quad (48)$$

где $\bar{\omega}_C$ — угловая скорость собственного репера \bar{e}_C колесной пары, а $\bar{\omega}$ — угловая скорость колесной пары; $\dot{\theta}$ — угловая скорость волчкового вращения колесной пары; \bar{v}_{*j} — скорости мгновенно фиксированных точек контакта K_{*j} на колесах.

В локальных реперах \bar{e}_{*j}^O для \bar{v}_{*j} и $\bar{\omega}$ получим выражения

$$\begin{cases} \{\bar{\omega}\}_{*j}^O = \Phi \frac{T}{\bar{\beta}_{*j}^O} \Psi \Phi \{\bar{\omega}\}; \\ \{\bar{v}_{*j}\}_{*j}^O = \Phi \frac{T}{\bar{\beta}_{*j}^O} \{\bar{v}_{*j}\}_O; \\ \{\bar{v}_{*j}\}_O = \{\bar{v}_O\} + \{\dot{\bar{u}}\} + \\ + \bar{\Omega}_O \{\bar{\rho}_O + \bar{u}\} + \Psi \Phi \bar{\Omega} \{\bar{r}_{*j}\}, \end{cases} \quad (49)$$

где $\bar{\Omega}_O, \bar{\Omega}$ — матричные представления угловых скоростей

$$\{\bar{\omega}_O\} = \begin{Bmatrix} 0 \\ \dot{\psi}_O \sin \psi_O \\ \dot{\psi}_O \cos \psi_O \end{Bmatrix},$$

$$\{\bar{\omega}\} = \begin{Bmatrix} \dot{\phi} \\ \dot{\theta} + (\dot{\psi} + \dot{\psi}_O) \sin(\phi + \phi_O) \\ (\dot{\psi} + \dot{\psi}_O) \cos(\phi + \phi_O) \end{Bmatrix}, \quad (50)$$

где $\dot{\psi}_O = \frac{v_O}{R} = \frac{\dot{S}}{R}$, $\dot{\theta} = \dot{\alpha} - \Omega$, $\Omega = \frac{v_O}{r_O} = \frac{\dot{S}}{r_O}$,

$\{\bar{v}_O\} = (\dot{S}, 0, 0)$, α — отклонение угловой скорости от номинальной.

Учитывая, что

$$\{\bar{v}_{*j}\}_{*j}^O = \begin{Bmatrix} (\bar{v}_{*j} \cdot \bar{e}_{1*j}^O) \\ (\bar{v}_{*j} \cdot \bar{e}_{2*j}^O) \\ (\bar{v}_{*j} \cdot \bar{e}_{3*j}^O) \end{Bmatrix},$$

$$\{\bar{\omega}\}_{*j}^O = \begin{Bmatrix} (\bar{\omega}_j \cdot \bar{e}_{1*j}^O) \\ (\bar{\omega}_j \cdot \bar{e}_{2*j}^O) \\ (\bar{\omega}_j \cdot \bar{e}_{3*j}^O) \end{Bmatrix}, \quad (51)$$

из сравнения (49) и (51) найдем

$$\begin{cases} (\bar{v}_{*j} \cdot \bar{e}_{1*j}^O) = v_{*j\xi}; \quad (\bar{v}_{*j} \cdot \bar{e}_{2*j}^O) = \\ = v_{*j\eta} \cos \bar{\beta}_{*j}^O + v_{*j\zeta} \sin \bar{\beta}_{*j}^O; \\ (\bar{\omega} \cdot \bar{e}_{1*j}^O) = \omega_\xi; \quad (\bar{\omega} \cdot \bar{e}_{2*j}^O) = \\ = \omega_\eta \cos \bar{\beta}_{*j}^O + \omega_\zeta \sin \bar{\beta}_{*j}^O; \\ (\bar{\omega} \cdot \bar{e}_{3*j}^O) = -\omega_\eta \sin \bar{\beta}_{*j}^O + \\ + \omega_\zeta \cos \bar{\beta}_{*j}^O, \end{cases} \quad (52)$$

а равенства

$$(\bar{v}_{*j} \cdot \bar{e}_{3*j}^O) = -v_{*j\eta} \sin \bar{\beta}_{*j}^O +$$

$$+ v_{*j\zeta} \cos \bar{\beta}_{*j}^O = 0 \quad (53)$$

представляют собой первую группу уравнений неголономных связей (41).

Учитывая (52) из (47), найдем также

$$\begin{cases} v_{*j}^{\text{ck}} = \sqrt{v_{*j\zeta}^2 + (v_{*j\eta} \cos \bar{\beta}_{*j}^O - v_{*j\zeta} \sin \bar{\beta}_{*j}^O)^2}; \\ \text{tg} \vartheta_{*j}^O = \frac{v_{*j\zeta}}{v_{*j\eta} \cos \bar{\beta}_{*j}^O - v_{*j\zeta} \sin \bar{\beta}_{*j}^O}, \end{cases} \quad (54)$$

где углы $\bar{\beta}_{*j}^O$ определены выражениями (22).

Силы трения скольжения и моменты поворотного трения, определенные равенствами (45), становятся неопределенными по величине и направлению в моменты или промежутки времени, когда при контакте нет скольжения колеса по рельсу — когда $v_{*j} = 0$, $\Delta \omega_{*j} = 0$. Эта особенность, являющаяся следствием гипотезы абсолютно твердого тела и законов сухого трения Кулона, устраняется путем учета упругого взаимодействия колес с рельсами на площадках контакта $\mathcal{E}_{*j} = \mathcal{E}_{*j}^O$, то есть путем учета сил упругого проскальзывания или крива [11, 12].

В простейшем случае можно принять, что при достаточно малых значениях величин относительных скольжений колес по рельсам $|\bar{v}_{*j}^{\text{ck}}| \leq \Delta_v$, $|\bar{\omega}_{*j}^{\text{пов}}| = |(\bar{\omega}_{*j}^O \cdot \bar{e}_{3*j}^O)| \leq \Delta_\Omega$, где Δ_v , Δ_Ω — достаточно малые величины, а закон сухого трения Кулона в диапазоне скоростей $(-\Delta, +\Delta)$ доопределен по линейному закону (рис. 5).

На колесную пару со стороны рельсовых нитей действуют контактные силы $\vec{R}_{*j} = -\vec{R}_{*j}^O$ и $\vec{M}_{*j} = -\vec{M}_{*j}^O$, которые в локальных реперах $\{\bar{e}_{*j}\}$ имеют вид

$$\begin{cases} \{\vec{R}_{*j}\} = -N_{*j}^O \Psi_{0*j}^T \{E_{*j}^O\} = \\ = -N_{*j}^O \{\bar{\lambda}_{*j}\}; \\ \{\vec{M}_{*j}\} = -N_{*j}^O \Psi_{0*j}^T \{\bar{\lambda}_{*j}^{\text{пов}}\} = \\ = -N_{*j}^O \{\bar{\lambda}_{*j}^{\text{пов}}\}, \end{cases} \quad (55)$$

где

$$\begin{aligned} \{\bar{\lambda}_{*j}\} &= \Psi_{0*j}^T \{\bar{\lambda}_{*j}^O\} = \\ &= \begin{Bmatrix} \mu_{*j} \cos(\vartheta_{*j}^O - \theta_{*j}) \\ \mu_{*j} \sin(\vartheta_{*j}^O - \theta_{*j}) \\ 1 \end{Bmatrix}, \\ \{\bar{\lambda}_{*j}^{\text{пов}}\} &= \Psi_{0*j}^T \{\bar{\lambda}_{*j}^{\text{пов}O}\} \end{aligned} \quad (56)$$

— направляющие векторы контактных сил на колесной паре, а углы ϑ_{*j}^O и θ_{*j} (рис. 2) определены выражениями (54) и (25).

В путевой $O\xi\eta\zeta$ и собственной $Cx\eta\zeta$ системах координат для контактных сил \vec{R}_{*j} и \vec{M}_{*j} получим

$$\begin{cases} \{\vec{R}_{*j}\}_O = -N_{*j}^O \Phi_{\bar{\beta}_{*j}^O} \{\bar{\lambda}_{*j}^O\}; \\ \{\vec{R}_{*j}\}_C = -N_{*j}^O \Phi^T \Psi^T \Phi_{\bar{\beta}_{*j}^O}; \\ \{\bar{\lambda}_{*j}^O\} = -N_{*j}^O X_{\alpha*j} \Phi_{\bar{\beta}_{*j}^O} \{\bar{\lambda}_{*j}^O\}; \\ \{\vec{M}_{*j}\}_C = -N_{*j}^O X_{\alpha*j} \Phi_{\bar{\beta}_{*j}^O} \{\bar{\lambda}_{*j}^{\text{пов}}\}, \end{cases} \quad (57)$$

где следует учесть выражения для направляющих векторов контактных сил (45) и (56) и выражения для углов $\bar{\beta}_{*j}^O = \beta_{*j}^O + \gamma_j + \varphi_{pj}^O$, α_{*j} , β_{*j} (20)–(22*).

Моменты контактных сил \vec{R}_{*j} относительно центра C в системе $Cx\eta\zeta$ будут

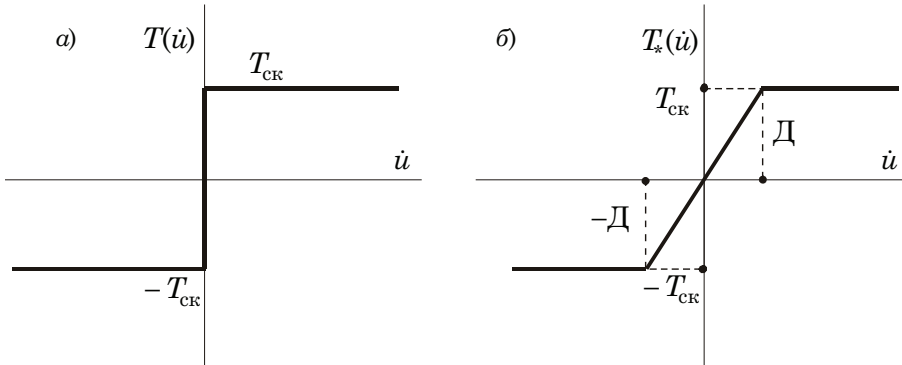


Рис. 5. Схемы сглаживания закона сухого трения Кулона

$$\{\vec{r}_{*j} \times \vec{R}_{*j}\}_C = -N_{*j}^O \vec{\mathfrak{R}}_{*j} X_{\alpha_{*j}} \Phi_{\beta_{*j}} \{\vec{\lambda}_{*j}\}, \quad (58)$$

где $\vec{\mathfrak{R}}_{*j}$ — матричное представление вектора \vec{r}_{*j} , используемое для записи векторного произведения.

Аналогично, для сил \vec{Q}_{A_j} получим

$$\begin{aligned} \{\vec{Q}_{A_j}\}_O &= \Psi \Phi \{\vec{Q}_{A_j}\}; \\ \{\vec{r}_{A_j} \times \vec{Q}_{A_j}\} &= \vec{\mathfrak{R}}_{A_j} \{\vec{Q}_{A_j}\} = \\ &= ((-1)^{j-1} b_{A_j z}, 0, (-1)^j b_{A_j x})^T. \end{aligned} \quad (59)$$

Для определения нормальных контактных сил N_{*j}^O воспользуемся уравнениями неголономных связей (41), которые перепишем в виде

$$(\vec{a}_{*j} \cdot \vec{e}_{3*j}^O) = \{\vec{e}_{3*j}^O\}^T \{\vec{a}_{*j}\} = 0 \quad (60)$$

или в путевой системе координат $O\xi\eta\zeta$ в виде

$$-\vec{a}_{*j\eta} \sin \beta_{*j}^O + \vec{a}_{*j\zeta} \cos \beta_{*j}^O = 0. \quad (60^*)$$

Ускорения \vec{a}_{*j} в путевой системе координат определим в виде

$$\begin{aligned} \{\vec{a}_{*j}\}_O &= \{\vec{a}_C\} + \\ &+ \Psi \Phi [-\vec{\mathfrak{R}}_{*j} \{\dot{\vec{\omega}}\} + \vec{\Omega}^2 \{\vec{r}_{*j}\}]. \end{aligned} \quad (61)$$

Учитывая выражения для контактных сил (57), перепишем дифференциальные уравнения движения колесной пары (12) в виде

$$\begin{cases} m\{\vec{a}_C\} = \sum_{j=1}^2 \sum_{*j} N_{*j}^O \Phi_{\beta_{*j}^O} \{\vec{\lambda}_{*j}^O\} + \\ + \sum_{j=1}^2 \Psi \Phi \{\vec{Q}_{A_j}\} + \{\vec{G}\}_O; \\ \vec{J} \{\dot{\vec{\omega}}\} + \vec{\Omega}_C \vec{J} \{\vec{\omega}\} = \\ = \sum_{j=1}^2 \sum_{*j} N_{*j}^O [\vec{\mathfrak{R}}_{*j} X_{\alpha_{*j}} \Phi_{\beta_{*j}} \{\vec{\lambda}_{*j}\} + \\ + X_{\alpha_{*j}} \Phi_{\beta_{*j}} \{\vec{\lambda}_{*j}^{\text{пов}}\}] + \\ + \sum_{j=1}^2 [\vec{\mathfrak{R}}_{A_j} \{\vec{Q}_{A_j}\} + \{\vec{M}_{A_j}\}]. \end{cases} \quad (62)$$

В уравнениях (62) не известны нормальные контактные силы N_{*j}^O . Разрешим систему (62) относительно

ускорений $\{\vec{a}_C\}$ и $\{\dot{\vec{\omega}}\}$ и подставим найденные значения в уравнения связей (60). В результате получим систему линейных алгебраических уравнений относительно N_{*j}^O в виде

$$\sum_{j=v}^2 \sum_{*v} A_{*j,*v} N_{*v}^O = B_{*j}, \quad (j=1,2; \quad *j=1,2,\dots,n_j), \quad (63)$$

где

$$\begin{aligned} A_{*j,*v} &= \frac{1}{m} \{\vec{e}_{3*j}^O\}^T \Phi_{\beta_{*v}^O} \{\vec{\lambda}_{*v}^O\} - \\ &- \{\vec{e}_{3*j}^O\}^T \Psi \Phi \vec{\mathfrak{R}}_{*j} \vec{J}^{-1} \times \\ &\times [\vec{\mathfrak{R}}_{*j} \Phi_{\beta_{*v}} \{\vec{\lambda}_{*v}\} + X_{\alpha_{*v}} \Phi_{\beta_{*v}} \{\vec{\lambda}_{*v}^{\text{пов}}\}]; \\ B_{*j} &= \{\vec{e}_{3*j}^O\}^T [-\vec{\Omega}^2 \{\vec{r}_{*j}\} + \\ &+ \{\vec{g}\}_O] + \{\vec{e}_{3*j}^O\}^T \Psi \Phi \times \\ &\times \left[\vec{J}^{-1} \vec{\Omega}_C \vec{J} \{\vec{\omega}\} + \sum_{\mu=1}^2 \left(\frac{1}{m} \{\vec{Q}_{A_\mu}\} - \right. \right. \\ &\left. \left. - \vec{J}^{-1} \vec{\mathfrak{R}}_{A_\mu} \{\vec{Q}_{A_\mu}\} + \vec{J}^{-1} \{\vec{M}_{A_\mu}\} \right) \right]. \end{aligned} \quad (64)$$

Количество уравнений (63) совпадает с количеством точек контакта колес с рельсами ($n = n_1 + n_2$). Если в процессе решения системы (63) (в сложных случаях) окажется, что какая-либо нормальная сила $N_{*j} < 0$, то эту точку контакта, то есть соответствующее уравнение из (63) следует исключить, а решение повторить.

Если оказывается, что точек контакта колеса с рельсом слишком много ($n_j > 2$), то эти точки можно сгруппировать путем осреднения по точкам на поверхности катания колеса (рельса) и боковой грани рельса (гребня колеса). Таким образом, в практических расчетах число уравнений в (63) всегда можно сделать от двух до четырех. Можно показать, что при строгом выполнении условия непротивления (безотрывности движения) (41) нормальные контактные силы будут неотрицательны ($N_{*j} \geq 0$).

Определение сил взаимодействия колесной пары с буксовыми узлами Q_{A_j} , M_{A_j} в данной статье не рассматривается.

Доопределение начальных условий

Обозначим левую часть равенства (53) через

$$\mathfrak{M}_{*j} = -v_{*j\eta} \sin \bar{\beta}_{*j}^O + v_{*j\xi} \cos \bar{\beta}_{*j}^O \quad (65)$$

и воспользуемся формулами (49) для $\{\bar{v}_{*j}\}_O = (v_{*j\xi}, v_{*j\eta}, v_{*j\zeta})^T$. Тогда уравнение неголономной связи (53) примет вид

$$\mathfrak{M}_{*j}[x_{*j}, y_{*j}, z_{*j}; \dot{S}; \phi, \psi, \dot{y}, \dot{z}, \dot{\phi}, \dot{\psi}] = 0. \quad (66)$$

Координаты x_{*j} , y_{*j} , z_{*j} мгновенно фиксированы, а уравнения (23), (34) представляют собой тождества. Следует также учесть уравнения связей (36) и их производные

$$\begin{cases} z = z[y, \psi, S(t)]; \\ \phi = \phi[y, \psi, S(t)]; \\ \dot{z} = \frac{\partial z}{\partial y} \dot{y} + \frac{\partial z}{\partial \psi} \dot{\psi} + \frac{\partial z}{\partial S} \dot{S}; \\ \dot{\phi} = \frac{\partial \phi}{\partial y} \dot{y} + \frac{\partial \phi}{\partial \psi} \dot{\psi} + \frac{\partial \phi}{\partial S} \dot{S}. \end{cases} \quad (67)$$

Принимая для начального момента времени условия, например,

$$t = 0 \Rightarrow \psi_O = 0; y_O = 0, \quad (68)$$

уравнение (66) приведем к виду

$$\mathfrak{M}_{*j}[y_{*j0}, y_{*j0}^O, S(0), \dot{S}(0); \dot{y}_O, \dot{\psi}_O] = 0, \quad (69)$$

где учтено, что время входит через дуговую координату $S = S(t)$.

В (69) можно добиться, что на каждом колесе будет по одной точке контакта (или выбрать по одной «доминирующей» точке). После этого из двух уравнений в (69) найдем согласованные значения \dot{y}_O , \dot{z}_O .

Таким образом, задача неголономной динамики колесной пары полностью определена. ■

Литература

1. Добычин И. А. Теоретическая механика с основами механики рельсовых экипажей. Екатеринбург: НПЦ «Уникум», 1998, 604 с.
2. Добычин И. А., Смольянинов А. В., Павлюков А. Э. Основы нелинейной механики рельсовых экипажей. Екатеринбург: НУУДО «Межотраслевой региональный центр», 1999, 265 с.
3. Добычин И. А., Смольянинов А. В., Юдакова Т. А. Основы нелинейной механики рельсовых экипажей // Вестник Российской академии транспорта. Курган: КГУ, 1999, № 2. С. 124–135.
4. Добычин И. А., Смольянинов А. В., Юдакова Т. А. Моделирование необрессоренных частей рельсовых экипажей на примере тележки грузового вагона // Вестник Российской академии транспорта. Курган: КГУ, 1999, № 2. С. 136–149.
5. Добычин И. А., Смольянинов А. В., Павлюков А. Э. Теоретические основы нелинейной механики рельсовых экипажей. Екатеринбург: Изд-во Г. П. Калинина, 2009, 278 с. ISBN 978-5-901487-53-2.
6. Вершинский С. В., Данилов В. Н., Челноков И. И. Динамика вагона. М.: Транспорт, 1978, 352 с.
7. Соколов М. М., Хусидов В. Д., Минкин Ю. Г. Динамическая нагруженность вагона. М.: Транспорт, 1981, 207 с.
8. Хусидов В. В., Хохлов А. А., Петров Г. И., Хусидов В. Д. Динамика пассажирского вагона и пути модернизации тележки КВЗ–ЦНИИ / Под ред. А. А. Хохлова. М.: МИИТ, 2001, 160 с.
9. Кондрашов В. М. Единые принципы исследования динамики железнодорожных экипажей в теории и эксперименте. М.: Интекст, 2001, 190 с.
10. Вериго М. Ф., Коган А. Я. Взаимодействие пути и подвижного состава / Под ред. М. Ф. Вериго. М.: Транспорт, 1986, 560 с.

11. Сакало В. И., Коссов В. С. Контактные задачи железнодорожного транспорта. М.: Машиностроение, 2004, 496 с. ISBN 5-217-03211-1.
12. Гарг В. К., Дуккипати Р. В. Динамика подвижного состава / Пер. с англ. М.: 1988, 391 с.

References:

1. Dobychin I. A. Teoreticheskaja mekhanika s osnovami mekhaniki relkovykh ekipazhej [Theoretical mechanics with the fundamentals of track vehicles' mechanics]. Ekaterinburg: NPC «Unikum», 1998, 604 s.
2. Dobychin I. A., Smoljaninov A. V., Pavljukov A. Je. Osnovy nelinejnoj mekhaniki relsovykh ekipazhej [The fundamentals of nonlinear mechanics of track vehicles]. Ekaterinburg: NUUDO «Mezhotraslevoj regional'nyj centr», 1999, 265 s.
3. Dobychin I. A., Smoljaninov A. V., Judakova T. A. Osnovy nelinejnoj mekhaniki relsovykh ekipazhej [The fundamentals of nonlinear mechanics of track vehicles] // Vestnik Rossijskoj akademii transporta. Kurgan: KGU, 1999, № 2. С. 124–135.
4. Dobychin I. A., Smoljaninov A. V., Judakova T. A. Modelirovanie neobressorenykh chastej relsovykh ekipazhej na primere telezhki gruzovogo vagona [Simulation of track vehicles' parts without buffer spring the case of freight car bogie] // Vestnik Rossijskoj akademii transporta. Kurgan: KGU, 1999, № 2. S. 136–149.
5. Dobychin I. A., Smoljaninov A. V., Pavljukov A. Je. Teoreticheskie osnovy nelinejnoj mekhaniki relsovykh ekipazhej [Theoretical fundamentals of track vehicles' nonlinear mechanics]. Ekaterinburg: Izd-vo G. P. Kalinina, 2009, 278 s. ISBN 978-5-901487-53-2.
6. Vershinskij S. V., Danilov V. N., Chelnokov I. I. Dinamika vagona [Car dynamics]. M.: Transport, 1978, 352 s.
7. Sokolov M. M., Husidov V. D., Minkin Ju. G. Dinamicheskaja nagruzhennost vagona [Dunamic car load]. M.: Transport, 1981, 207 s.
8. Husidov V. V., Hohlov A. A., Petrov G. I., Husidov V. D. Dinamika passazhirskogo vagona i puti modernizatsii telezhki KVZ–CNII [Passenger car dynamics and ways of KVZ–CNII bogie modernization] / Pod redakciej A. A. Hohlovaju M.: MIIT, 2001, 160 s.
9. Kondrashov V. M. Edinye printsipy issledovaniya dinamiki zheleznodorozhnykh ekipazhej v teorii i eksperimente [Unital research principles of track vehicles' dynamics in theory and experiment]. M.: Intekst, 2001, 190 s.
10. Verigo M. F., Kogan A. Ja. Vzaimodejstvie puti i podvizhnogo sostava [Track and rolling stock interaction] / Pod red. M. F. Verigo M.: Transport, 1986, 560 s.
11. Sakalo V. I., Kossov V. S. Kontaktnye zadachi zheleznodorozhnogo transporta [Contact problems of railway transport]. M.: Mashinostroenie, 2004, 496 s. ISBN 5-217-03211-1.
12. Garg V. K., Dukkipati R. V. Dinamika podvizhnogo sostava [Rolling stock dynamics] / Per. s angl. M.: 1988, 391 s.

Статья сдана в редакцию 31 января 2012 года

К. Кшиштошек, М. Хшан, Э. Шихта

Имитационное моделирование движения тяговых электрических машин в заданной области электроснабжения

Krzysztozek Konrad, Chrzan Marcin, Elzbieta Szycha

Motion simulation traction electrical equipment in a given region supply

Аннотация

В статье описана имитационная модель движения электрических тяговых транспортных средств на участке электроснабжения постоянным током напряжением 3 кВ. Представленные результаты автоматизированного моделирования позволяют проиллюстрировать и анализировать в режиме реального времени во всех возможных ситуациях движения такие параметры сети электроснабжения, как напряжение на движущихся на высокой скорости тяговых транспортных средствах и токовую нагрузку энергосистемы.

Ключевые слова:

электрическая тяга; высокоскоростное движение; токовая нагрузка.

Abstract

A simulation model of electrical traction vehicles motion in the given 3 kV direct current supply range have been shown in a paper. Presented computer simulation allows to illustrate and analyse in real time all possible motion situations as well as current-voltage on the route such as: constant monitoring of traction electrical vehicles running in high speed conditions, supply system capability.

Key words:

Electric traction, traction vehicles, high speed conditions, supply system capability

Введение

Основное условие конкурентоспособности железнодорожного транспорта по сравнению с другими видами — достижение минимального времени проезда между двумя конечными точками по заданному маршруту.

Достижение этой цели возможно благодаря сохранению либо увеличению скорости поездов на дороге. Для этого необходимо использовать тяговые электрические машины с большими мощностями — до 8 МВт (например, в условиях польских железных дорог) — локомотивы с трехфазными асинхронными двигателями переменного тока.

Использование полной мощности, установленной в электрических локомотивах, возможно, если система электроснабжения обеспечивает постоянное напряжения в контактной сети независимо от токовой нагрузки, зависящей от взаимного

Хшан Марцин — канд. тех. наук, доцент; факультет транспорта и электротехники Радомского государственного технического университета. Радом, Польша. E-mail: m.chrzan@pr.radom.pl.

Кшиштошек Конрад — канд. тех. наук, доцент; факультет транспорта и электротехники Радомского государственного технического университета. Радом, Польша. E-mail: k.kszysztozek@pr.radom.pl.

Шихта Эльжбета — д-р техн. наук, профессор; факультет транспорта и электротехники Радомского государственного технического университета. Радом, Польша. E-mail: e.szycha@pr.radom.pl.

Chrzan Marcin — PhD, associate professor, Faculty of Transport and Electrical Engineering, The Technical University of Radom, Radom, Poland. E-mail: m.chrzan@pr.radom.pl.

Krzysztozek Konrad — PhD, associate professor, Faculty of Transport and Electrical Engineering, The Technical University of Radom, Radom, Poland. E-mail: k.kszysztozek@pr.radom.pl.

Szycha Elzbieta — DSc, professor, Faculty of Transport and Electrical Engineering, The Technical University of Radom, Radom, Poland. E-mail: e.szycha@pr.radom.pl.

расположения движущихся по фидерной зоне транспортных средств.

В случае недостатка передаваемой на транспортное средство мощности, что характерно для системы электропитания постоянным током напряжением 3 кВ, ограничивается скорость движения поездов, что увеличивает время проезда перегонов и ведет к несоблюдению заданного расписания движения.

Для анализа характеристик движения тяговых электрических машин по перегону принята система электропитания (рис. 1), включающая четыре подстанции (A, B, C, D) и три пункта секционирования (AB, BC, CD).

Параметром, характеризующим использование полной мощности тяговым транспортным средством, является величина напряжения в точке отбора тока от контактной сети — от напряжения на токоприемнике зависят: действительная мощность двигателя, динамика движения транспортного средства, значение тягового усилия. В итоге — обеспечение заданного расписания движения.

Напряжение на пантографе зависит от тока, получаемого транспортным средством и всеми остальными транспортными средствами, которые находятся в фидерной зоне.

Исходные уравнения, описывающие данную систему:

— дифференциальные уравнения движения транспортного средства:

$$\frac{dV_p}{dt} = \frac{1}{k \cdot m_p} [F_p(V_p; U_p) - W_z(V_p) - W_d], \quad (1)$$

где V_p — скорость транспортного средства; U_p — напряжение на пантографе;

F_p — сила тяги; m_p — масса транспортного средства; k — коэффициент вращающихся масс; W_z — основные сопротивления движению поезда; W_d — дополнительные сопротивления движению поезда;

— уравнения по второму закону Кирхгофа, описывающие распределение токов и напряжений между подстанциями:

$$U_p = \sum_{i=1}^n E_i - R_A \sum_{j=1}^m I_j - \sum_{k=1}^p U_k, \quad (2)$$

где $\sum_{i=1}^n E_i$ — сумма напряжений на тяговых подстанциях; $\sum_{j=1}^m I_j$ — сумма токов фидеров; R_A — внутреннее активное сопротивление тяговой подстанции; $\sum_{k=1}^p U_k$ — сумма падений напряжений в сети;

— тяговые характеристики транспортных средств:

$$F_p = f(V_p; U_p). \quad (3)$$

Достаточно сложные уравнения по законам Кирхгофа сведены для каждой подстанции к матричной схеме:

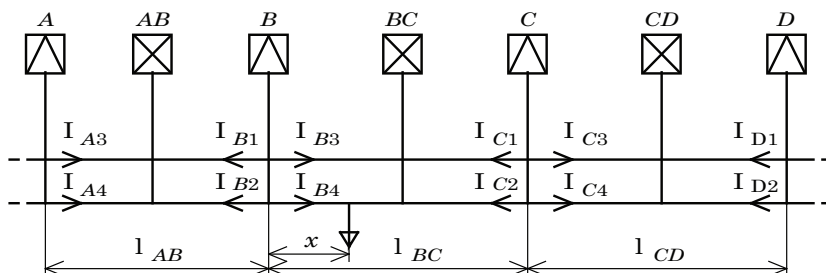


Рис. 1. Система питания транспортного средства с несколькими взаимодействующими тяговыми подстанциями

$$\mathbf{E} = \mathbf{A}\mathbf{X} + \mathbf{B}\mathbf{Y}, \quad (4)$$

где \mathbf{E} — матрица напряжений на тяговых подстанциях; \mathbf{A} и \mathbf{B} — матрицы сопротивлений элементов электрической цепи и источников энергии — тяговых подстанций; \mathbf{X} — матрица напряжений на токоприемниках; \mathbf{Y} — матрица токов.

Результаты имитационного моделирования

Процесс имитационного моделирования выполнялся на участке линии с идеальным горизонтальным и вертикальным профилем длиной 60 км. На участке находятся четыре тяговые подстанции, расположенные через каждые 20 км с постами секционирования по середине каждой фидерной зоны.

Учитывались также постоянные токи нагрузки с соседних участков $J = 500$ А.

Исходные напряжения подстанций A, B, C, D приняты равными 3,3 кВ, внутренние активные сопротивления подстанций — 0,12 Ом; удельное активное сопротивление контактной сети $r_g = 0,08$ Ом/км; удельное активное сопротивление рельсовой сети $r_d = 0,05$ Ом/км.

В первом случае для проверки эффективности работы системы питания и движущихся транспортных средств принято движение двух одинаковых

транспортных средств с постоянным отбором тока $J = 1$ кА, движущихся в противоположном направлении с постоянной скоростью. Результаты имитационного моделирования представлены на рис. 2.

Во втором случае была произведена имитация движения поезда весом 550 тонн с локомотивом ЕР-09 мощностью $P = 3$ МВт, принята стабилизация скорости в пределах $V = 160\text{--}140$ км/ч. Поезд трогается с места возле подстанции A и идет к подстанции D . Результаты имитационного моделирования представлены на рис. 3 и 4.

В третьем случае производилось имитационное моделирование движения пяти пар поездов весом 550 т с локомотивами ЕР-09 мощностью $P = 3$ МВт, принята стабилизация скорости в пределах $V = 160\text{--}140$ км/ч. Первый поезд трогается с места возле подстанции A и едет в направлении подстанции D ($A\text{--}D$). За ним каждые 5 мин выезжают поезда с начальной скоростью $V_0 = 0$. В противоположном направлении ($D\text{--}A$) одновременно выезжают поезда, также каждые 5 мин, с максимальной скоростью $V_{\max} = 160$ км/ч.

Токи нагрузки с соседних участков от подстанций A и D приняты равными нулю. Результаты имитационного моделирования представлены на рис. 5–10.

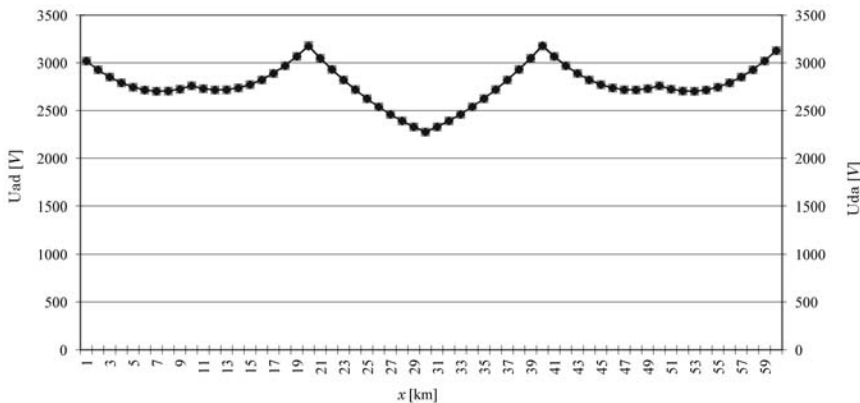


Рис. 2. Напряжение на пантографе двух транспортных средств в функции их расстояния от подстанции A

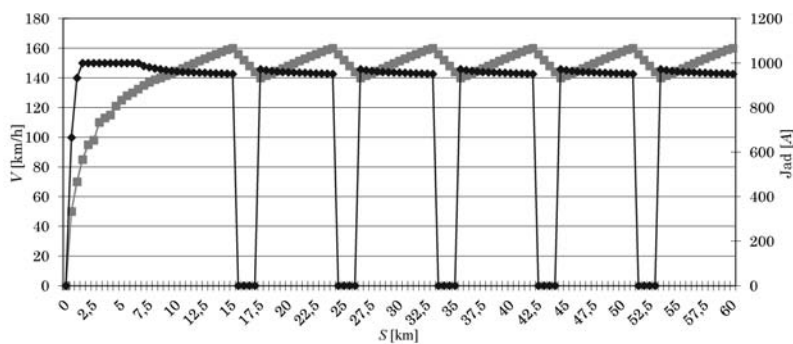


Рис. 3. Скорость движения и отбор тока локомотивом EP-09

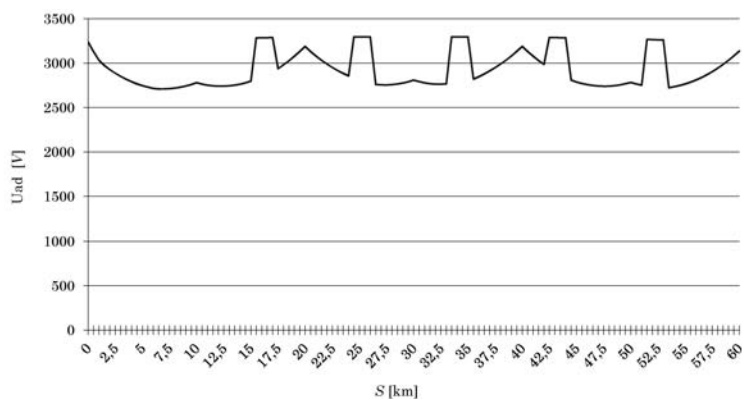


Рис. 4. Напряжение на пантографе локомотива EP-09 в функции расстояния от подстанции А

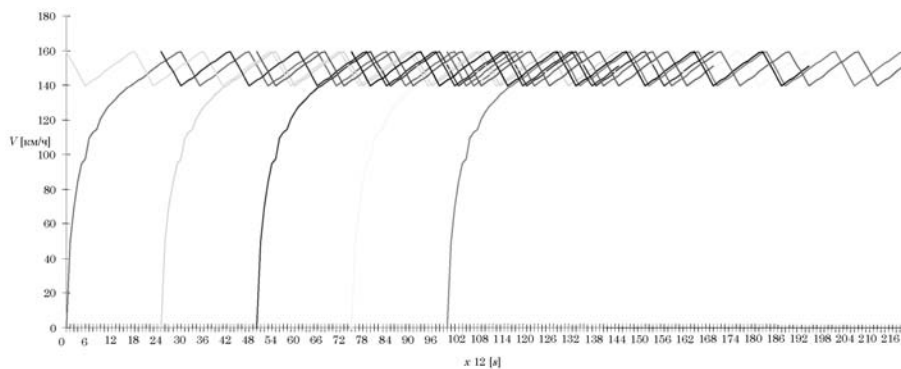


Рис. 5. Скорости движения поездов в функции времени

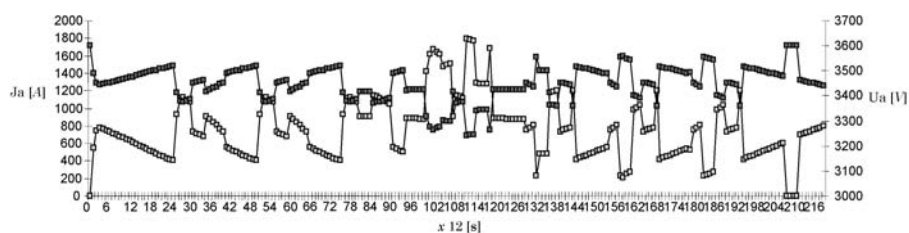


Рис. 6. Ток и напряжение на шинах подстанции А

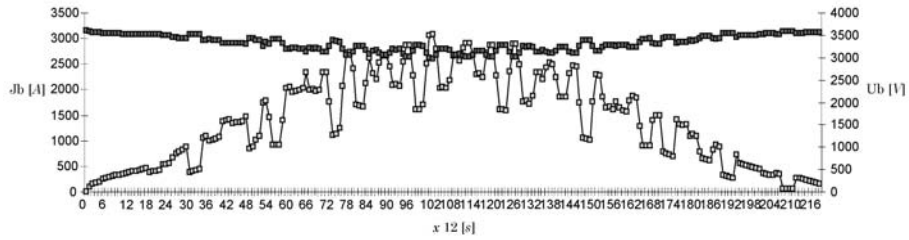


Рис. 7. Ток и напряжение на шинах подстанции В

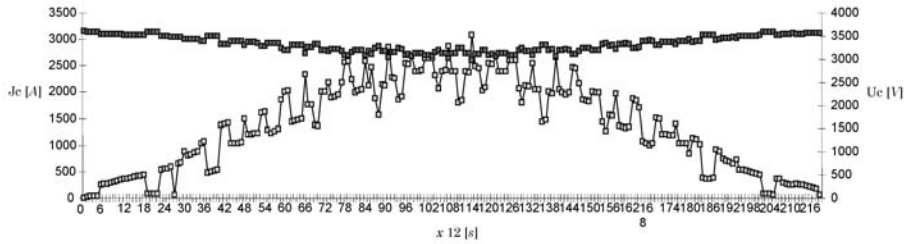


Рис. 8. Ток и напряжение на шинах подстанции С

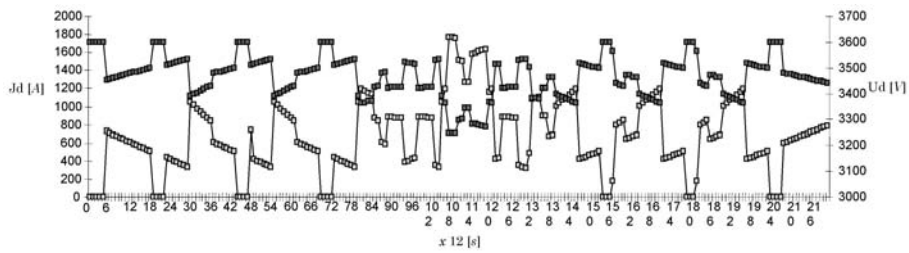


Рис. 9. Отбор тока и напряжение на рельсах подстанции D

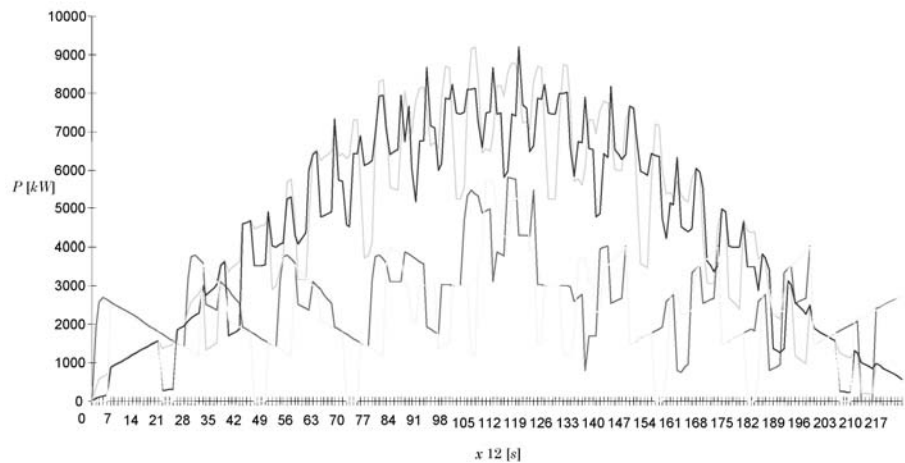


Рис. 10. Отбор мощности с каждой подстанции в функции времени
 — Pa; — Pb; — Pc; — Pd

Выводы

Предложенная нами компьютерная модель включает:

- возможность произвольного расположения подстанций и постов секционирования на линии с разными параметрами (системы питания),
- возможность принятия произвольного вертикального и горизонтального профиля трассы (сопротивление движению),
- имитацию движения произвольных тяговых транспортных средств, приспособленных к работе в тяговой системе электроснабжения напряжением 3 кВ, с учетом тяговых характеристик.

Предложенная методика может применяться для анализа энергетических и динамических характеристик многосистемных поездов, таких как итальянские ETR, немецкие ICE-3, французские TGV, Eurostar.

Полученные результаты подтверждают, что при помощи пред-

ставленной имитационной модели можно реализовать:

- постоянный контроль параметров движения электрических тяговых поездов в условиях больших скоростей,
 - оценку эффективности использования системы электроснабжения.
- Представленная математическая модель может быть использована:
- для проектирования систем электроснабжения железных дорог;
 - имитации движения поездов в аварийных условиях (например, при отключении одной из подстанций).

Следует отметить, что применение предложенной расчетной модели должно сопровождаться не только комплексом технических мероприятий по усилению системы электроснабжения, но и решениями схемно-режимной обстановки, включая совершенствование систем режимной автоматики [14, 15]. ■

Литература

1. Подоски Е., Кацпшак Е., Мыслек Е. Принципы электрической тяги. WKiŁ, Варшава, 1981.
2. Кацпшак Е. Теория электрической тяги. WPW, Варшава, 1991.
3. Kacprzak J., Krzysztozek K. Steuerung Mit Elektrischen Traktionsfahrzeugen Bei Berucksichtigung Des Spannungspegels In Fahrleitungsnetz. University of Zilina Transcom'97. June 25–26, 1997.
4. Исаев И. П. и др. Теория электрической тяги. М.: Транспорт, 1995.
5. Розенфельд В. Е., Исаев И. П., Сидоров Н. Н. Теория электрической тяги. М.: Транспорт, 1995. 294 с.
6. Осипов С. И. Основы тяги поездов. — М.: Транспорт, 2000.
7. Руднев В. С., Френкель С. Я. Теория локомотивной тяги: учебник для вузов ж.-д. тр-та. М.: Маршрут, 2005. 448 с.
8. Деев В. В., Ильин Г. А., Афонин Г. С. Тяга поездов: уч. пособие для вузов / Под ред. В. В. Деева. М.: Транспорт, 1987. 264 с.
9. Люфт М., Шихта Э. Математическая модель мультрезонансного инвертора ZVS DC/DC, повышающего напряжение // Вестник МИИТ, № 17. С. 74–86.
10. Шихта Э. Имитационная модель мультрезонансного инвертора ZVS DC/DC типа SEPIC: Труды VIII науч.-практ. конф. «Безопасность движения поездов» / М.: МИИТ, 2007. V. 31–34.
11. Шихта Э. Свойства резонансного инвертора ZVS класса E // Вестник МИИТ, № 17. С. 66–73.
12. Szychta E. Zero voltage switched multiresonant converters — analysis and design. Zilinska Univerzita v Zilinie, 2008.
13. Luft M., Szychta E., Szychta L. Method of designing ZVS boost converter, Proceedings of the 13th International Power Electronics and Motion Control Conference, 1–3 September 2008, Poznań — Poland. P. 478–482.
14. Хшан М., Кшиштошек К., Шихта Э. Возможность использования телекоммуникации третьего поколения 3G в железнодорожных беспроводных гетерогенных сетях // Вестник УрГУПС, № 4, 2011. — С. 45–50. ISSN 2079-0392.

15. Корнашевски М., Хшан М., Новаковски В. ETCS как способ унификации систем управления железнодорожным движением в Польше и в Европе // Вестник УрГУПС, 2010, № 4. — С. 46–54. ISSN 2070-0392.

References

1. Podoski E., Kacpshak E., Myslek E. Printsipy elektricheskoy tjagi [Electrical haulage principles] WKiŁ Varshava 1981.
2. Kacpshak E. Teorija elektricheskoy tjagi. [Electrical haulage theory] WPW Varshava 1991,
3. Kacprzak J., Krzysztozek K. Steuerung Mit Elektrischen Traktionsfahrzeugen Bei Berucksichtigung Des Spannungspegels In Fahrleitungsnetz. University of Zilina Transcom'97. June 25–26, 1997.
4. Isaev I. P. i dr. Teorija elektricheskoy tjagi. [Electrical haulage theory] M.: Transport, 1995.
5. Rozenfed V.E, Isaev I. P., Sidorov N. N. Teorija elektricheskoy tjagi. [Electrical haulage theory] M.: Transport, 1995. 294 s.
6. Osipov S. I. Osnovy tjagi poezdov [Principles of train haulage]. — M.: Transport, 2000,
7. Rudnev B. C., Frenkel S. Ja. Teorija lokomotivnoj tjagi [Theory of locomotive's haulage]: uchebnik dlja vuzov zh. d. tr-ta. M.: Marshrut, 2005. 448 s.
8. Deev V. V., Iljin G. A., Afonin G. S. Tjaga poezdov [Haulage of trains]: uch. posobie dlja vuzov / Pod red. V. V. Deeva. M.: Transport, 1987. 264 s.
9. Ljuft M., Shihta Je. Matematicheskaja model multirezonansnogo invertora ZVS DC/DC, povyshajushchego naprjazhenie [Mathematical model of multi-resonance inverter ZVS DC/DC, which increases voltage] // Vestnik MIIT, № 17. S. 74–86.
10. Shihta Je. Imitatsionnaja model multirezonansnogo invertora ZVS DC/DC tipa SEPIC [Simulation model of multi-resonance inverter ZVS DC/DC of SEPIC type]: Trudy VIII nauch.-prakt. konf. «Bezopasnost' dvizhenija poezdov» / M.: MIIT, 2007. V. 31–34.
11. Shihta Je. Svoystva rezonansnogo invertora ZVS klassa E [Characteristics of resonance inverter ZVS of E class] // Vestnik MIIT, № 17. S. 66–73.
12. Szychta E. Zero voltage switched multiresonant converters — analysis and design. Zilinska Univerzita v Zilinie, 2008.
13. Luft M., Szychta E., Szychta L. Method of designing ZVS boost converter, Proceedings of the 13th International Power Electronics and Motion Control Conference, 1–3 September 2008, Poznań — Poland. P. 478–482.
14. Hshan M., Kshishtoshek K., Shihta Je. Vozmozhnost ispolzovaniya telekommunikatsii tretjego pokolenija 3G v zheleznodorozhnykh besprovodnykh geterogennykh setjakh [Use of third generation 3G telecommunications in rail heterogenetic wireless networks] // Vestnik UrGUPS, № 4, 2011. — S. 45–50. ISSN 2079-0392.
15. Kornashevski M., Hshan M., Novakovski V. ETCS kak sposob unifikacii sistem upravlenija zheleznodorozhnym dvizheniem v Polshe i v Evrope [ETCS as a method of systems' unification of controlling train movement in Poland and Europe] // Vestnik UrGUPS, 2010, № 4. — S. 46–54. ISSN 2070-0392.

Статья сдана в редакцию 29 января 2012 года

*Редакция благодарит
А. А. Косякова, канд. техн. наук
за помощь в работе над статьей*

ОРГАНИЗАЦИЯ И ЛОГИСТИКА

Д. И. Кочнева

УДК 658.71 (043)

Организация движения порожнего контейнеропотока в региональной контейнерной транспортно-логистической системе

D. I. Kochneva

UDC 658.71 (043)

Organization of empty container flow traffic in regional container transport-logistic system

Аннотация

Представлена имитационная модель региональной контейнерной транспортно-логистической системы и рассмотрены ее возможности для выработки управленческих решений по вопросам организации движения потока порожних контейнеров.

На основе экспериментальных исследований обоснован наиболее эффективный порядок распределения контейнеропотока между терминалами региона. Предложенные управленческие решения позволяют сократить порожний пробег контейнеров и повысить их оборачиваемость.

Подчеркивается, что для осуществления координации движения контейнеропотоков в каждом регионе должен быть создан системный интегратор.

Ключевые слова:

транспортно-логистическая система, контейнерные перевозки, имитационное моделирование, принятие решений.

Abstract

Simulation model of regional container transport-logistic system is offered and possibilities for managerial decisions on empty container flow traffic organization are considered.

On the basis of pilot researches the most effective way of container flow distribution between region's terminals is proved. The offered managerial decisions let to decrease empty run of containers and to increase their turnover.

It is pointed out that for container flow management there should be created a system integrator in each region.

Key words:

transport-logistic system, container traffic, simulation study, decision-making

Контейнерные перевозки позволяют максимально унифицировать и оптимизировать процесс грузоперевозки, обеспечить сохранность перевозимых грузов. Поэтому объемы контейнерных перевозок в России ежегодно растут в среднем на 20 % [1].

Лидером российского контейнерного рынка является компания «ТрансКонтейнер», обладающая собственными контейнерными терминалами, парком универсальных контейнеров и подвижным составом. Однако о ее монопольном положении говорить нельзя. В ходе структурной реформы железнодорожного транспорта были созданы условия для появления большого числа независимых контейнерных операторов, частных контейнерных терминалов и экспедиторов. То есть можно утверждать, что в России сложился и функционирует рынок контейнерных перевозок.

Дарья Ивановна Кочнева — аспирант; кафедра «Мировая экономика и логистика» Уральского государственного университета путей сообщения; Екатеринбург, Россия. E-mail: dana_rich@mail.ru.

Darja I. Kochneva — Ph. D. student; «Logistics and Commerce» chair of the Ural State University of Railway Transport, Ekaterinburg, Russia. E-mail: dana_rich@mail.ru.

Множество компаний, осуществляющих деятельность по организации контейнерных перевозок на территории региона, а также технические средства и объекты транспортной инфраструктуры в совокупности образуют систему. Понятие «региональная контейнерная транспортно-логистическая система» (РКТЛС) приведено в [2, 3].

Организация контейнерной транспортно-логистической системы в каждом регионе обладает своими особенностями и зависит от характера производства и потребления грузов в регионе, числа и производственной мощности существующих в регионе контейнерных терминалов и др.

Рассмотрим особенности организации движения контейнеропотока в РКТЛС на примере Свердловской области.

Одной из основных организационных проблем РКТЛС Свердловской области является значительный перевес объемов выгрузки грузов в 40-футовых контейнерах над погрузкой. Проблема усугубляется тем, что, в основном, грузы приходят в регион в контейнерах, не принадлежащих ОАО «ТрансКонтейнер», следовательно, их погрузка может осуществляться только в обратном направлении, то есть к месту дислокации собственника контейнера. Порожня отправляя контейнеров из региона не всегда экономически оправдана из-за большой дальности перевозки. В результате контейнеры длительное время простаивают в регионе в ожидании обратного груза.

Наибольший объем выгрузки прибывших в регион контейнеров приходится на терминал «ТрансКонтейнер», который имеет статус места общего пользования и принимает контейнеры всех собственников. Однако он не имеет достаточной емкости для хранения контейнеров, поэтому после выгрузки они частично уходят на другие терминалы — ЗАО «Урал-контейнер» и ООО «Модуль».

Терминал ЗАО «Урал-контейнер» обслуживает только контейнеры, не принадлежащие ОАО «ТрансКонтейнер», и обладает возможностью их длительного хранения и накопления на площадках, то есть выполняет функции контейнерного депо.

Терминал ООО «Модуль» характеризуется наибольшими объемами погрузки 40-футовых контейнеров. И, в отличие от других терминалов, он не только отправляет излишние порожние контейнеры в другие регионы, но и принимает их извне под загрузку. Это объясняется тем, что у терминала нет возможности для длительного хранения порожних контейнеров с целью их обратной загрузки и поэтому он вынужден от них отказываться.

Итак, ввиду сложившейся в Свердловской области структуры производства и потребления, а также неразвитости терминальной инфраструктуры, в регионе существует проблема избытка порожних 40-футовых контейнеров.

Эту проблему можно решить, установив интеграционные связи между участниками регионального контейнерного рынка, что позволит более эффективно организовать контейнеропоток, сократить порожний пробег контейнеров и повысить их оборачиваемость. Ускорение оборота контейнера, в свою очередь, повышает экономическую эффективность контейнерных перевозок [4].

Для поиска эффективных решений по организации движения контейнеропотока в РКТЛС была разработана имитационная модель [3, 5]. Она отображает процесс движения контейнеропотока от момента его поступления на терминалы РКТЛС до выбытия из системы. При этом учитываются ограничения производственной мощности терминалов региона, особенности распределения контейнеров разных собственников между терминалами, годовые темпы роста, сезонные и суточные колебания объемов потока.

В модели порядок распределения порожних контейнеров задан параметром γ'_{uv} — доля совокупного объема u -го вида порожних контейнеров, поступающих на v -й терминал после выгрузки от клиентов.

Фактические значения параметра γ'_{uv} и среднесесячный объем поступления контейнеропотока на терминалы региона при существующем порядке организации его движения приведены в таблице 1.

Итак, проигрывая на модели различные сценарии доли контейнеропотока γ'_{uv} , можно отыскать варианты, позволяющие повысить объем погрузки контейнеров, снизить их порожний пробег и простой в РКТЛС.

Рассмотрим две ситуации: при отсутствии интеграции потоков (примем, что контейнеры собственности «ТрансКонтейнер» могут поступать только на его терминал) и при наличии интеграции потоков (контейнеры могут поступать на любой терминал, вне зависимости от их собственности).

Найдем предельный уровень поступления порожних контейнеров на каждый терминал в соответствии с их техническими возможностями.

Терминал «ТрансКонтейнер» перерабатывает 100 % своих контейнеров

и частично контейнеры других собственников.

При объеме поступления на терминал свыше 24 % совокупного потока порожних частных 40-футовых контейнеров исчерпываются возможности повышения объемов их погрузки, увеличивается простой порожних контейнеров на терминале (рис. 1).

При объеме поступления на терминал свыше 44 % потока происходит затаривание терминала, в связи с чем работоспособность терминала снижается (рис. 2).

Рассмотрим, на какую величину можно снизить приток порожних контейнеров собственности «ТрансКонтейнер» на терминал для отправки их на другие терминалы региона (рис. 3).

Эксперимент показал, что объем поступления порожних контейнеров собственности «ТрансКонтейнер» можно снизить до 75 %. При дальнейшем уменьшении этой доли возникнет дефицит контейнеров и сократятся объемы погрузки.

Таким образом, терминал способен принять до 44 % потока порожних 40-футовых контейнеров других собственников. Однако во избежание риска затаривания терминала и обеспечения его бесперебойной

Таблица 1

Движение контейнеропотока 40-футовых контейнеров в РКТЛС

Терминал	Поступление порожних контейнеров на терминалы		Простой в системе на терминалах	Выбытие груженых контейнеров из РКТЛС	Выбытие порожних контейнеров из РКТЛС	γ'_{3v}	γ'_{5v}
	от клиентов после выгрузки	из других регионов				контейнеры парка «ТрансКонтейнер»	контейнеры др. собственников
«Транс Контейнер»	602	0	0	112	490	1	0,182
«Урал-контейнер»	530	0	252	38	240	0	0,317
«Модуль»	503	275	98	456	224	0	0,301
Другие	234	0	67	21	146	0	0,200
Всего	1869	275	417	627	1100	1	1



Рис. 1. Зависимость объемов погрузки и простоя порожних контейнеров от доли их поступления на терминал «ТрансКонтейнер»

— простой порожних контейнеров на терминале;
— погрузка порожних контейнеров

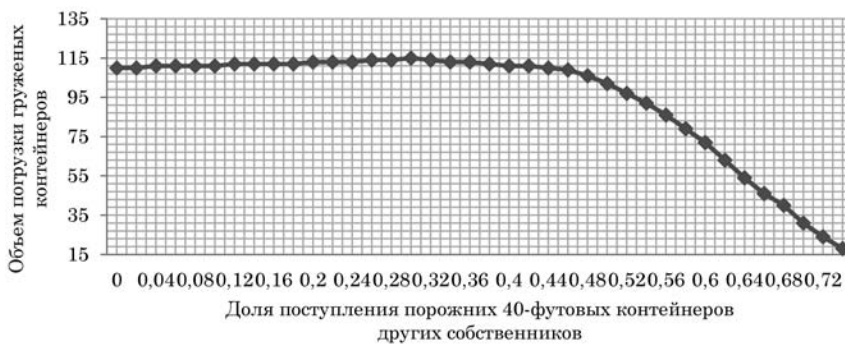


Рис. 2. Зависимость объемов погрузки груженых контейнеров от доли поступления на терминал «ТрансКонтейнер» порожних контейнеров других собственников

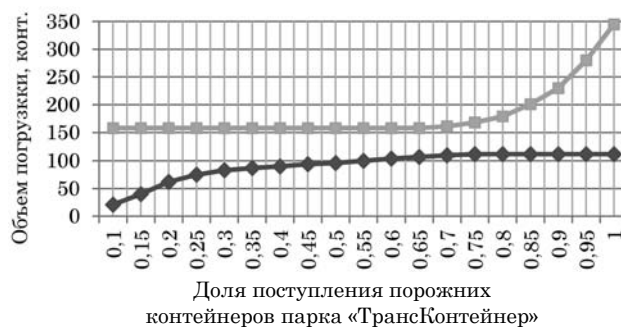


Рис. 3. Зависимость объемов погрузки груженых контейнеров от доли поступления на терминал порожних контейнеров парка «ТрансКонтейнер»

— погрузка груженых контейнеров собственности «ТрансКонтейнер»;
— погрузка порожних контейнеров собственности «ТрансКонтейнер»

работы следует ограничить прием порожних контейнеров других собственников до 24 %. При этом существует возможность для перераспределения на другие терминалы 15 % потока контейнеров собственности «ТрансКонтейнер».

Аналогичные численные эксперименты были проведены для терминалов «Урал-контейнер» и «Модуль».

В результате было установлено, что терминал ЗАО «Урал-контейнер» способен принять до 55 % 40-футовых порожних контейнеров. В настоящее время терминал принимает около 32 % потока (см. таблицу 1), следовательно, существует резерв для повышения этой доли.

Терминал ООО «Модуль» может принять до 45 % потока порожних контейнеров других собственников после их выгрузки в регионе.

С увеличением этой доли происходит затачивание терминала, объемы переработки контейнеров снижаются. При этом установлено, что увеличение притока на терминал порожних контейнеров других собственников из региона практически не способно компенсировать их прибытие под погрузку извне (рис. 4).

Однако, допуская возможность оттока 15 % потока порожних контейнеров «ТрансКонтейнер» на терминал «Модуль», можно почти вдвое снизить приток порожних контейнеров из других регионов (рис. 5).

Далее при установленных пределах вариации доли поступления порожних контейнеров для каждого терминала были изучены различные варианты организации распределения потока (таблица 2). Доли распределения контейнеров γ'_{uv}

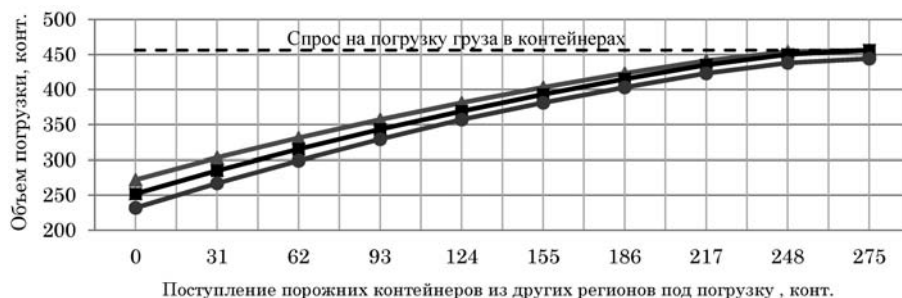


Рис. 4. Зависимость погрузки грузевых контейнеров терминалом «Модуль» от величины поступления на терминал порожних контейнеров других собственников
 ▲ — погрузка при доле потока 40 %; ■ — погрузка при доле потока 30 %; ● — погрузка при доле потока 20 %



Рис. 5. Зависимость погрузки грузевых контейнеров терминалом «Модуль» от величины поступления на терминал порожних контейнеров собственности «ТрансКонтейнер»
 ▲ — погрузка при отсутствии притока контейнеров «ТрансКонтейнер»
 ■ — погрузка при потоке 15 % контейнеров «ТрансКонтейнер»

в таблице заданы матрицами (γ'_{u1} ; $\gamma'_{uv+1}\dots$), где v — порядковые номера терминалов (1 — терминал «Транс-Контейнер», 2 — терминал «Урал-контейнер», 3 — терминал «Модуль», 4 — прочие).

В ходе сравнения вариантов было установлено, что наибольший объем потока порожних контейнеров других собственников (45 %) целесообразно направить на терминал «Урал-контейнер», разгрузив при этом площадки терминалов «Модуль» и «Транс-Контейнер». В этом случае можно повысить совокупный объем погрузки груженых контейнеров не увеличивая общего простоя и выбытия порожних контейнеров (табл. 2, строка 11).

Если можно подать контейны «ТрансКонтейнер» на терминалы других собственников, то следует на-

править 25 % потока под погрузку на терминал «Модуль», тем самым сократив как приток порожних контейнеров из других регионов, так и их порожнее выбытие в другие регионы (табл. 2, строка 19).

Таким образом, имитационная модель региональной контейнерной транспортно-логистической системы позволяет вырабатывать управленческие решения, направленные на повышение эффективности как отдельных контейнерных терминалов региона, так и системы в целом.

При существующих объемах контейнерооборота в регионе предложенные решения позволяют улучшить использование контейнеров и сократить их порожний пробег. А в перспективе, с учетом быстрого роста контейнерных перевозок, перераспределение

Таблица 2

Сравнение вариантов организации распределения порожнего контейнеропотока

Вариант решения $\gamma'_{3в}$		Доли распределения порожнего потока		Поступление порожних контейнеров из других регионов	Простой в системе на терминалах	Выбытие груженых контейнеров из РКТЛС	Выбытие порожних контейнеров из РКТЛС
		$\gamma'_{5в}$					
Фактическое значение		(18;32;30;20)	(1;0;0;0)	275	417	627	1100
Экспериментальные данные	1	(0;40;40;20)	(1;0;0;0)	275	441	628	1089
	2	(0;45;35;20)	(1;0;0;0)	275	525	630	1003
	3	(0;50;30;20)	(1;0;0;0)	275	611	630	917
	4	(5;35;40;20)	(1;0;0;0)	275	355	629	1174
	5	(5;40;35;20)	(1;0;0;0)	275	440	630	1088
	6	(5;45;30;20)	(1;0;0;0)	275	515	641	1002
	7	(5;50;25;20)	(1;0;0;0)	275	526	641	991
	8	(10;30;40;20)	(1;0;0;0)	275	272	627	1259
	9	(10;35;35;20)	(1;0;0;0)	275	345	640	1173
	10	(10;40;30;20)	(1;0;0;0)	275	430	641	1087
	11	(10;45;25;20)	(1;0;0;0)	275	417	641	1100
	12	(10;50;20;20)	(1;0;0;0)	275	501	626	1031
	13	(15;30;35;20)	(1;0;0;0)	275	262	637	1259
	14	(15;35;30;20)	(1;0;0;0)	275	345	640	1173
	15	(15;40;25;20)	(1;0;0;0)	275	324	640	1194
	16	(20;30;30;20)	(1;0;0;0)	275	262	637	1259
	17	(25;35;20;20)	(1;0;0;0)	275	245	624	1289
	18	(10;45;25;20)	(80;0;20;0)	210	417	641	1060
	19	(10;45;25;20)	(75;0;25;0)	170	417	641	995
	20	(10;45;25;20)	(70;0;30;0)	130	417	601	955

порожних контейнеров позволит сохранить работоспособность терминалов без значительных капиталовложений.

Для осуществления управления движением потоков в каждом регионе должен быть создан координирующий орган — интегратор РКТЛС.

В качестве такого системного интегратора может выступать региональный логистический центр, созданный на основе партнерских соглашений между участниками рынка. Цель образования такой структуры — не получение прибыли, а достижение максимального

синергетического эффекта от функционирования системы в целом и на этой основе повышение доходности каждого входящего в нее хозяйствующего субъекта.

Интегральный подход к организации взаимодействия элементов транспортно-логистической системы является ключевым для многих теоретических исследований [6–8].

Предложенная автором имитационная модель региональной контейнерной транспортно-логистической системы может стать удобным практическим инструментом для реализации функций интегратора. ■

Литература

1. Шлыков Д. Затянуть транспортный узел // Деловой квартал. Екатеринбург. 2010. № 15 (731).
2. Югова (Кочнева) Д. И. Моделирование продолжительности логистических цепей при организации контейнерных перевозок // Вестник УрГУПС. 2010. № 4. С. 72–81. ISSN 2079-0392.
3. Корнилов С. Н., А. Н. Рахмангулов, Фридрихсон О. В. Обоснование экономической целесообразности ускорения контейнерных перевозок металлопроката // Транспорт Урала. 2012. № 1 (32). С. 25–28. ISSN 1815-9400.
4. Кочнева (Югова) Д. И., Сай В. М. Имитационная модель региональной контейнерной транспортно-логистической системы // Вестник РГУПС. 2012. № 1. С. 46–50.
5. Югова (Кочнева) Д. И., Сизый С. В., Сай В. М. Имитационная модель контейнерного терминала — элемента региональной транспортно-логистической сети // Транспорт Урала. 2011. № 2 (29). С. 31–38. ISSN 1815-9400.
6. Кочнева (Югова) Д. И., Сай В. М. Повышение эффективности работы контейнерного терминала на основе имитационного моделирования // Транспорт Урала. 2011. № 4 (31). С. 35–42. ISSN 1815-9400.
7. Резер С. М. Логистические центры как организационная основа новых форм взаимодействия // Железнодорожный транспорт. 2007. № 6. С. 44–47. ISSN 0044-4448.
8. Кириллова А. Г. Перспективы Транссибирской магистрали на основе сети логистических контейнерных центров // Транспорт: наука, техника, управление. 2009. № 1. С. 20–22. ISSN 0256-1914.
9. Сергеев В. И., Прокофьева Т. А., Лопаткин О. М. Терминальные комплексы и логистические центры как стратегические точки роста экономики России // Логистика сегодня. 2005. № 1. С. 28–42.

References:

1. Shlykov D. Zatyanut transportnyj uzol [To tighten transport node] // Delovoj kvartal. Ekaterinburg. 2010. № 15 (731).
2. Jugova (Kochneva) D. I. Modelirovanie prodolzhitelnosti logisticheskikh tsepej pri organizatsii kontejnernykh perevozok [Simulation of logistics chains time span when organizing container transportation] // Vestnik UrGUPS. 2010. № 4. S. 72–81. ISSN 2079-0392.
3. Kornilov S. N., A. N. Rakhmangulov, Fridrikhson O. V. Obosnovanie ekonomicheskoy tselesoobraznosti uskoreniya kontejnernykh perevozok metalloprokata [Economic feasibility study of container transportation expediting of rolled metal products] // Transport Urala. 2012. № 1 (32). S. 25–28. ISSN 1815-9400.

4. Kochneva (Jugova) D.I., Saj V.M. Imitatsionnaja model regionalnoj kontejnernoj transportno-logisticheskoy sistemy [Simulation model of regional container transport and logistics system] // Vestnik RGUPS. 2012. № 1. S. 46–50.
5. Jugova (Kochneva) D.I., Sizyj S.V., Saj V.M. Imitatsionnaja model kontejnernogo terminala — elementa regionalnoj transportno-logisticheskoy seti [Simulation model of container terminal — the element of regional transport and logistics network] // Transport Urala. 2011. № 2 (29). S. 31–38. ISSN 1815-9400.
6. Kochneva (Jugova) D.I., Saj V.M. Povyshenie effektivnosti raboty kontejnernogo terminala na osnove imitatsionnogo modelirovaniya [Increasing operational efficiency of container terminal on the basis of simulation modeling] // Transport Urala. 2011. № 4 (31). S. 35–42. ISSN 1815-9400.
7. Rezer S.M. Logisticheskie tsentry kak organizatsionnaja osnova novykh form vzaimodejstviya [Logistics centres as organizational basis of new modes of interaction] // Zheleznodorozhnyj transport. 2007. № 6. S. 44–47. ISSN 0044-4448.
8. Kirillova A.G. Perspektivy Transsibirskoj magistrali na osnove seti logisticheskikh kontejnernykh tsentrov // Transport: nauka, tehnika, upravlenie. 2009. № 1. S. 20–22. ISSN 0256-1914.
9. Sergeev V.I., Prokof'eva T.A., Lopatkin O.M. Terminal'nye komplekсы i logisticheskie tsentry kak strategicheskie tochki rosta ekonomiki Rossii // Logistika segodnja. 2005. № 1. S. 28–42.

Статья сдана в редакцию 3 февраля 2012 года

УДК 656.222.04

А. А. Чеботаев, А. Я. Калиниченко, И. М. Кийченко

Топливо-энергетические ресурсы в сфере обеспечения пассажирских услуг

UDC 656.222.04

A. A. Chebotaev, A. Ya. Kalinichenko, I. M. Kiychenko

Fuel and energy resources supply for passenger services

Аннотация

Рассматривается доступность пассажирских услуг для населения как гарантированный выбор любого вида транспорта по умеренной стоимости, зависящей, в частности, от среднедушевых доходов и от расходов энергоресурсов на каждого пассажира.

Предложена методическая процедура расчета энергоэффективности перевозок пассажиров наиболее массовыми видами транспорта в городском и пригородном сообщении.

Приведен анализ и выполнен вариант прогноза пассажирского сегмента транспортной системы в увязке с ее обеспечением топливно-энергетическими ресурсами

Ключевые слова:

пассажирский сегмент транспортной системы; транспортная доступность; энергоэффективность.

Abstract

The availability of passenger services for people as a kind of transport at moderate prices depending particularly on per capita income and energy resources consumption for every passenger is described.

Method for calculation of transportation power efficiency by public kinds of transport on urban and suburban traffic is offered.

There is made an analysis and made a variant of forecast of transport system passenger sector in connection with its fuel and energy resources supply.

Key words:

passenger sector of transport system, transport availability, power efficiency.

Отечественная транспортная система, являясь, по сути, монополией, подлежащей регулированию, обладает рядом специфических технических, экономических, экологических, социальных и энергетических характеристик: а) неразрывность процессов перевозки и потребления услуг; б) нарушение графика перевозок приводит к большому ущербу для потребителей, который значительно превышает стоимость перевозки; в) колебание и изменчивость спроса на перевозки в часовом, суточном, месячном, сезонном режимах вызывает необходимость создания эксплуатационных резервов, что неизбежно влияет на экономичность и энергоэффективность грузо- и пассажироперевозок.

Эти характеристики обуславливают необходимость централизованного оперативно-диспетчерского планирования транспортной деятельности в масштабах субъектов Российской Федерации, отдельных городов и в стране в целом.

Алик Александрович Чеботаев — д-р техн. наук, профессор; заведующий отделом инновационной и технической политики ФГУП «Научный центр по комплексным транспортным проблемам» Министерства транспорта Российской Федерации. E-mail: ncktp@mintrans.org.

Анатолий Яковлевич Калиниченко — д-р техн. наук, профессор; заместитель директора научно-инновационного центра Академии электротехнических наук Российской Федерации, Москва, Россия. E-mail: akalnich@mail.ru.

Игорь Михайлович Кийченко — старший научный сотрудник ФГУП «Научный центр по комплексным транспортным проблемам» Министерства транспорта Российской Федерации. E-mail: ncktp@mintrans.org.

Alik A. Chebotaev — DSc, professor, Scientific center of complex transport problems, the Ministry of Transport of Russian Federation. E-mail: ncktp@mintrans.org.

Anatoly Y. Kalinichenko — DSc, professor, deputy director of scientific-innovation center of Academy of Electrotechnical Sciences of Russian Federation, Moscow, Russia E-mail: akalnich@mail.ru.

Igor M. Kiychenko — senior scientific associate, Scientific center of complex transport problems, the Ministry of Transport of Russian Federation. E-mail: ncktp@mintrans.org.

Рынок перевозок пассажиров представляется весьма сложным как с точки зрения научного сопровождения, так и с точки зрения решения практических задач для отдельных регионов, городов и страны в целом. Это связано со сложностью научного прогнозирования определенных спросовых индикаторов пассажирского рынка, учета транспортного фактора при градостроительном и региональном проектировании, а также с большой неопределенностью в слабо структурированном «броуновском» перемещении городского, пригородного и сельского населения.

Пассажирская услуга является одной из социально-транспортных проблем. Доступность подразумевает возможность пользоваться пассажирским транспортом по умеренным ценам-тарифам как для городского, так и для сельского населения. Это позволяет иметь гарантированную возможность выбора любого вида транспорта независимо от места жительства. И хотя пассажир может выбирать любой вид транспорта, существуют некоторые нормативно-правовые ограничения.

В ст. 792 и 786 ГК РФ сказано: «Перевозчик обязан доставить пассажира... в разумный срок... в соответствии с заключенным договором перевозки пассажира, который удостоверяется билетом». Другими словами, основными параметрами доступности пассажирских услуг, в соответствии с Гражданским кодексом, являются такие качественные характеристики, как время доставки, стоимость и ее структурные составляющие.

*Время поездки*¹ пассажира формируется из достигнутых и перспективных скоростей сообщения на различных видах транспорта. Скорость сообщения, в свою очередь, определяется уровнем развития технического

прогресса в области транспортных средств, путей сообщения, а также использованием совершенных методов организации движения и информационного сопровождения. Каждый пассажир выбирает то время поездки, которое с минимальной «транспортной усталостью» максимально соответствует его жизнедеятельному циклу корреспонденций: труд — отдых (жилье); отдых — культура; учеба — отдых и др. Соизмерение различных скоростей сообщения позволяет пассажиру выбирать наиболее приемлемый вид пассажирского транспорта на рынке услуг.

Можно ожидать, что одновременно с ростом благосостояния нашего населения возрастет количество так называемых деловых пассажиров. Такие пассажиры будут готовы оплачивать сэкономленное в пути время; экономия времени поездки достигается при увеличении скоростей сообщения.

В качестве примера возьмем железнодорожный транспорт, где экономия времени поездки достигается с помощью скоростных и высокоскоростных железнодорожных линий. Однако увеличение скоростей связано с дополнительными затратами на усиление существующих железнодорожных путей (для скоростного движения) или с сооружением выделенных путей (для высокоскоростного движения) и созданием нового подвижного состава. При этом использование скоростных пассажирских поездов на полигонах, где осуществляются и пассажирские, и грузовые перевозки, влечет за собой существенные ограничения размеров движения в пригородном сообщении и сокращение грузовых перевозок.

Для сравнительной оценки внедрения высокоскоростного движения используется анализ соизмерения положительных и отрицательных

¹ Из многочисленных показателей качества перевозок пассажиров — наполняемость, норматив свободной площади, регулярность движения, плотность маршрутной сети и др. — рассмотрено время и стоимость в наибольшей степени характеризующие доступность пассажирских услуг для населения.

аспектов принимаемого управленческого решения. Предложенный здесь принцип «выгоды-затраты» реализуется путем сопоставления создаваемого эффекта и возникающих издержек по содержанию и текущему ремонту энергохозяйства и путей, амортизации, ремонтному фонду от использования новой техники. И если затраты не превышают ожидаемых выгод, то реализацию проекта высокоскоростного сообщения можно считать оправданной. Поэтому необходимо знать предел пассажирооборота, который обеспечил бы требуемый эффект при таких скоростях сообщения. Существует известная формула² Института комплексных транспортных проблем ИКТП, по которой может рассчитываться величина годового пассажиропотока, оправдывающего организацию высокоскоростного движения:

$$П_{пр} = \frac{И \cdot Е \cdot 10}{\Theta_{эф} - \Theta_{уд}}, \text{ млн пасс./год}$$

где И — удельные инвестиции в строительство новой высокоскоростной линии, руб./км; Е — норма доходности на капитал, доли ед.; $\Theta_{эф}$ — стоимостной эффект от ускорения перевозки деловых пассажиров, руб./10 пасс.-км; $\Theta_{уд}$ — удорожание текущих расходов для высокоскоростного сообщения, руб./10 пасс.-км.

Выполненные расчеты показывают, что при стоимости строительства 1 км новой двухпутной электрифицированной железнодорожной линии, например, 350 млн руб. и увеличении скорости движения от 160 до 300 км/ч экономия времени для деловых пассажиров составит 0,00292 ч/км пути. Тогда при среднем месячном доходе 40 тыс. руб. и удельном доходе 235 руб./ч стоимостная экономия для делового пассажира составит 6,86 руб./10 пасс.-км. Удорожание текущих расходов с учетом аморти-

зации составит 4,5 руб./10 пасс.-км (22 % от общих расходов). Таким образом, максимальный пассажиропоток, обеспечивающий оплату повышенной стоимости поездки за сэкономленное дневное время, составит 14,8 млн пассажиров в год в обоих направлениях.

При соблюдении этих условий нашего примера не удалось получить точных данных о росте расхода энергии «элитарного» высокоскоростного сообщения.

Стоимость поездки. Стоимостной индикатор носит более сложный характер. Это связано и с более высоким комфортом поездки, доходами и расходами семей, изменением стоимости топливно-энергетических ресурсов. Реализовать свое конституционное право на свободное перемещение для значительной части населения представляется сложным из-за недостаточного уровня среднедушевых доходов (таблица 1), а также и высокого уровня индекса концентрации доходов — коэффициента Джини³. Из данных табл. 1 видно, какая резкая дифференциация в денежных доходах и потребительских расходах населения существует в нашей стране. Практически две группы населения, составляющие 14,8 % общей численности, получают доходы на уровне минимальных значений с прожиточным минимумом 6–7 тыс. руб. Это, естественно, снижает спрос на более комфортные пассажирские поездки.

Расходы домашних хозяйств пятой группы населения (с наибольшими доходами) на транспорт являются максимальными и достигают 25,3 %. Это связано с большими затратами на покупку дорогих личных автомобилей и их обслуживанием в эксплуатации. В то же время доля расходов на транспортные услуги общественного транспорта у пятой группы населения минимальная — всего 2,4 %.

² Сферы применения скоростного пассажирского движения на железных дорогах СССР. Труды ИКТП Госплана СССР, 1970 г.

³ Коэффициент концентрации доходов составляет 0,42, что на 48 % выше, чем, например, в Германии.

Таблица 1

**Структура потребительских расходов домашних хозяйств
и денежных доходов населения (2009 г.) [1]**

Доходы и располагаемые ресурсы	Группы населения с различным уровнем дохода				
	первая (наименьший доход)	вторая	третья	четвертая	пятая (наибольший доход)
Распределение среднедушевых денежных доходов в месяц, % (16,9 тыс. руб. в 2009 г.)	5,1	9,7	14,8	22,5	47,9
Ресурсные группы	Группы населения по располагаемым ресурсам				
	первая (минимальные ресурсы)	вторая	третья	четвертая	пятая (максимальные ресурсы)
Распределение расходов на транспорт домашних хозяйств, % (2008 г.)	5,5	7,0	7,7	9,5	25,3
В том числе на транспортные услуги, %	3,7	3,9	3,7	3,3	2,4

На основании ранее выполненных исследований сформулированы транспортно-рыночные закономерности, которые определяются в виде двух справедливых «грузовых или пассажирских законов» [2, 3]. Один для пассажиров, второй — для пассажирских транспортных фирм.

Первый «пассажирский закон». Цена спроса на пассажирскую услугу — это тот максимальный уровень тарифа, который согласны заплатить отечественные (или зарубежные) потребители, если будут выполнены их требования по качественной и безопасной перевозке рыночного объема пассажиров на определенное расстояние поездки.

Второй «пассажирский закон». Цена предложения пассажирских транспортных услуг — это тот минимальный уровень тарифа, который удовлетворяет отечественный (или зарубежный) персонал транспортной фирмы при осуществлении качественной и безопасной перевозки рыночного объема пассажиров на определенное расстояние поездки.

Однако часть городского и сельского населения с минимальными до-

ходами (см. таблицу 1) не могут реализовать свое право на перемещение и гарантированный выбор вида пассажирского транспорта. Следовательно, задача обеспечения этой части населения при реализации «пассажирских законов» должна решаться путем выделения необходимых государственных субсидий, то есть с использованием нерыночных методов. Поэтому доступность городских и пригородных пассажирских услуг в значительной степени зависит от дотаций администраций различного уровня, от величины тарифов соответствующих перевозчиков и расходов этих перевозчиков, на базе которых формируются тарифы.

Одной из важных статей этих расходов являются затраты на топливно-энергетические ресурсы и динамика цен на них в течение рассматриваемого периода. В прямых расходах пассажирских перевозок учитываются затраты на топливно-энергетические ресурсы, смазочные материалы, шины и колесные пары, энергооборудование, зарплату водителей и машинистов, летного персонала, ремонтного состава, кондукторов;

амортизацию подвижного состава; налоги и др. С учетом косвенных расходов в себестоимости доля топливно-энергетических ресурсов в себестоимости услуг на различных видах транспорта колеблется от 10 до 30 %.

Для определения стоимости натуральных топливно-энергетических ресурсов в расходах на перевозки наиболее массовых пассажирских потоков в городском и пригородном сообщении используется следующая формула:

$$\Pi = \Pi' \cdot L \cdot H \cdot K_d, \text{ руб.}$$

где Π' — удельная стоимость ресурсов на оптовом рынке, руб./л; руб./кВт·ч; L — пробег транспортного средства, км; H — удельный расход топливно-энергетических ресурсов, л/км; кВт·ч/км; K_d — временной дефлятор, ед.

Для использования изложенной методики была разработана методическая процедура, которая представлена в таблице 2.

Для количественной оценки энергоэффективности расчеты выполнены по шести видам транспорта: пригородный электропоезд; одиночный четырехосный трамвай; новый трехвагонный метротрамвай; семивагонный электропоезд метрополитена; автобусы и легковое такси.

Приведенные в таблице 2 сравнительные характеристики энергоэффективности пассажирского транспорта общего пользования показывают, что при заданных оптовых ценах (без учета дефлятора) и доле энергозатрат в расходах наиболее энергоэффективным по мере убывания и менее доступными являются метрополитен, метротрамвай, пригородная электричка, одиночный трамвай, автобусы и легковое такси. Легковое такси, несмотря на высокую энергоемкость, обладает рядом преимуществ: оно не связано с маршрутной сетью, обеспечивает более комфортную доставку «от двери до двери».

При разработке долгосрочной стратегии доступности пассажирских услуг нужно комплексно рассматривать взаимодействие различных видов транспорта как компонентов интегрированной системы. Предпочтительными для населения с низкими доходами будут те виды транспорта, которые обеспечивают минимальную стоимость расхода топливно-энергетических ресурсов на 1 пасс.-км.

Чтобы понять закономерности доступности пассажирских услуг, зависящих от расхода энергии, необходимо оценить взаимодействие ресурсных систем и выполняемой перспективной пассажирской работы.

Взаимодействие топливно-энергетического обеспечения перевозок пассажиров и спроса на эти услуги

Бесспорных доказательств ускорения темпов роста экономики в России до 2015–2020 гг. пока нет, но мы решили предложить один из возможных вариантов развития пассажирских услуг, основанный на анализе последних демографических сдвигов в увязке с ожидаемой транспортной подвижностью населения и среднедушевыми доходами. Существуют и другие оценки изменения пассажирских услуг как за счет роста доли среднедушевых доходов и расходов на транспорт, так и за счет роста средней дальности поездки, территориального расселения населения, изменение места приложения труда и др.

Для количественной оценки энергопотребления различными видами транспорта необходимо в первую очередь привести различные виды энергии, используемые при пассажирских перевозках, к одному знаменателю. Это достигается с помощью коэффициентов перевода, включающих и параметры наиболее экологического топлива будущего — водорода (таблица 3).

Таблица 2

Энергоэффективность перевозок пассажиров в городском и пригородном сообщении, пасс.-км

Пригородный электропоезд	Трамвай	Метрограмвай	Метрополитен	Автобус	Легковое такси
ЭД4 М; ЭР 9 М; ЭР 9 Е Десятивагонный пригородный электропоезд полной вместимостью 1250 чел. Расход электроэнергии на тягу и собственное потребление: $0,031 \text{ кВт} \cdot \text{ч/т} \cdot \text{км}$ брутто Масса тары: $q_r = 520 \text{ т}$ Масса пассажиров: $q_n = 1250 \cdot 0,075 = 93,75 \text{ т}$ Масса поезда брутто: $q_{r+} \text{ брутто} = 520 + 93,75 = 613,75 \text{ т}$ Расход электроэнергии на километр пробега: $G_{км} = 0,031 \cdot 613,75 = 19,0 \text{ кВт} \cdot \text{ч/км}$	ТЗ, 71–619 К; 71–619 А; ЛМ-68 Одиночный четырехосный вагон полной вместимостью 130 чел. Расход электроэнергии на тягу и собственное потребление: $0,071 \text{ кВт} \cdot \text{ч/т} \cdot \text{км}$ брутто Масса тары: $q_r = 21 \text{ т}$ Масса пассажиров: $q_n = 130 \cdot 0,075 = 9,8 \text{ т}$ Масса вагона брутто: $q_{r+} \text{ брутто} = 21 + 9,8 = 30,8 \text{ т}$ Расход электроэнергии на километр пробега: $G_{км} = 0,071 \cdot 30,8 = 2,2 \text{ кВт} \cdot \text{ч/км}$	Новый трехвагонный электропоезд вместимостью 600 чел. Расход электроэнергии на тягу и собственное потребление: $0,045 \text{ кВт} \cdot \text{ч/т} \cdot \text{км}$ брутто Масса тары: $q_r = 70 \text{ т}$ Масса пассажиров: $q_n = 300 \cdot 0,075 = 45,0 \text{ т}$ Масса поезда брутто: $q_{r+} \text{ брутто} = 70 + 45 = 115 \text{ т}$ Расход электроэнергии на километр пробега: $G_{км} = 0,045 \cdot 115 = 5,2 \text{ кВт} \cdot \text{ч/км}$	81–717,5 М; 81–740 «Русич» Семивагонный электропоезд вместимостью 2100 чел. Расход электроэнергии на тягу и собственное потребление: $0,025 \text{ кВт} \cdot \text{ч/т} \cdot \text{км}$ брутто Масса тары: $q_r = 210 \text{ т}$ Масса пассажиров: $q_n = 2100 \cdot 0,075 = 157,5 \text{ т}$ Масса поезда брутто: $q_{r+} \text{ брутто} = 210 + 157,5 = 367,5 \text{ т}$ Расход электроэнергии на километр пробега: $G_{км} = 0,025 \cdot 367,5 = 9,2 \text{ кВт} \cdot \text{ч/км}$ (без учета рекуперации)	ЛиАЗ-5256,36 Полная вместимость — 116 чел. Расход дизельного топлива 0,4 л/км пробега Автобус ПА3-3205 Полная вместимость — 40 чел. Расход бензина в смешанном цикле — 0,072 л/км пробега	(ВАЗ — 21703, Лада Приора) Полная вместимость — 5 чел. Эксплуатационная вместимость — 3 чел. Расход бензина в смешанном цикле — 0,072 л/км пробега

Окончание табл. 2

Энергоэффективность перевозки пассажиров в городском и пригородном сообщении, пасс.-км

Пригородный электропоезд	Трамвай	Метрограмвай	Метрополитен	Автобус	Легковое такси
Оптовая цена электроэнергии: 1 кВт·ч = 3,0 руб./кВт·ч*					
Стоимость расхода электроэнергии на 1 км пробега: 19,0 кВт·ч/км · 3,0 = 57,0 руб./км Ожидаемая энергостоймость 1 пасс.-км: 57,0 руб./1250 пасс.-км = 0,046 руб./пасс.-км	Стоимость расхода электроэнергии на 1 км пробега: 2,2 · 3,0 = 6,6 руб./км Ожидаемая энергостоймость 1 пасс.-км: 6,6 руб./130 чел. = 0,05 руб./пасс.-км	Стоимость расхода электроэнергии на 1 км пробега: 5,2 · 3,0 = 15,6 руб./км Ожидаемая энергостоймость 1 пасс.-км: 15,6 руб./600 чел. = 0,026 руб./пасс.-км	Стоимость расхода электроэнергии на 1 км пробега: 9,2 · 3,0 = 27,6 руб./км Ожидаемая энергостоймость 1 пасс.-км: 27,6 руб./2100 чел. = 0,013 руб./пасс.-км	Стоимость расхода топлива на 1 км пробега: ЛИА3-5256,36 0,4 · 21,4 = 8,52 руб./км ПАЗ-3205 0,29 · 27,0 = 7,83 руб./км Ожидаемая энергостоймость 1 пасс.-км: ЛИА3-5256,25 8,52 руб./116 чел. = 0,073 руб./пасс.-км ПАЗ-3205 7,83 руб./40 чел. = 0,196 руб./пасс.-км	Оптовая цена дизельного топлива: 21,4 руб./л, бензина — 27,0 руб./л (92), 29,0 руб./л (95)* Стоимость расхода топлива на 1 км пробега: 0,072 · 29,0 = 2,09 руб./км Ожидаемая энергостоймость 1 пасс.-км: 2,09 руб./3,0 чел. = 0,70 руб./пасс.-км
Величина ожидаемых затрат при доле энергостоймости, %					
10 % — 0,051 руб./пасс.-км	10 % — 0,900 руб./пасс.-км	10 % — 0,029 руб./пасс.-км	10 % — 0,014 руб./пасс.-км	10 % — 0,080/0,218 руб./пасс.-км	10 % — 0,778 руб./пасс.-км
30 % — 0,066 руб./пасс.-км	30 % — 0,116 руб./пасс.-км	30 % — 0,037 руб./пасс.-км	30 % — 0,019 руб./пасс.-км	30 % — 0,1/0,280 руб./пасс.-км	30 % — 1,0 руб./пасс.-км
60 % — 0,115 руб./пасс.-км	60 % — 0,203 руб./пасс.-км	60 % — 0,065 руб./пасс.-км	60 % — 0,032 руб./пасс.-км	60 % — 0,182/0,49 руб./пасс.-км	60 % — 1,75 руб./пасс.-км
Стоимость энергоресурсов на одного пассажира при дальности поездки 10,8 км					
0,046 · 10,8 = 0,5 руб.	0,05 · 10,8 = 0,54 руб.	0,026 · 10,8 = 0,28 руб.	0,013 · 10,8 = 0,14 руб.	0,073 · 10,8 = 0,79 руб. 0,196 · 10,8 = 2,12 руб.	0,7 · 10,8 = 7,56 руб.

*Без учета дефлятора и розничных цен на энергоносители.

Таблица 3

Коэффициенты перевода различных видов топлива
и электроэнергии в условное топливо (по теплотворной способности)

Топливо	Удельный вес, кг/дм ³	Низшая теплотвор- ная способность, МДж/кг	Коэффициент перевода в услов- ное топливо
Уголь		29,16	1,0
Бензин	0,74	43,81	1,51
Дизельное топливо	0,825	42,11	1,47
Авиакеросин	0,725	42,98	1,48
Флотский мазут		39,10	1,34
Сжатый газ (метан)		50,0	1,71
Сжиженный газ (пропан-бутан)		43,6	1,60
Этанол		27,17	0,93
Метанол		20,12	0,70
Диметиловый эфир		39,48	1,35
Природный газ (для трубопроводов)		32,69	1,12
Электроэнергия		3,6 МДж/кВт ч	0,124
Водород (будущее топливо)		120 (10,8 МДж/м ³)	4,1 (на 1 кг Н ₂)

Ожидается, что совокупные эффекты незначительного увеличения численности населения в перспективе и рост транспортной подвижности будут порождать благоприятные рыночные последствия для формирования спроса на пассажирские услуги [4]. Прогнозируется, что спрос на пассажирские услуги с 2010 по 2015–2020 гг. увеличится на 20–64 % при достаточно умеренном росте средней дальности поездки одного пассажира (таблица 4). Главной причиной существенного прироста спроса является увеличение мобильности нации, что характерно и для мировых тенденций. Для обеспечения такого спроса необходимо соответствующее энергообеспечение.

Если имеющиеся и прогнозируемые энергетические ресурсы не адекватны основным спросовым характеристикам пассажирских услуг, то их разработка и планирование теряют

практический смысл. Поэтому необходимо определить и сопоставить ресурсы с перспективой развития пассажирских услуг. Как правило, самый эффективный способ смягчения негативных последствий — устранение основной причины: отсутствие энергии для перевозки пассажиров.

Процесс перспективного формирования спроса на пассажирские услуги на железнодорожном транспорте общего пользования характеризуется колебанием спроса и дальности поездки пассажиров, в том числе в городском и пригородном сообщении. И только к 2020 г. прогнозируется рост количества перевезенных пассажиров по сравнению с 2000 г. Ожидается, что расход энергии на пассажирские перевозки за этот период снизится на 11–12%⁴ и составит 2,8 г. у. т./пасс.-км за счет применения более технически совершенных электропоездов, тепловозов и «бархатных» железнодорожных путей.

⁴ Без учета альтернативных источников энергии, являющихся пока нерыночными сегментами из-за дороговизны солнечной, ветровой, «соевой», «кукурузной» и др. видов энергии.

Таблица 4

Энергетические затраты на пассажирские услуги по видам транспорта 2000–2020 гг.

Показатель	2000 г.	2005 г.	2006 г.	2007 г.	2008 г.	2009 г.	2010 г.	2015 г., прогноз	2020 г., прогноз
Транспортный комплекс, всего									
Численность населения, млн чел.	146,3	143,5	142,8	142,2	142,0	141,9	141,8	143,0	145,0
Транспортная подвижность, тыс. пасс.-км/чел. в год	6,04	6,63	6,80	7,12	7,50	7,47	8,13	9,69	11,70–13,03
Пассажирооборот всего, млрд пасс.-км	883,7	950,9	970,2	1012,3	1065,0	1059,6	1153,2	1386,2	1695,8–1889,8
Средняя дальность поездки одного пассажира, км	15,5	22,3	25,0	28,8	30,4	31,3	32,1	34,6	37,0
Перевезено пассажиров всего, млн чел.	57161,6	42677,9	38836,8	35211,5	35072,4	33841,5	35938,4	40084,8	47062,0–49599,1
Железнодорожный транспорт									
Перевезено пассажиров транспортом общего пользования всего, млн чел.	1418,8	1339,0	1339,0	1281,7	1296,0	1137,0	1353,5	1369,6	1430–1450
в том числе: в пригородном и городском сообщениях	1280,0	1205,0	1204,0	1145,0	1160,0	1020,0	1215,0	1230,0	1280–1300
Пассажирооборот транспорта общего пользования, млрд пасс.-км	167,1	172,2	177,6	174,1	175,9	151,5	179,4	184,0	195–205
в том числе: в пригородном и городском сообщениях	50,8	53,3	53,1	46,0	46,7	38,2	46,8	48,6	51,5–54,5
Средняя дальность поездки одного пассажира, всего, км	117,8	119,0	118,0	119,0	119,0	120,0	120,0	134,4	139,0
в том числе: в пригородном и городском сообщениях	39,7	44,1	43,9	40,0	40,3	37,5	38,7	39,5	41,0
Потребление электроэнергии, млрд кВт-ч	4,2	3,8	3,8	3,6	3,4	3,4	3,7	4,2	4,5–4,7
в том числе: в пригородном и городском сообщениях	1,28	1,18	1,14	0,95	0,91	0,86	0,97	1,1	1,2–1,3
Потребление условного топлива, млн т									
в том числе:	0,52	0,47	0,47	0,45	0,42	0,42	0,46	0,52	0,56–0,58
пригородном и городском сообщениях	0,159	0,146	0,143	0,118	0,113	0,107	0,120	0,137	0,149–0,161
Удельный расход топлива, гут/пасс.-км (без учета тепловозной тяги)	3,1	2,8	2,7	2,6	2,4	2,8	2,6	2,8	2,9–2,8
Автомобильный транспорт									
Перевезено пассажиров всего, млн чел.	35326,0	28810,0	26780,0	24700,0	24840,0	24700,0	25700,0	29100,0	34000–36000
В том числе:									
автобусы, всего	31146,0	23530,0	21280,0	18600,0	18240,0	17900,0	18600,0	20600,0	23000–24000
из них общего пользования	22892,0	15636,0	13914,0	12559,0	12112,0	11278,0	13482,9	15000,0	16000–17000
легковые автомобили (данные авторов)	4180,0	5280,0	5500,0	6100,0	6600,0	6800,0	7100,0	8500,0	11000–12000

Продолжение табл. 4

Показатель	2000 г.	2005 г.	2006 г.	2007 г.	2008 г.	2009 г.	2010 г.	2015 г., прогноз	2020 г., прогноз
Автомобильный транспорт									
Пассажирооборот всего, млрд пасс.-км	562,0	620,0	630,0	665,0	705,6	737,0	770,0	930,0	1170–1280
В том числе:									
автобусы, всего	232,0	200,0	190,0	185,0	180,0	192,0	200,0	250,0	270–300
из них общего пользования	171,9	133,5	154,1	144,6	135,4	146,9	154,4	182,0	195–220
легковые автомобили	330,0	420,0	440,0	480,0	525,6	545,0	570,0	680,0	900–980
Средняя дальность поездки одного пассажира, автобусы, всего	7,5	8,5	8,9	9,9	9,9	10,7	10,8	12,1	12,2
из них общего пользования	7,5	8,4	11,1	11,5	11,2	13,0	11,4	12,2	12,5
легковые автомобили, всего	78,9	79,6	80,0	78,7	79,6	80,1	80,3	81,2	81,5
Потребление топлива, млн т									
Автобусы, бензин	1,67	1,44	1,37	1,33	1,26	1,39	1,44	1,80	1,9–2,0
дизельное топливо	2,23	1,96	1,83	1,77	1,74	1,81	1,96	2,5	2,7–2,8
Легковые, бензин	11,9	15,1	15,8	17,3	18,9	19,6	20,5	27,0	36,0–39,0
Потребление условного топлива, млн т.т.									
Автобусы	5,8	5,1	4,8	4,6	4,5	4,8	5,1	6,4	6,6–7,4
Легковые	18,0	22,8	23,9	26,1	28,5	29,6	31,0	40,8	54,4–59,4
Удельный расход топлива, г/т/пасс.-км									
Автобусы	25,0	25,5	25,3	24,9	24,9	25,0	25,0	25,2	24,3–24,1
Легковые	54,5	54,3	54,3	54,3	54,2	54,3	54,4	60,0	60,5–60,2
Городской электротранспорт									
Перевезено пассажиров всего, млн чел.	20366,0	12350,0	10508,0	9160,0	8864,0	7938,0	8800,0	9500,0	11500–12000
В том числе									
трамваи	7421,0	4123,0	3267,0	2660,0	2537,0	2217,0	2500,0	2600,0	3400–3500
троллейбусы	8759,0	4653,0	3775,0	2972,0	2733,0	2414,0	2600,0	2800,0	3600–3800
метрополитен	4186,0	3574,0	3466,0	3528,0	3594,0	3307,0	3700,0	4100,0	4500–4700

Продолжение табл. 4

Показатель	2000 г.	2005 г.	2006 г.	2007 г.	2008 г.	2009 г.	2010 г.	2015 г., прогноз	2020 г., прогноз
Городской электротранспорт									
Пассажирооборот всего, млрд пасс.-км	100,1	71,9	67,7	61,1	60,6	57,7	62,0	68,5	79,2-82,6
В том числе									
трамваи	25,1	13,5	11,1	8,7	8,2	7,1	8,3	8,7	11,6-11,9
троллейбусы	28,1	15,0	12,4	9,8	9,0	7,9	8,7	9,8	12,2-12,9
метрополитен	46,9	43,4	44,2	42,6	43,4	42,7	45,0	50,0	55,4-57,8
Средняя дальность поездки одного пассажира, км:									
трамваи	3,4	3,3	3,4	3,3	3,2	3,3	3,3	3,4	3,4
троллейбусы	3,2	3,2	3,3	3,3	3,3	3,3	3,4	3,4	3,4
метрополитен	11,2	12,1	12,8	12,1	12,1	12,9	12,2	12,2	12,3
Потребление электроэнергии, млрд кВт-ч:									
трамваи и троллейбусы	3,6	2,8	2,8	2,9	3,3	2,9	3,0	3,4	3,5-3,6
метрополитен	2,1	2,4	2,4	2,6	2,9	2,6	2,8	3,1	3,1-3,2
Потребление условного топлива, млн т:									
трамваи и троллейбусы	0,45	0,35	0,35	0,36	0,41	0,36	0,37	0,42	0,43-0,45
метрополитен	0,26	0,30	0,30	0,32	0,36	0,32	0,35	0,39	0,39-0,40
Удельный расход топлива, гут/пасс.-км									
трамваи и троллейбусы	8,5	12,3	14,9	19,5	23,8	24,0	21,8	22,7	18,2-18,1
метрополитен	5,5	6,9	6,8	7,5	8,3	7,5	7,8	7,8	7,0-6,9
Воздушный транспорт									
Перевезено пассажиров всего, млн чел.	22,8	36,9	39,8	46,9	51,0	47,0	58,0	85,0	100-115
Пассажирооборот всего, млрд пасс.-км	53,4	85,8	93,9	111,0	122,6	112,5	140,6	202,2	250-290
Средняя дальность поездки одного пассажира, км	2342,0	2325,0	2359,0	2367,0	2404,0	2394,0	2424,0	2380,0	2455
Потребление авиакеросина, тыс. т	2029,2	3174,6	3474,3	4107,0	4413,6	4050,0	5061,6	7200,0	8900-10200
Потребление условного топлива, млн т	3,0	4,7	5,2	6,1	6,5	6,0	7,5	8,5	13,2-15,1
Удельный расход топлива, г. у. т./пасс.-км	56,2	54,8	55,4	55,0	53,0	53,3	53,3	42,1	52,8-51,8

Окончание табл. 4

Показатель	2000 г.	2005 г.	2006 г.	2007 г.	2008 г.	2009 г.	2010 г.	2015 г., прогноз	2020 г., прогноз
Внутренний водный транспорт									
Перевезено пассажиров всего, млн чел.	27,7	20,7	19,6	21,5	20,0	18,0	25,4	28,2	30–32
Пассажирооборот всего, млрд пасс.-км	1,0	0,9	0,9	1,0	0,8	0,8	1,15	1,3	1,4–1,5
Средняя дальность поездки одного пассажира, км	36,1	43,5	45,9	46,5	40,0	44,4	45,3	46,1	46,8
Потребление мазута и дизельного топлива, млн т	0,028	0,025	0,025	0,028	0,023	0,023	0,034	0,037	0,040–0,043
Потребление условного топлива, млн т	0,039	0,035	0,035	0,039	0,031	0,031	0,047	0,051	0,055–0,059
Удельный расход топлива, г/т/пасс.-км	39,0	43,3	43,3	39,0	38,8	38,8	40,9	35,5	39,3–39,1
Морской транспорт									
Перевезено пассажиров всего, млн чел.	1,1	1,3	1,4	1,4	1,4	1,5	1,5	2,0	2,0–2,1
Пассажирооборот всего, млрд пасс.-км	0,0	0,09	0,06	0,07	0,07	0,06	0,07	0,15	0,16–0,17
Средняя дальность поездки одного пассажира, км	91,0	69,2	42,9	50,0	50,0	40,0	46,7	75,0	80,0
Потребление мазута и дизельного топлива, млн т	0,018	0,016	0,010	0,012	0,012	0,010	0,012	0,026	0,027–0,028
Потребление условного топлива, млн т	0,025	0,022	0,014	0,017	0,017	0,014	0,017	0,036	0,037–0,038
Удельный расход топлива, г.у.т./пасс.-км	25,0	24,5	23,4	24,3	24,3	23,4	24,3	24,0	23,1–22,8
Энергоэффективность транспортного комплекса									
Потребление условного топлива, млн т	28,1	33,1	35,1	38,0	40,7	41,5	44,8	57,1	81,6–83,3
Удельный расход топлива, г.у.т./пасс.-км	31,8	34,8	36,2	37,5	38,2	39,2	38,9	41,2	48,1–44,1

В сложившемся пассажирском сегменте транспортной системы автомобильный транспорт и ее составная часть легковые автомобили продолжают играть все возрастающую роль несмотря на сопутствующие экологические и энергетические ущербы. Характерной особенностью данного процесса является снижение с 2000-го до 2020-го гг. на 40–53 % количества пассажиров, перевозимых автобусами общего пользования. Следует ожидать, что с 2015 г. по сравнению с 2010 г. спрос на пассажирские услуги менее энергоемкими автобусами общего пользования все-таки увеличится на 11 % с дальнейшим ростом в 2020 г. на 19–26 %. Несмотря на продолжающийся рост автомобильных парков, сопровождающийся увеличением абсолютного потребления дизельного топлива и бензина, удельные расходы условного топлива изменятся незначительно. Это связано с тем, что будут поступать в эксплуатацию более технически совершенные транспортные средства, а также более широко будет использоваться топливо не нефтяного происхождения — гибридные автомобили, газ, метанол и др. Прогнозируется, что удельный расход условного топлива автобусами в 2020 г. по сравнению с 2010 г. снизится всего на 3 %, а легковыми автомобилями — увеличится на 11 % за счет роста численности автомобилей с более высоким расходом горючего на 1 километр пробега.

Несмотря на возрастающие масштабы экологического воздействия на городские и пригородные селитебные районы от использования автомобильного транспорта, в течение 2000–2010 гг. продолжало снижаться количество пассажиров, перевозимых более экологическими видами городского транспорта — трамваями, троллейбусами и метрополитеном. Очевидно, что снижение количества перевозимых пассажиров, повышение комфортабельности поездки приве-

дет к росту удельных расходов условного топлива трамваями, троллейбусами и автобусами. Согласно прогнозу, в 2020 г. при соблюдении вышеуказанных изменений удельный расход условного топлива трамваев и троллейбусов снизится по сравнению с 2010 г. на 20 %, а метрополитена, менее значительно — на 12 %.

За десятилетний период спрос на пассажирские услуги воздушным транспортом продолжал расти. К 2015 г. спрос может возрасти на 47 %, а к 2020 г. — на 85 %. Удельный расход условного топлива с 2010-го до 2015-го г. должен снизиться на 27 % за счет пополнения парка самолетов с удельным расходом керосина до 20–30 г/пасс.-км (370–500 г/т км) (сейчас их доля в парке составляет всего 30 %). В перспективе ожидается рост малой авиации, и поэтому к 2020 г. удельный расход топлива на воздушном транспорте несмотря на импорт зарубежных самолетов возрастет на 24 % по сравнению с 2015 г.

Прогноз развития прибрежных, паромных и круизных туристических пассажирских услуг и требуемого расхода энергии на внутреннем водном и морском транспорте из-за незначительного спроса слабо влияет на энергоэффективность транспортной системы. Ожидается, что в перспективе на этих видах транспорта будут господствовать традиционные двигатели внутреннего сгорания, работающие на мазуте и дизельном топливе. На речном транспорте за счет увеличения круизных услуг удельный расход условного топлива в 2020 г. увеличится на 10 %. На морском транспорте удельный расход топлива практически мало изменится за прогнозируемый период.

Таким образом, все эти важнейшие направления пассажирских услуг (см. табл. 4) могут быть в перспективе реализованы, если будут обеспечены поставки топливно-энергетических ресурсов, которые в условном измерении должны составить

в 2015 г. 57,1 млн т. у. т., а в 2020 г. — 81,5–83,3 млн т. у. т. При этом ожидается, что удельный расход условного топлива пассажирским сегментом транспортной системы должен увеличиться с 38,9 г. у. т./пасс.-км в 2010 г. до 41,2 г. у. т./пасс.-км в 2015 г. и до 44,1–48,1 г. у. т./пасс.-км в 2020 г. Полученный объем прогнозируемого спроса по видам энергоресурсов на пассажирском транспорте должен учитываться при формировании энергетического баланса страны на перспективу.

При пространственном планировании регионального развития и для принятия органами власти субъектов РФ и муниципальных образований обоснованных решений по выбору наиболее энергоэффективных видов транспорта на перспективу предлагается использовать разработанный авторами ранжированный ряд пассажирских видов транспорта. Из таблицы 4 следует, что для перевозки одного современного пассажира на 1 км расход условного топлива составляет на видах транспорта, г: железнодорожном — 2,6; метрополитене — 7,8; трамвай — троллей-

бус — 21,8; морском — 24,3; автобусном — 25,0; внутреннем водном — 40,9; воздушном — 53,3; легковом автомобильном — 54,4.

Ожидается, что этот ранжированный ряд сохранится и на перспективу. В таблице 5 приведен условный пример увеличения в перспективе пассажирских услуг от 10 до 500 млрд пасс.-км, которые обеспечиваются различными видами транспорта, ранжированных по энергоэффективности. Полученные результаты могут использоваться региональными администрациями при выборе пассажирских видов транспорта в условиях ограничения финансовых и топливно-энергетических ресурсов.

Если допустить, что в перспективе прогнозируется увеличение спроса на пассажирские услуги размером от 10 до 500 млрд пасс.-км, то, согласно данным этой таблицы, предпочтение следует отдавать следующим видам транспорта (от наиболее предпочтительного вида к наименее предпочтительному): железнодорожному, метрополитену, трамвайному, троллейбусному, морскому, автобусному, внутреннему водному,

Таблица 5

**Сравнительная энергоэффективность видов транспорта
при оказании пассажирских услуг**

Транспорт	Дополнительный спрос на пассажирские услуги, млрд пасс.-км						Увеличение потребления ресурсов по сравнению с железнодорожным транспортом, раз
	10	30	50	70	100	500	
Потребление энергоресурсов, тыс. т. у. т.							
Железнодорожный	2,85	8,55	14,25	19,95	28,5	142,5	1,0
Метрополитен	6,95	20,85	34,75	48,656	69,5	347,5	2,44
Трамвай, троллейбус	18,15	54,45	90,75	127,05	181,5	907,5	6,37
Морской	22,95	68,85	114,75	160,65	229,5	1147,5	8,05
Автобусный	24,20	72,60	121,00	169,40	242,0	1210,0	8,49
Внутренний водный	39,20	117,60	196,00	274,40	392,0	1960,0	13,75
Воздушный	52,30	156,90	261,50	366,10	523,0	2615,0	18,35
Легковые автомобили	60,35	181,05	301,75	422,45	603,5	3017,5	21,18

воздушному и, наконец, легковому автомобильному. Поэтому региональное стимулирование должно, прежде всего, способствовать развитию тех видов энергоэффективного пассажирского транспорта, которые учитывают размещение топливно-сырьевой базы и ужесточение экологических требований в перспективе.

Таким образом, для эффективного управления энергоэффективностью пассажирских услуг необходимо осознавать актуальность транспортно-энергетических проблем, влияющих на выработку рациональной энергетической политики в целом по стране и ее регионах.

В результате выполненного анализа и прогноза предложен универ-

сальный методический подход, который с некоторыми уточнениями может использоваться для эффективного решения энергетических проблем обеспечения потребностей населения в городских и пригородных перевозках на перспективу.

Очевидно, что с повышением энергоэффективности вида транспорта увеличивается и его доступность для населения.

В перспективе необходимо искать разумный компромисс между потребляемыми энергоресурсами и спросом на пассажирские услуги в транспортной системе. Одной из задач стратегии территориального развития страны является учет энергетического фактора пассажирских услуг. ■

Литература

1. Россия в цифрах. М.: Росстат, 2010, 96 с.
2. Чеботаев А.А. Генезис «маятника экономики» в регулируемых рыночных отношениях. М.: «Колос», 2003, 304 с.
3. Чеботаев А.А. Геотранспортные ресурсы России. М.: «Экономика», 2007, 454 с.
4. Российский статистический ежегодник. М.: Росстат. 2009, 826 с.

References:

1. Rossiya v tsifrakh [Russia in figures]. M.: Rosstat, 2010, 96 s.
2. Chebotaev A.A. Genezis «majatnika ekonomiki» v reguliruemyykh rynochnyykh otnosheniyakh ['Economics pendulum' genesis in regulated market relations]. M.: «Kolos», 2003, 304 s.
3. Chebotaev A.A. Geotransportnye resursy Rossii [Geo-transport resources of Russia]. M.: «Ekonomika», 2007, 454 s.
4. Rossijskij statisticheskij ezhegodnik [Russian statistical annuary]. M.: Rosstat. 2009, 826 s.

Статья сдана в редакцию 5 февраля 2012 года

Х. Н. Гизатуллин, А. А. Сомотаев, Ю. А. Дорошенко

Системный подход при анализе выпуска валовой продукции отраслями Российской Федерации

Kh. N. Gizatullin, A. A. Samotaev, Yu. A. Doroshenko

System approach when analyzing gross output production by RF branches

Аннотация

Предложен алгоритм системного анализа больших систем и выполнены исследования модели баланса межотраслевых связей по результатам выпуска валовой продукции отраслями РФ в 2000 году. Результаты расчетов показали, что 24 показателя, определяющие итоги деятельности отраслей РФ, формируются в большую систему. Такая система, которую можно представить в виде четырехэтапной пирамиды, отражающих круг ведущих проблем на разных ее иерархических уровнях: области (основание) → регионы → федеральные округа → РФ, в свою очередь, содержит 14 подсистем. Запускающим фактором в управляющей подсистеме служит повышение ресурсного наполнения элемента «торгово-посреднические услуги», итогом ее деятельности — тенденция к росту ресурсов в структуре элемента «продукты легкой промышленности».

Разработанный подход позволяет не только обнаружить проблемные отрасли региона и государства в целом, но и дает возможность управлять их состоянием с помощью моделей подсистем, улучшая их состояние, что расширяет сферу применения межотраслевых балансов.

Ключевые слова:

межотраслевой баланс; валовая продукция; системный анализ; иерархия; пирамида; эшелоны; подсистемы; элементы (системообразующие и системо-разрушающие); модели функционирования подсистем; ресурсное наполнение; управление большими системами.

Abstract

It is offered the algorithm of systems analysis of grand systems and done the research of a model of inter-branch relations balance by the results of gross output production by RF branches in 2000. The calculation results showed that 24 factors, defining the results of RF branches activities, form into a grand system, which consists of 14 sub-systems and which can be introduced as a four-echelon pyramid, reflecting the problems on its various hierarchical levels: oblasts (the base) → regions → Federal districts → the Russian Federation. The triggering factor in a management sub-system was the increase of resort filling of the element 'trade-intermediate services, its activity results — the tendency to resources growth in the element structure 'light industry goods'. The developed approach allows both to reveal the problematic branches of a region and the state as a whole and to control their state using sub-systems' models, improving their state which broadens the sphere of inter-branch balances' application.

Key words:

Inter-branch balance, gross output, systems analysis, hierarchy, pyramid, echelons, sub-systems, elements: backbone and systems-destroying, models of sub-systems' functioning, resort filling, grand systems management.

Гизатуллин Хамид Нурисламович — д-р экон. наук, член-корреспондент РАН; Институт экономики Уральского отделения РАН, Екатеринбург, Россия. gizatullin@anrb.ru.

Сомотаев Александр Александрович — д-р биол. наук, профессор; кафедра биологии и экологии Уральской государственной академии ветеринарной медицины, Екатеринбург, Россия. samotaew@mail.ru.

Дорошенко Юрий Анатольевич — канд. экон. наук, доцент; зав. кафедрой экономики и организации сельскохозяйственного производства Челябинской государственной агроинженерной академии, Челябинск, Россия. ua-doroshenko@yandex.ru.

Khamid N. Gizatullin — DSc, corresponding member of RAS, Institute of Economics, the Ural Branch of Russian Academy of Sciences, Ekaterinburg, Russia gizatullin@anrb.ru.

Alexander A. Samotaev — DSc, professor, Department of biology and ecology, The Ural State Academy of Veterinary medicine, Ekaterinburg, Russia samotaew@mail.ru.

Yury A. Doroshenko — PhD, associate professor, Head of Economics and agricultural industry department, Chelyabinsk State Agroengineering Academy, Chelyabinsk, Russia ua-doroshenko@yandex.ru.

В настоящее время хорошо известны и достаточно широко применяются методы межотраслевого анализа, характеризующие связи между выпуском продукции и затратами, необходимыми для обеспечения этого выпуска [9]. Несмотря на очевидность общности этого метода и системного анализа, их совместное использование нам неизвестно [4]. В значительной степени это обусловлено недостаточной разработанностью теоретико-методологического и методического подходов к анализу больших объемов [6].

В качестве одного из методов решения задачи по формированию социально-экономической среды объектов используется иерархический подход, в рамках которого все происходящие процессы исследуются системно [7]. Любой объект представляется как система, имеющая многоуровневую структуру в функциональном, организационном или каком-либо ином плане. При этом системы низшего уровня являются подсистемами систем более высокого уровня, которые, в свою очередь, представляют подсистемы систем еще более высокого уровня и т. д. вплоть до так называемой суперсистемы, находящейся на верхней степени иерархической структуры [8].

Отсюда цель исследования — оценить возможность использования системного подхода при использовании балансовых методов в анализе выпуска валовой продукции отраслями РФ.

Материалом исследования явилась модель отраслей РФ за 2000 г. размером 36×39 [9]. Основным инструментом при ее анализе был принят алгоритм системного подхода [10].

Результаты исследований

В большой системе первого эшелона среди 24 показателей валового выпуска продукции отраслями экономики Российской Федерации

обнаруживается три системообразующих элемента, что составляет 12,5 % от их общего числа (таблица 1). При этом наибольшее системообразующее влияние присуще продуктам нефтедобычи (–2,246), наименьшее — цветным металлам (–0,640). Индекс различия составил 3,51 раза.

Итак, 21 характеристика, или 87,5 % их общего числа, суть системоразрушающие. Минимальное влияние выражено у показателя «сельскохозяйственные продукты, услуги по обслуживанию сельского хозяйства и продукты лесного хозяйства» (0,156), максимальное — у показателя «услуги жилищно-коммунального хозяйства и непроизводственных видов бытового обслуживания населения» (7,695). Индекс различия между ними составил 49,3 раза.

Индекс стабильности первого эшелона составил всего 0,06, что свидетельствует о значительной слабости данного уровня рассматриваемого объекта.

Большую систему валового выпуска продукции отраслями экономики РФ можно представить в иерархическом виде четырех эшелонной пирамидой с объемом $V = 44,2$ ед.³ [1] (рис. 1).

По горизонтали пирамиды представлены подсистемы, а по вертикали — их эшелоны [5]. В подсистемах эшелонов номерами обозначены наиболее важные показатели: в левом верхнем углу — элементы активизации, определяющие запуск, а в правом нижнем углу — итог деятельности подсистемы. При этом чем выше уровень подсистем в пирамиде, тем выше их значимость и важность образующих их элементов в деятельности анализируемого объекта. Стрелки показывают направление управления подсистемами [2].

При объяснении полученных результатов выдвинута гипотеза, согласно которой эшелоны в пирамиде отражают круг ведущих проблем, связанных с выпуском валовой

Таблица 1

Системообразующие и системоразрушающие элементы в первом эшелоне большой системы валового выпуска продукции отраслями экономики РФ

Продукция	Σ	Место
Электро- и теплоэнергия	5,213	XVI
Нефтедобычи	-2,246	I
Нефтепереработки	7,122	XXII
Газовой промышленности	0,934	VII
Уголь	0,395	V
Горючие сланцы и торф	1,521	XII
Черные металлы	2,100	XIII
Цветные металлы	-0,640	III
Химической и нефтехимической промышленности	2,758	XIV
Машины и оборудование, продукты металлообработки	4,692	XV
Лесной, деревообрабатывающей и целлюлозно-бумажной промышленности	1,049	VIII
Строительные материалы (включая продукты стекольной и фарфорово-фаянсовой отрасли)	1,232	X
Легкой промышленности	-1,463	II
Пищевой промышленности	0,857	VI
Прочие промышленные продукты	1,454	XI
Строительства	5,791	XVIII
Сельскохозяйственные продукты, услуги по обслуживанию сельского хозяйства и продукты лесного хозяйства	0,156	IV
Услуги транспорта и связи	5,481	XVII
Торгово-посреднические услуги (включая услуги общественного питания)	5,880	XIX
Прочих видов деятельности	5,926	XX
Услуги жилищно-коммунального хозяйства и непроизводственных видов бытового обслуживания населения	7,695	XXIV
Услуги здравоохранения, физической культуры и социального обеспечения, образования, культуры и искусства	7,454	XXIII
Услуги науки и научного обслуживания, геологии и разведки недр, геодезических и гидрометеорологических служб	1,229	IX
Услуги финансового посредничества, страхования, управления и общественных объединений	6,850	XXI
Индекс (отрицательные/положительные корреляции)	0,06	

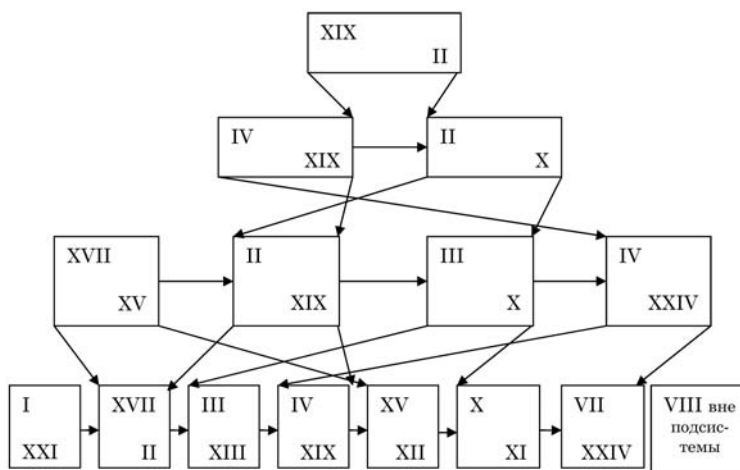


Рис. 1. Синергетические взаимоотношения подсистем и эшелонов большой системы показателей валового выпуска продукции отраслями экономики РФ

продукции, на разных иерархических уровнях пирамиды: области (основание) → регионы → федеральные округа → РФ [3].

По существу, одна из проблем, характерная для экономики страны, в результате структурного подъема к вершине выявленной пирамиды, доминирует сильнее, и в первую очередь именно ее необходимо решать путем целенаправленных ресурсных инвестиций в структуру элемента активизации управляющей подсистемы. При этом через нижележащие элементы активизации и итоги деятельности подсистем необходимо контролировать результат.

Сама подсистема формируется из имеющегося набора элементов на основе принципа минимальной ресурсной конкуренции, обеспечивая этим максимально экономное их использование. Большее число организуемых подсистем при постоянном числе используемых показателей определяет и большие возможности самореализации системы. Количественная (недостаток, избыток) или качественная (ориентация) несовместимость ресурсов ведет к невозможности организации подсистем. Переход на более высокий уровень (эшелон) системы требует больших

ресурсных возможностей для элемента, что создается вышестоящей системой за счет остальных, менее проблемных элементов [11].

В первом эшелоне большой системы, отражающем проблемы областей, располагается семь подсистем. В первой содержалось три элемента, ее активизация осуществлялась выпуском «продуктов нефтедобычи»; итогом являются «услуги финансового посредничества, страхования, управления и общественных объединений».

Модель функционирования подсистемы для заключительного элемента:

$$Y_{21} = 0,098 - 0,005 \cdot X_1 + 0,057 \cdot X_{22}, \quad (1)$$

где Y_{21} — «услуги финансового посредничества, страхования, управления и общественных объединений»; X_1 — «продукты нефтедобычи»; X_{22} — «продукты нефтепереработки».

В целом, согласно критерию Фишера, модель деятельности подсистемы, направленная на увеличение услуг финансового посредничества, страхования, управления и общественных объединений, адекватна ($F = 6,39$, p – level = 0,01), но поскольку часть коэффициентов регрессии недостоверна, ее можно использовать

только для принятия некоторых решений.

В наилучшей модели из-за математического несовершенства был удален независимый элемент «продукты нефтедобычи». После чего модель стала достаточно адекватной ($F = 12,7$, $p - \text{level} = 0,002$), а коэффициент регрессии достоверным, и ее можно использовать не только для принятия некоторых решений, но для прогнозирования.

В подсистеме второго порядка присутствуют три элемента, ее активизация происходит за счет изменения услуг транспорта и связи; итогом являются «продукты легкой промышленности».

Модель функционирования подсистемы для заключительного элемента:

$$Y_2 = 1,70 + 0,05 \cdot X_{17} - 0,24 \cdot X_{16}, \quad (2)$$

где Y_2 — «продукты легкой промышленности»; X_{17} — «услуги транспорта и связи»; X_{16} — «электро- и теплоэнергия».

В целом, согласно критерию Фишера, модель деятельности подсистемы, направленная на увеличение выпуска продукции легкой промышленности, неадекватна ($F = 0,58$, $p - \text{level} = 0,57$). Наилучшую модель в связи с математическим несовершенством элемента активизации построить не удалось.

В подсистеме третьего порядка присутствуют три элемента, активизация осуществляется за счет выпуска цветных металлов; итогом является выпуск черных металлов.

Модель функционирования подсистемы для заключительного элемента:

$$Y_{13} = 2,26 + 0,09 \cdot X_3 + 0,22 \cdot X_{16}, \quad (3)$$

где Y_{13} — «черные металлы»; X_3 — «цветные металлы»; X_{14} — «продукты химической и нефтехимической промышленности».

В целом, согласно критерию Фишера, модель деятельности подсистемы, направленная на увеличение выпуска черных металлов, неадекватна ($F = 0,24$, $p - \text{level} = 0,79$). Наилучшую модель в связи с математическим несовершенством элемента активизации построить не удалось.

В подсистеме четвертого порядка присутствуют четыре элемента, ее активизация осуществляется за счет выпуска сельхозпродуктов, продуктов лесного хозяйства, оказания услуг по обслуживанию сельского хозяйства; итогом является торгово-посреднические услуги (включая услуги общественного питания).

Модель функционирования подсистемы для заключительного элемента:

$$Y_{19} = -0,79 + 0,01 \cdot X_4 + 1,57 \cdot X_{18} + 1,09 \cdot X_{20}, \quad (4)$$

где Y_{19} — «торгово-посреднические услуги (включая услуги общественного питания)»; X_4 — «сельхозпродукты, услуги по обслуживанию сельского хозяйства и продукты лесного хозяйства»; X_{18} — «продукция строительства»; X_{20} — «продукты прочих видов деятельности».

В целом, согласно критерию Фишера, модель деятельности подсистемы, направленная на снижение торгово-посреднических услуг (включая услуги общественного питания), адекватна ($F = 70,4$, $p - \text{level} = 0,0001$), но поскольку часть коэффициентов регрессии недостоверны, ее можно использовать только для принятия некоторых решений, но не для прогнозирования.

В наилучшей модели из-за математического несовершенства был удален независимый элемент «выпуск сельхозпродуктов, продуктов лесного хозяйства, оказание услуг по обслуживанию сельского хозяйства». После чего модель стала более адекватной ($F = 112,4$, $p - \text{level} = 0,001$),

все коэффициенты регрессии достоверными, и ее можно использовать не только для принятия некоторых решений, но для прогнозирования.

В подсистеме пятого порядка присутствуют три элемента, ее активизация осуществляется за счет «выпуска машин и оборудования, продуктов металлообработки»; итогом являются «горючие сланцы и торф».

Модель функционирования подсистемы для заключительного элемента:

$$Y_{12} = 2,24 + 0,39 \cdot X_{15} + 0,42 \cdot X_5, \quad (5)$$

где Y_{12} — горючие сланцы и торф; X_{15} — машины и оборудование, продукты металлообработки; X_5 — уголь.

В целом, согласно критерию Фишера, модель деятельности подсистемы, направленная на увеличение выпуска горючих сланцев и торфа, неадекватна ($F = 1,08$, $p - \text{level} = 0,36$). В наилучшей модели из-за несовершенства был удален независимый элемент «машины и оборудование, продукты металлообработки», однако модель остается неадекватной ($F = 1,60$, $p - \text{level} = 0,22$).

В подсистеме шестого порядка присутствуют четыре элемента, ее активизация осуществляется элементом «строительные материалы»; итогом являются «прочие промышленные продукты».

Модель функционирования подсистемы для заключительного элемента:

$$Y_6 = 1,73 - 0,02 \cdot X_{10} + 12,02 \cdot X_{23} + 0,16 \cdot X_6, \quad (6)$$

где Y_6 — «прочие промышленные продукты»; X_{10} — «строительные материалы (включая продукты стекольной и фарфорово-фаянсовой промышленности)»; X_{23} — «услуги здравоохранения, физической культуры и социального обеспечения, образования, культуры и искусства»;

X_6 — «продукты пищевой промышленности».

В целом, согласно критерию Фишера, модель деятельности подсистемы, направленная на рост выпуска прочих промышленных продуктов, неадекватна ($F = 0,27$, $p - \text{level} = 0,85$). Наилучшую модель в связи с математическим несовершенством элемента активизации построить не удалось.

В подсистеме седьмого порядка присутствуют три элемента, ее активизация осуществляется за счет выпуска «продуктов газовой промышленности»; итогом являются «услуги жилищно-коммунального хозяйства и непроизводственных видов бытового обслуживания населения».

Модель функционирования подсистемы для заключительного элемента:

$$Y_{24} = 2,24 + 0,39 \cdot X_7 + 0,42 \cdot X_9, \quad (7)$$

где Y_{24} — «услуги жилищно-коммунального хозяйства и непроизводственных видов бытового обслуживания населения»; X_7 — «продукты газовой промышленности»; X_9 — «услуги науки и научного обслуживания, геологии и разведки недр, геодезических и гидрометеорологических служб».

В целом, согласно критерию Фишера, модель деятельности подсистемы, направленная на повышение «оказываемых услуг жилищно-коммунального хозяйства и непроизводственных видов бытового обслуживания населения», неадекватна ($F = 0,41$, $p - \text{level} = 0,67$). Наилучшую модель в связи с математическим несовершенством элемента активизации построить не удалось.

Вне структуры подсистем первого эшелона оказался показатель «продукты лесной, деревообрабатывающей и целлюлозно-бумажной промышленности».

Во втором эшелоне большой системы, отражающем проблемы ре-

гионов, системообразующими свойствами обладают пять характеристик, или 35,7% их общего числа (таблица 2). Максимально это осуществляет показатель «продукты нефтедобычи» (–1,550), минимально — «сельскохозяйственные продукты, услуги по обслуживанию сельского хозяйства и продукты лесного хозяйства» (–0,070). Индекс различия между ними составил 22,1 раза.

Системоразрушающими являются девять характеристик, или 64,3% их общего числа. Минимальное влияние выражено у показателя «строительные материалы (включая продукты стекольной и фарфорово-фаянсовой отрасли)» (0,704), максимальное — по показателю «услуги жилищно-коммунального хозяйства и непроизводственных видов бытового обслуживания населения» (3,222). Индекс различия между ними составил 4,58 раза.

Индекс стабильности второго эшелона составил 0,19, это свидетельствует о повышении его устойчивости в 6,3 раза в сравнении с нижележащим уровнем системы.

Во втором эшелоне большой системы располагается четыре подсистемы. В первой содержится четыре элемента. Ее активизация осуществлялась элементом «услуги транспорта и связи»; итогом стал «выпуск машин и оборудования, продуктов металлообработки».

Модель функционирования подсистемы для заключительного элемента:

$$Y_{15} = 1,39 - 0,06 \cdot X_{17} - 0,04 \cdot X_1 + 0,08 \cdot X_{12}, \quad (8)$$

где Y_{15} — «выпуск машин и оборудования, продуктов металлообработки»; X_{17} — «услуги транспорта и связи»;

Таблица 2

Системообразующие и системоразрушающие элементы во втором эшелоне большой системы валового выпуска продукции отраслями экономики РФ

Продукция	Σ	Место
Продукты нефтедобычи	–1,550	I
Продукты газовой промышленности	–0,282	IV
Горючие сланцы и торф	0,987	IX
Черные металлы	0,805	VII
Цветные металлы	–0,371	III
Машины и оборудование, продукты металлообработки	2,246	XI
Строительные материалы (включая продукты стекольной и фарфорово-фаянсовой отрасли)	0,704	VI
Продукты легкой промышленности	–0,774	II
Прочие промышленные продукты	0,945	VIII
Сельскохозяйственные продукты, услуги по обслуживанию сельского хозяйства и продукты лесного хозяйства	–0,070	V
Услуги транспорта и связи	2,241	X
Торгово-посреднические услуги (включая услуги общественного питания)	2,362	XII
Услуги жилищно-коммунального хозяйства и непроизводственных видов бытового обслуживания населения	3,222	XIV
Услуги финансового посредничества, страхования, управления и общественных объединений	2,422	XIII
Индекс (отрицательные/положительные корреляции)	0,19	

X_1 — «продукты нефтедобычи»; X_{12} — «горючие сланцы и торф».

В целом, согласно критерию Фишера, модель деятельности подсистемы, направленная на увеличение «выпуска машин и оборудования, продукты металлообработки», неадекватна ($F = 0,32$, p – level = 0,81). Наилучшую модель в связи с математическим несовершенством элемента активизации построить не удалось.

В подсистеме второго порядка содержалось три элемента. Активизация осуществлялась элементом «продукты легкой промышленности», итогом была характеристика «торгово-посреднические услуги (включая услуги общественного питания)».

Модель функционирования подсистемы для заключительного элемента:

$$Y_{19} = 2,291 + 0,306 \cdot X_6 + 0,312 \cdot X_{11}, \quad (9)$$

где Y_{19} — «торгово-посреднические услуги (включая услуги общественного питания)»; X_6 — «продукты пищевой промышленности»; X_{11} — «прочие промышленные продукты».

В целом, согласно критерию Фишера, модель деятельности подсистемы, направленная на увеличение «торгово-посреднических услуг», неадекватна ($F = 0,30$, p – level = 0,74). Наилучшую модель в связи с математическим несовершенством элемента активизации построить не удалось.

В подсистеме третьего порядка содержалось три элемента. Активизация осуществлялась элементом «цветные металлы», итогом была характеристика «строительные материалы (включая продукты стекольной и фарфорово-фаянсовой отрасли)».

Модель функционирования подсистемы для заключительного элемента:

$$Y_{10} = 3,46 - 0,19 \cdot X_3 + 0,48 \cdot X_{13}, \quad (10)$$

где Y_{10} — «строительные материалы (включая продукты стекольной

и фарфорово-фаянсовой отрасли)»; X_3 — «цветные металлы»; X_{13} — «черные металлы».

В целом, согласно критерию Фишера, модель деятельности подсистемы, направленная на увеличение «выпуска строительных материалов (включая продукты стекольной и фарфорово-фаянсовой отрасли)», неадекватна ($F = 0,49$, p – level = 0,62). Наилучшую модель в связи с математическим несовершенством элемента активизации построить не удалось.

В подсистеме четвертого порядка присутствуют четыре элемента, ее активизация осуществляется элементом «сельскохозяйственные продукты, услуги по обслуживанию сельского хозяйства и продукты лесного хозяйства»; итогом является элемент «услуги жилищно-коммунального хозяйства и непроизводственных видов бытового обслуживания населения».

Модель функционирования подсистемы для заключительного элемента:

$$Y_{24} = 0,179 + 0,004 \cdot X_4 + 0,026 \cdot X_7 + 1,788 \cdot X_{21}, \quad (11)$$

где Y_{24} — «услуги жилищно-коммунального хозяйства и непроизводственных видов бытового обслуживания населения»; X_4 — «сельхозпродукты, услуги по обслуживанию сельского хозяйства и продукты лесного хозяйства»; X_7 — «продукты газовой промышленности»; X_{21} — «услуги финансового посредничества, страхования, управления и общественных объединений».

В целом, согласно критерию Фишера, модель деятельности подсистемы, направленная на «повышение услуг жилищно-коммунального хозяйства и непроизводственных видов бытового обслуживания населения», адекватна ($F = 5,84$, p – level = 0,01), но поскольку часть коэффициентов регрессии незначима, ее можно

использовать только для принятия некоторых решений.

В наилучшей модели из-за математического несовершенства были удалены независимые элементы «сельхозпродукты, услуги по обслуживанию сельского хозяйства и продукты лесного хозяйства» и «продукты газовой промышленности». После чего модель стала более адекватной ($F = 18,5$, p – level = 0,0005), а коэффициент регрессии достоверным, и ее можно использовать не только для принятия некоторых решений, но и для прогнозирования.

На третьем эшелоне большой системы, подсистемы которого определяют проблемы федеральных округов, системообразующими свойствами обладают пять характеристик, или 37,5 % их общего числа (таблица 3). Максимально это осуществляет показатель «сельскохозяйственные продукты, услуги по обслуживанию сельского хозяйства и продукты лесного хозяйства» (–0,404), минимально — «продукты легкой промышленности» (–0,107). Индекс различия между ними составил 3,78 раза.

Системоразрушающими являются пять характеристик, или 62,5 % их общего числа. Минимальное влияние

выражено у показателя «строительные материалы (включая продукты стекольной и фарфорово-фаянсовой отрасли)» (0,230), максимальное присуще показателю «услуги жилищно-коммунального хозяйства и непроеизводственных видов бытового обслуживания населения» (2,091). Индекс различия между ними составил 9,09 раза.

Индекс стабильности третьего эшелона составил 0,11, что свидетельствует о снижении его устойчивости в 1,73 раза в сравнении со вторым уровнем системы.

В третьем эшелоне большой системы располагаются две подсистемы. В первой содержалось четыре элемента. Ее активизация осуществлялась элементом «сельскохозяйственные продукты, услуги по обслуживанию сельского хозяйства и продукты лесного хозяйства»; итогом стали «торгово-посреднические услуги (включая услуги общественного питания)».

Модель функционирования подсистемы для заключительного элемента:

$$Y_{19} = 1,39 - 0,06 \cdot X_4 - 0,04 \cdot X_{15} + 0,08 \cdot X_{12}, \quad (12)$$

Таблица 3

Системообразующие и системоразрушающие элементы в третьем эшелоне большой системы валового выпуска продукции отраслями экономики РФ

Продукция	Σ	Место
Цветные металлы	–0,236	II
Машины и оборудование, продукты металлообработки	1,226	V
Строительные материалы (включая продукты стекольной и фарфорово-фаянсовой отрасли)	0,230	IV
Продукты легкой промышленности	–0,107	III
Сельскохозяйственные продукты, услуги по обслуживанию сельского хозяйства и продукты лесного хозяйства	–0,404	I
Услуги транспорта и связи	1,687	VI
Торгово-посреднические услуги (включая услуги общественного питания)	1,832	VII
Услуги жилищно-коммунального хозяйства и непроеизводственных видов бытового обслуживания населения	2,091	VIII
Индекс (отрицательные/положительные корреляции)	0,11	

где Y_{19} — «торгово-посреднические услуги (включая услуги общественного питания)»; X_4 — «сельхозпродукты, услуги по обслуживанию сельского хозяйства и продукты лесного хозяйства»; X_{15} — «машины и оборудование, продукты металлообработки»; X_{12} — «услуги транспорта и связи».

В целом, согласно критерию Фишера, модель деятельности подсистемы, направленная на увеличение элемента «торгово-посреднические услуги (включая услуги общественного питания)», адекватна ($F = 47,3$, p – level = 0,0000001), но поскольку часть коэффициентов регрессии незначима, ее можно использовать только для принятия некоторых решений. В наилучшей модели из-за математического несовершенства были удалены независимые элементы «сельхозпродукты, услуги по обслуживанию сельского хозяйства и продукты лесного хозяйства», «машины и оборудование, продукты металлообработки». После чего модель стала более адекватной ($F = 157,4$, p – level = 0,000000005), а коэффициент регрессии достоверным, и ее можно использовать не только для принятия некоторых решений, но и для прогнозирования.

В подсистеме второго порядка сохранилось четыре элемента. Ее активизация осуществлялась элементом «продукты легкой промышленности», итогом были «строительные материалы (включая продукты стекольной и фарфорово-фаянсовой)».

Модель функционирования подсистемы для заключительного элемента:

$$Y_{10} = 3,29 - 0,41 \cdot X_2 + 2,99 \cdot X_{24} - 0,18 \cdot X_3, \quad (13)$$

где Y_{10} — «строительные материалы (включая, продукты стекольной и фарфорово-фаянсовой промышленности)»; X_2 — «продукты легкой промышленности»; X_{24} — «услуги

жилищно-коммунального хозяйства и непроеизводственных видов бытового обслуживания населения»; X_3 — «цветные металлы».

В целом, согласно критерию Фишера, модель деятельности подсистемы, направленная на увеличение заключительного элемента «строительные материалы (включая, продукты стекольной и фарфорово-фаянсовой промышленности)», неадекватна ($F = 0,18$, p – level = 0,91). Наилучшую модель в связи с математическим несовершенством элемента активизации построить не удалось.

Управляющий этаж пирамиды представлен подсистемой, где присутствуют четыре элемента. Элементом активизации выступают «торгово-посреднические услуги (включая услуги общественного питания); ее итогом стал выпуск «продуктов легкой промышленности».

Модель функционирования подсистемы для заключительного элемента:

$$Y_2 = 1,023 + 0,03 \cdot X_{19} - 0,015 \cdot X_{10} - 0,025 \cdot X_4, \quad (14)$$

где Y_2 — «продукты легкой промышленности»; X_{19} — «торгово-посреднические услуги»; X_{10} — «строительные материалы (включая продукты стекольной и фарфорово-фаянсовой промышленности)»; X_4 — «сельхозпродукты, услуги по обслуживанию сельского хозяйства и продукты лесного хозяйства».

В целом, согласно критерию Фишера, модель деятельности подсистемы, направленная на увеличение элемента «продукты легкой промышленности», неадекватна ($F = 0,09$, p – level = 0,96). Наилучшую модель в связи с математическим несовершенством элемента активизации построить не удалось.

Необходимо обратить внимание на следующие особенности большой системы показателей выпуска валовой продукции отраслями РФ:

- четвертый, третий и второй эшелоны пирамиды не полностью охватывают нижележащий уровень и, в частности, запускающую подсистему, что не позволяет эффективно контролировать и активизировать их деятельность;
 - основным запускающим элементом системы выпуска продукции отраслями РФ является показатель «торгово-посреднические услуги (включая услуги общественного питания)», ее итогом — выпуск «продуктов легкой промышленности»;
 - большинство итогов подсистем пирамиды (92,9 %) свидетельствует о необходимости повышения выпуска отраслями продукции или услуг;
 - устойчивость системы отраслей РФ слабая, в эшелонах она изменяется по схеме: первый (0,06) → второй (0,19) → третий (0,11);
 - только у 28,6 % моделей подсистем, согласно критерию Фишера, присутствует адекватность, что позволяет считать их пригодными для использования;
 - при создании наилучших моделей для заключительных элементов подсистем были исключены как математически несовершенные в первом эшелоне: «продукты нефтедобычи», «сельскохозяйственные продукты, услуги по обслуживанию сельского хозяйства и продукты лесного хозяйства», «машины и оборудование, продукты металлообработки». Во втором эшелоне — «сельскохозяйственные продукты, услуги по обслуживанию сельского хозяйства и продукты лесного хозяйства», «продукты газовой промышленности». В третьем эшелоне — «сельскохозяйственные продукты, услуги по обслуживанию сельского хозяйства и продукты лесного хозяйства», «машины и оборудование, продукты металлообработки»;
 - из-за математического несовершенства элементов активизации системы (70,5 %) увеличиваются финансовые затраты на запуск элементов подсистем и эшелонов пирамиды;
 - вне структуры подсистем первого эшелона оказался показатель «продукты лесной, деревообрабатывающей и целлюлозно-бумажной промышленности», что говорит о его несостоятельности в рамках рассматриваемой большой системы.
- Использование предлагаемого алгоритма системного анализа при оценке выпуска продукции отраслями не только расширяет возможности более продуктивного использования балансовых методов, но и позволяет объективно выявлять экономически неэффективные отрасли, а также воздействовать на их состояние через полученные модели подсистем. ■

Литература

1. Гизатуллин Х.Н., Ризванов Д.А. Проблемы управления сложными социально-экономическими системами. Екатеринбург: Изд-во «Экономика», 2005. — 218 с.
2. Гизатуллин Х.Н., Смотаев А.А., Дорошенко Ю.А. Структурные взаимоотношения в социально-экономической системе Челябинской области // Экономика региона, 2009. № 4. — С. 60–69. ISSN 2072-6414.
3. Гизатуллин Х.Н., Смотаев А.А., Дорошенко Ю.А. Математико-статистический анализ системы социально-экономических показателей развития Республики Башкортостан // Вестник ВЭГУ, 2011. № 4 (54). — С. 8–22. ISSN 1918-0078.
4. Голубков Е.П. Использование системного анализа в принятии плановых решений. М.: Экономика, 1982. — 160 с.
5. Дорошенко Ю.А., Смотаев А.А. Теоретические и методологические основы анализа интегрированных экономических систем. Челябинск: ФГБОУ ВПО «Челябинская государственная агроинженерная академия», 2011. — 276 с.

6. Качество жизни и экономическая безопасность России // Под ред. академика РАН и РАМН В.А. Черешнева, академика РАН А.И. Татаркина. Екатеринбург: Институт экономики, 2009. — 1184 с.
7. Катаева Ю.В. Построение эффективной системы взаимодействия субъектов регионального рынка жилищного строительства: иерархический подход // Тр. Всерос. симпозиума по экономической теории; Т. II: Мезоэкономика, макроэкономика. Екатеринбург: Институт экономики, 2008. — С. 80–83.
8. Крайзмер Л.П. Кибернетика — М.: Аропромиздат, 1985. — 256 с.
9. Симчера В.М. Методы многомерного анализа статистических данных. — М.; Финансы и статистика, 2008. — 400 с.
10. Самотаев А.А. Алгоритм анализа больших систем показателей объектов природного и неприродного характера // Информатика и системы управления, 2008. № 2 (16). С. 41–43.
11. Самотаев А.А., Дорошенко Ю.А. Структурный анализ экономических систем (теория и практика). Тюмень: Ист. Консалтинг, 2010. 298 с.

References:

1. Gizatullin Kh. N., Rizvanov D. A. Problemy upravleniya slozhnymi sotsialno-ekonomicheskimi sistemami. Ekaterinburg [Problems of management of complex socio-economic systems]: Izd-vo «Ekonomika», 2005. — 218 s.
2. Gizatullin Kh. N., Samotaev A. A., Doroshenko Yu. A. Strukturnye vzaimootnosheniya v sotsialno-ekonomicheskoy sisteme Chelyabinskoy oblasti [Structural relations in socio-economic systems of Chelyabinsk region] // Ekonomika regiona, 2009. № 4. — S. 60–69. ISSN 2072-6414.
3. Gizatullin Kh. N., Samotaev A. A., Doroshenko Yu. A. Matematiko-statisticheskij analiz sistemy sotsialno-ekonomicheskikh pokazatelej razvitiya Respubliki Bashkortostan [Mathematically-statistical analysis of the system of socio-economic factors of the development of the republic of Bashkortostan] // Vestnik VEGU, 2011. № 4 (54). — S. 8–22. ISSN 1918-0078.
4. Golubkov E. P. Ispolzovanie sistemnogo analiza v prinyatii planovykh reshenij [Use of system analysis in decision making]. M.: Ekonomika, 1982. — 160 s.
5. Doroshenko Yu. A., Samotaev A. A. Teoreticheskie i metodologicheskie osnovy analiza integrirovannykh ekonomicheskikh sistem [Theoretical and methodological fundamentals of integrated economic systems] Chelyabinsk: FGBOU VPO «Chelyabinskaya gosudarstvennaya agroinzhenernaya akademiya», 2011. — 276 s.
6. Kachestvo zhizni i ekonomicheskaya bezopasnost Rossii [Life quality and economic safety of Russia] // Pod red. akademika РАН i RAMN V. A. Cheresheva, akademika РАН A. I. Tatarkina. Ekaterinburg: Institut ekonomiki, 2009. — 1184 s.
7. Kataeva Yu. V. Postroenie effektivnoj sistemy vzaimodejstviya subjektov regionalnogo rynka zhilishchnogo stroitelstva: ierarhicheskij podhod [Effective system construction of entities' interaction of regional housing market: hierarchical approach] // Tr. Vseros. simpoziuma po ekonomicheskoy teorii; T. II: Mezoekonomika, makoekonomika. Ekaterinburg: Institut ekonomiki, 2008. — S. 80–83.
8. Krajzmer L. P. Kibernetika [Cybernetics] — M.: Aropromizdat, 1985. — 256 s.
9. Simchera V. M. Metody mnogomernogo analiza statisticheskikh dannykh [Methods of multivariate analysis of statistical data]. — M.: Finansy i statistika, 2008. — 400 s.
10. Samotaev A. A. Algoritm analiza bolshikh sistem pokazatelej objektov prirodnogo i neprirodnogo kharaktera [Algorithm of grand systems' analysis of objects' factors of natural and unnatural character] // Informatika i sistemy upravleniya, 2008. № 2 (16). S. 41–43.
11. Samotaev A. A., Doroshenko Yu. A. Strukturny analiz ekonomicheskikh sistem (teoriya i praktika) [Structural analysis of economic systems (theory and practice)]. Tyumen: Ist. Konsalting, 2010. 298 s.

Статья сдана в редакцию 3 декабря 2011 года

УДК 692.522.2: 624.073.136

А. В. Шипуля, С. М. Скоробогатов

Проблемы уточнения деформативных характеристик при определении прогибов безбалочных бескапитальных перекрытий

UDC 692.522.2: 624.073.136

A. V. Shipulya, S. M. Skorobogatov

Problems of refinement deformative characteristics in determining deflections in flat plate floor

Аннотация

Анализируются современные проблемы проектирования безбалочных бескапитальных монолитных железобетонных перекрытий.

Сообщается о необходимости с помощью инженерных, приближенных, методов расчета предварительно назначать в плитах перекрытий различные зоны (с трещинами и без) и подготавливать обоснованные данные по деформативным свойствам для использования в более точных расчетах в программных комплексах, основанных на методе конечных элементов. Объясняется необходимость выполнения расчетов, служащих поверочными для расчетов в программных комплексах.

Предложен вариант методики более точного определения величин кривизны и жесткости изгибаемых железобетонных элементов через уточненное напряженно-деформированное состояние по сравнению с приближенным расчетом по действующим нормативным документам, в сочетании с методикой поверочных расчетов дающий более точные и обоснованные данные для использования их в сертифицированных программах.

Ключевые слова:

безбалочное бескапитальное перекрытие; деформативные характеристики; метод конечных элементов; жесткость; методы поверочных расчетов; анализ напряженно-деформированного состояния.

Abstract

The problems of designing reinforced concrete solid-cast flat plate floor are analyzed.

It is explained the necessity to perform calculations that serve as checking for the calculations in software systems based on finite element method. The necessity of previously assign various areas of slab (with cracks and without cracks) to use in engineering, approximate methods of calculation and to produce valid data on deformative properties for more accurate calculations in software systems.

A variant of a more accurate method of determining the values of the curvature and stiffness of the reinforced concrete elements in the analysis of the stress-strain state in comparison with the approximate calculation by the current normative documents is proposed. It gives more accurate and valid data for use in certified programs in combination with the method of checking calculations.

Keywords:

flat plate floor; deformative characteristics, finite element method, stiffness, methods of checking calculations, analysis of the stress-strain state.

Антон Витальевич Шипуля — аспирант; кафедра «Строительные конструкции и строительное производство» Уральского государственного университета путей сообщения; Екатеринбург, Россия. E-mail: disciple_nt@mail.ru

Семен Макеевич Скоробогатов — д-р техн. наук, профессор, член-корреспондент Российской академии архитектурных и строительных наук, заслуженный деятель науки Российской Федерации; кафедра «Строительные конструкции и строительное производство» Уральского государственного университета путей сообщения; Екатеринбург, Россия. E-mail: SSkorobogatov@sksp.usurt.ru.

A. Shipulya — postgraduate student of the Ural State University of Railway Transport, the department: «Building structures and building manufacture»; Yekaterinburg, Russian Federation. E-mail: disciple_nt@mail.ru.

S. Skorobogatov — Doctor of Technical Sciences, Corresponding Member of Russian Academy of Architectural and Building Sciences, Honored Scientist of Russian Federation; professor of the Ural State University of Railway Transport, the department: «Building structures and building manufacture»; Yekaterinburg, Russian Federation. E-mail: SSkorobogatov@sksp.usurt.ru.

At present, in Russia by different estimates up to 60 % of all new buildings being erected on monolithic concrete. And most of these buildings have elements of flat plate floor.

And naturally, building engineers often face with designing flat plate floors. Meanwhile, because of the general small thickness of floor and the absence of column caps, the deformations of slabs are relatively large and the task of limiting deflections is more complicated than in structures with column caps. Therefore it is obvious that to prevent possible catastrophes [1] the correct assessment of deformative characteristics of reinforced concrete elements with cracks and inelastic deformations in concrete for flat plate floors is absolutely necessary [2].

The current building codes [3, 4] content all design relationships even for linear elements and don't use separate stages of structural behavior. But only some part of the construction of modern buildings and facilities may be considered as conditionally linear. The other part consists of the spatial constructions, working under conditions of complicated stress-strain state, such as flat plate floors. It is therefore very important to develop methods of calculation, which would best reflect the behavior of such structures.

As noted by A. Zalesov [5] calculation of reinforced concrete structures currently consists of two components. The first component is the calculation of the structural system of the building within the structural mechanics. The second component of the calculation is the calculation of strength, cracking resistance and deformation of reinforced concrete elements on the efforts, obtained from the calculation of structural building systems. Each of these components in certain stages of the calculation will prevail to ensure the safety of the building.

Calculation of flat plate floor is widely used today by the finite element

method (FEM). The calculation is performed mainly on the elastic characteristics of deformative, considering the stiffness reinforced concrete as a continuous elastic bodies. FEM is the most simple in execution on the computer and it is mainly targeted existing software systems (LIRA, «Monomakh», SCAD, MicroFe, etc.).

In some programs, in addition to the elastic there are also calculations of reinforced concrete structures subject to plastic behavior of reinforced concrete. Calculation method taking into account the plastic concrete work in these programs is not always disclosed, and it remains unclear whether it corresponds to the current building codes. Meanwhile, an incorrect assessment of efforts in the elements of flat plate floor can lead to errors in the calculation not only on the ultimate limit state but also on the service limit state. A simple and effective method that can serve as a basis for programs that implement the calculation of constructions on limit states, including for flat plate floor has been proposed in the article by S. Skorobogatov and A. Radko [6].

And until disadvantages of certified programs in the accounting for the plastic behavior of reinforced concrete will be overcome, it seems reasonable to perform calculations that serve as checking for finite element method for certified programs. Or, conversely, with the help of engineering, approximate methods of calculation previously set different areas of slabs (with cracks and without crack) and prepare reasonable data for deformative properties for use in more accurate calculations in software systems. This principle was proposed in the training guide of S. Skorobogatov [7]. Analysis of the results of calculations there show that calculations of deflections are crucial in the design of flat plate floors. The choice of method of checking calculations depends on the urgency, the required accuracy and purposes of calculations. To obtain

an indicative estimate of the stiffness of the flat plate floor, you can use the finite formulas of theory of strength of materials. To obtain a more accurate estimate you should use the equivalent frame method [8, 9]. In the case of high certainty in the values of moments at the supports is advisable to use static or kinematic methods for calculating of edge supported plates. For the scientific research the stiffness necessary to determine by the special equations and formulas that take into account the specific deformation curves of concrete. Also, the direct deformative calculation should be performed primarily to check the deflections of bending reinforced concrete elements that are most likely to form cracks, as well as to account for the redistribution of the efforts in slab, which allows reducing the efforts in their areas of concentration and more evenly distributing the reinforcement.

It is proposed variation of the more accurate determination of the values of curvature and stiffness of the bending element of flat plate floor through the analysis of the stress-strain state, as detailed in the training guide [7].

It is well known that between the curvature and stiffness of the section there is the following relationship:

$$\frac{1}{r} = \frac{M}{D}, \quad (1)$$

where D — section stiffness with or without considering cracks;

M — acting at the section bending moment.

In the case of cracks, which are the usual case of exploitation, the stiffness may be determined by the approximate formula [3, 4]:

$$D = E_{s,red} A_s Z (h_0 - x_m). \quad (2)$$

In this formula the values are need to be clarified: Z — arm of bending couple и x_m — depth of compression area of section.

In its structure, formula (2) similar to the expression of moment of inertia for a continuous elastic body (without cracks):

$$I = W \cdot y, \text{ or } W = I/y,$$

where $W = A_s Z$; $y = h_0 - x_m$.

In addition, formula (2) can be used for only two end results — short term and long term loading. Intermediate stages of exploitation are ignored or passed over in silence.

Physics of the deformation of reinforced concrete elements with cracks allowable to determine from the kinematics of the plane section of the element:

$$\frac{1}{r} = \frac{\varepsilon_s + \varepsilon_b}{h_0} \quad (3)$$

or taking into account the coefficients $\psi_b = 0,9$ (see SNiP 2.03.01–84* [10]) and ψ_s (coefficients ψ_b и ψ_s are need to be clarified) can be written as

$$\frac{1}{r} = \frac{\psi_s \varepsilon_s + \psi_b \varepsilon_b}{h_0}, \quad (4)$$

where ε_s and ε_b — relative strains of reinforcement and concrete of extreme fibers.

Using the hypothesis of plane sections, the analysis of the stress state of bending reinforced concrete element made using the equations of equilibrium to the longitudinal axis of the element [11, 12] (see Fig. 1):

$$\Sigma X = 0; \quad (5)$$

$$N_{bc} - N_{bt} - N_s = 0; \quad (5)'$$

where N_{bc} , N_{bt} , N_s — resultants of the compression zone of concrete, the tension zone of concrete and tension reinforcement.

Resultants for equation (5) are equal to

$$N_{bc} = b \int_0^x \sigma_b dx; \quad (6)$$

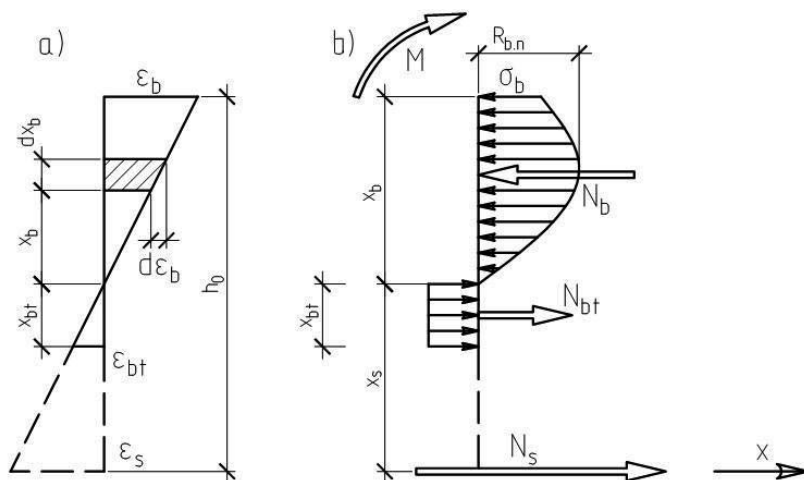


Fig. 1. Deformation (a) and stress (b) diagrams in the concrete to determine the resultant N_b , N_{bt} and N_s

$$N_{bt} = w R_{bt,n} b \cdot x_{bt}; \quad (7)$$

$$N_s = \sigma_s A_s. \quad (8)$$

For the definition of σ_b used a simple and convenient relationship of FIP-CEB 1970:

$$\sigma_{bc} = R_b \left[2 \frac{\varepsilon_{bc}}{\varepsilon_{bm}} - \left(\frac{\varepsilon_{bc}}{\varepsilon_{bm}} \right)^2 \right], \quad (9)$$

where ε_{bm} — limit deformation of concrete under compression.

Coefficient of completeness of diagram of the tension zone of concrete taken $w = 1,0$.

Further, it is taken into account that

$$\varepsilon_{b0} = \varepsilon_s \frac{x_{bc}}{h_0 - x_{bc}} = \varepsilon_s \frac{h_0 - x_s}{x_s}; \quad \xi_s = \frac{x_c}{h_0},$$

where $x_c = x_{bt} + x_{cre}$, $x_{bc} = h_0 - x_s$.

As a result of the transformations obtained the following expanded equation of equilibrium $\Sigma X = 0$:

$$\left[1 + 3 \frac{\varepsilon_{bm}}{\varepsilon_s} - \frac{3w R_b \varepsilon_{bt} \varepsilon_{bm}^2}{R_b \varepsilon_s^3} \right] \xi_s^3 -$$

$$- \left[3 + \frac{6\varepsilon_{bm}}{\varepsilon_s} + 3 \frac{\sigma_s \mu_s \varepsilon_{bm}^2}{R_b \varepsilon_s^2} \right] \xi_s^2 + \left[3 + \frac{3\varepsilon_{bm}}{\varepsilon_s} \right] \xi_s - 1,0 = 0. \quad (10)$$

To use this equation necessary first calculate the coefficients occurring in it in view of long term loading according to SP 52-101-2003 [3]:

$$\mu_{bm} = \mu_{b,1.red}, \text{ see table 5.6 [3];}$$

$$\varepsilon_{bt} = \varepsilon_{b,2.red}; \quad \mu_s = \frac{A_s}{bh_0};$$

$$R_b = R_{b,n}; \quad R_{bt} = R_{bt,n}; \quad w = 1,0.$$

Influence of $\psi_b \varepsilon_b$ in (10) is substituted by the product $\psi_b R_{b,n} = 0,9 \cdot R_{b,n}$. The product $\psi_s \varepsilon_s$ in calculations is replaced by $\psi_s \sigma_s$. Stress σ_s is determined by the formula:

$$\sigma_s = \frac{M}{A_s (h_0 - 0,333x_m)},$$

where x_m is determined by the formula (7.41) SP 52-101-2003 [3]:

$$x_m = h_0 (\sqrt{(\mu_s \alpha_{s2})^2 + 2\mu_s \alpha_{s2}} - \mu_s \alpha_{s2})$$

The value of the coefficient ψ_s is equal to

$$\psi_s = 1 - 0,8 \frac{M_{erc}}{M}$$

In equation (10) input products:

$$\psi_s \sigma_s \text{ и } \psi_s \varepsilon_s,$$

where the value is $\psi_s \varepsilon_s = \psi_s \frac{\sigma_s}{E_s}$.

After the introduction of prepared components of the calculation in equation (10) we obtain cubic equation for the value ξ_s , which is simply solved by Newton's method from the theory of approximate solutions or using different software (MathCad, etc.).

Thus, accepting normal section with the moment M , we get

$$x_s = \xi_s h_0; x_b = h_0 - x_s; \xi_{bt} = \frac{\varepsilon_{bt}}{\varepsilon_s} \xi_s;$$

$$\psi_b \varepsilon_b = \psi_s \varepsilon_s \frac{x_b}{x_s}.$$

According to formula (4) define the curvature $\frac{1}{r}$ of the bending element to determine the value of stiffness from the formula (1):

$$D = Mr.$$

Calculated by this method stiffness of supporting column equivalent frame of flat plate floor in the training guide [7] is greater than the stiffness calculated from the formula (2) at 22.7%. Thus, the exact solution can provide significant savings compared with the approximate calculation of SP 52-101-2003 [3] and in combination with the method of checking calculations it gives more accurate and valid data for use in certificated programs. ■

References

1. Skorobogatov S., Khomyakov V., Mordanov O., Mordanova E. Classification of catastrophes of reinforced concrete structures // Herald of Ural State University of Railway Transport, 2010, № 4. — P. 63–71. ISSN 2079–0392 (In Russia: Скоробогатов С.М., Хомяков В.А., Морданов О.Н., Морданова Е.С. Классификация катастроф железобетонных конструкций // Вестник УрГУПС, 2010, № 4. — С. 63–71.) ISSN 2079–0392.
2. Shipulya A., Skorobogatov S. Problems of calculation of reinforced concrete monolithic flat plate floors // Transport of the XXI century: research, innovation and infrastructure: Materials Science and Engineering Conference, dedicated to the 55th anniversary of Ural State University of Railway Transport: 2 tomes; Vol. 97 (180), tome 1 // Yekaterinburg: Ural State University of Railway Transport, 2011. — P. 938–942 (In Russia: Шипуля А.В., Скоробогатов С.М. Проблемы расчета железобетонных монолитных бескапительных безбалочных перекрытий // Транспорт XXI века: исследования, инновации, инфраструктура: материалы научн.-техн. конф., посв. 55-летию УрГУПС: в 2-х т. — Вып. 97 (180), т. 1 // Екатеринбург: УрГУПС, 2011. — С. 938–942) ISBN 978-5-94614-204-1.
3. Concrete and reinforced concrete construction without pre-stressing of reinforcement // Code of Practice. SP 52-101-2003. M.: Scientific-Research, Design and Technological Institute of Concrete and Reinforced Concrete, 2005. — 53 с. (In Russia: Бетонные и железобетонные конструкции без предварительного натяжения арматуры // Свод правил. СП 52-101-2003. М.: НИИЖБ, 2005. — 53pp.) ISBN 5-9685-0003-4.
4. Guide for the design of concrete and reinforced concrete structures of normal-weight concrete without pre-stressing of reinforcement (to SP 52-101-2003). M.: Scientific-Research, Design and Technological Institute of Concrete and Reinforced Concrete, 2005. — 150 pp. (In Russia: Пособие по проектированию бетонных и железобетонных конструкций из тяжелого бетона без предварительного натяжения арматуры (к СП 52–101–2003). — М.: НИИЖБ, 2005. — 150 с.).

5. Zalesov A. Brief notes about the calculation of monolithic reinforced concrete buildings. M.: ОАО ЦПП, 2007. — 63 p. (In Russia: Залесов А. С. Краткие заметки о расчете железобетонных конструкций монолитных зданий. — М.: ОАО ЦПП, 2007. — 63 с.)
6. Skorobogatov S., Radko A. Problems of strength and deformability of monolithic concrete beamless overlap with holes // Herald of Ural State University of Railway Transport, 2011, № 4. — P. 56–61 (In Russia: Скоробогатов С. М., Радько А. А. Проблемы прочности и деформативности монолитных железобетонных безбалочных перекрытий с отверстиями // Вестник УрГУПС, 2011, № 4. — С. 56–61.) ISSN 2079–0392.
7. Skorobogatov S. Checking calculations of reinforced concrete monolithic flat plate floors of service limit state (deflections, cracks) / For bachelors, engineers and graduate students of specialty Industrial and Civil Engineering. — Yekaterinburg: Ural State University of Railway Transport, 2011. — 80 pp. (In Russia: Скоробогатов С. М. Поверочные расчеты безбалочных бескапитальных монолитных железобетонных перекрытий по второй группе предельных состояний (прогибы, трещины) / Для бакалавров, инженеров и магистрантов специальности ПГС. — Екатеринбург: УрГУПС, 2011. — 80 с.)
8. Guide for analysis of statically indeterminate reinforced concrete structures / Scientific-Research Institute of Concrete and Reinforced Concrete in the USSR State Construction Committee. M.: Stroizdat, 1975. — 193 pp. (In Russia: Руководство по расчету статически неопределимых железобетонных конструкций / НИИ бетона и железобетона Госстроя СССР. — М.: Стройиздат, 1975. — 193 с.)
9. Guide for designing reinforced concrete constructions with flat slab floors / Scientific-Research Institute of Concrete and Reinforced Concrete of the USSR State Construction Committee, Central scientific-research, design and experimental institute of industrial buildings and structures of the USSR State Construction Committee, the Ural design and scientific-research institute of the USSR State Construction Committee. M.: Stroizdat, 1979. — 63 pp. (In Russia: Руководство по проектированию железобетонных конструкций с безбалочными перекрытиями / НИИ бетона и железобетона Госстроя СССР, Центр. н.-и. и проект.-эксперим. ин.-т пром. зданий и сооружений Госстроя СССР, Урал. проект. и н.-и. ин.-т Госстроя СССР. М.: Стройиздат, 1979. — 63 с.)
10. Concrete and reinforced concrete structures. SNiP 2.03.01–84*. M.: Russian Ministry of Construction, 1996. — 77 pp. (In Russia: Бетонные и железобетонные конструкции. СНиП 2.03.01–84*. М.: Минстрой России, 1996. — 77 с.)
11. Skorobogatov S. Catastrophes and survivability of reinforced concrete structures (classification and elements of the theory). Ekaterinburg: The Ural State University of Railway Transport, 2009. — 511 pp. (In Russia: Скоробогатов С. М. Катастрофы и живучесть железобетонных сооружений (классификация и элементы теории). Екатеринбург: УрГУПС, 2009. — 511 с.)
12. Skorobogatov S. M. The principle of information entropy in fracture mechanics of buildings and rock seams. Yekaterinburg: The Ural State University of Railway Transport, 2000. — 420 pp. (In Russia: Скоробогатов С. М. Принцип информационной энтропии в механике разрушения и горных пластов. — Екатеринбург, УрГУПС, 2000. — 420 с.)

Статья сдана в редакцию 23 декабря 2011 года

РАЗВИТИЕ ТРАНСПОРТНЫХ СИСТЕМ

УДК 625.11

И. В. Турбин, П. В. Мудров

Параметры проекта и трасса грузообразующих железных дорог

UDC 625.11

I. V. Turbin, P. V. Mudrov

Project parameters and cargo-generating railways' route

Аннотация

Статья посвящена одной из важнейших проблем развития транспортной системы Российской Федерации — строительству грузообразующих железных дорог, призванных обеспечить ввод в действие многих десятков разведанных и оцененных месторождений полезных ископаемых и освоение малообжитых регионов страны.

В статье сформулированы некоторые подходы к проектированию трассы грузообразующих железных дорог в плане, что представляет ее научную новизну. Введено новое понятие: «линейная составляющая критерия оценки развития трассы в дисконтированном виде», учитывающее размеры грузопотока в динамике от начала работы до расчетного срока, единичную стоимость перевозки груза, стоимость верхнего строения пути и расходы по содержанию постоянных устройств.

Ключевые слова:

особенности грузообразующих железных дорог; трассирование; критерии оценки развития трассы; равноценное удлинение трассы.

Abstract

The article is devoted to one of the most essential problems of transport system development in the Russian Federation, namely, to the construction of cargo-generating railways, aimed at providing implementation of many tens of proven and assessed territories of minerals and development of thinly populated country regions.

In the article they are formulated some approaches to projecting of cargo-generating railways route in a plan, which presents its scientific novelty. It is introduced the new notion — linear component of assessment criterion of route development in discounted form, taking into account the amount of freight flow in dynamics from the start to the projected term, unit cost of cargo transportation, cost of track structure and expenses on fixed equipment maintenance.

Key words:

peculiarities of cargo-generating railways, tracing, assessment criterion of route development, equivalent route lengthening, cargo-generating railway.

Турбин Игорь Всеволодович — д-р техн. наук, профессор; кафедра «Изыскания и проектирование железных дорог» Московского государственного университета путей сообщения; Москва, Россия. E-mail: turbinigor@mail.ru.

Мудров Павел Валерьевич — аспирант; кафедра «Изыскания и проектирование железных дорог» Московского государственного университета путей сообщения; Москва, Россия. E-mail: mudrov17@mail.ru.

Igor V. Turbin — DSc, Professor; «Surveying and railways designing» chair at Moscow State University of Railway Transport; Moscow, Russia. E-mail: turbinigor@mail.ru.

Pavel V. Mudrov — Ph.D. student; «Surveying and railways designing» chair at Moscow State University of Railway Transport; Moscow, Russia. E-mail: mudrov17@mail.ru.

В «Стратегии–2030» впервые введена классификация проектируемых железных дорог по их назначению. В документе в особую группу сведены грузообразующие железные дороги, главное назначение которых состоит в освоении как новых месторождений полезных ископаемых, так и малообжитых территорий [1].

Актуальность такой классификации очевидна [2, 3]. Из-за отсутствия железных дорог не осваиваются 23 крупных разведанных месторождений полезных ископаемых. В Ненецком национальном округе по этой же причине добываются всего 2% разведанных запасов. Не освоены рудные месторождения Ямала, залежи ценных магнетитовых руд в Теченском.

В число грузообразующих железных дорог вошли такие, как «Урал промышленный — Урал Полярный», Эльга — ст. Улак, Шимановская — Гарь — Февральск, Ильинск — Углегорск, Хани — Олекминск и мн. др. К категории грузообразующих железных дорог можно отнести и линии, ведущие к портам (Сосногорск — Индига).

Поэтому в «Стратегии–2030» намечено строительство грузообразующих железных дорог общим протяжением 5120 км.

При проектировании грузообразующих железных дорог возникает ряд новых, требующих научного решения, проблем.

Нельзя априори рассматривать грузообразующую дорогу как малодейственную. В ряде случаев перспективный грузопоток составляет многие десятки миллионов тонн в год. По действующим нормативам, отношение такой железной дороги к соответствующей высокой категории потребует применения соответствующих жестких норм проектирования плана и продольного профиля. Это может вызвать трудности при проектировании, так как грузообразующие дороги в большинстве своем проектируются

в регионах, которые характеризуются сложным рельефом местности и необходимостью преодоления высотных препятствий. В таких случаях полезно разработать специальные технические условия (СТУ) для каждой конкретной железной дороги, которые при безусловном сохранении требований безопасности и бесперебойности движения поездов позволили бы упростить решение и в известных пределах снизить строительную стоимость грузообразующей железной дороги.

Не во всех случаях такую линию можно рассматривать как тушиковую, срок службы которой определяется временем эксплуатации грузообразующего предприятия. Не исключено, что проектируемая железная дорога в перспективе будет продлена и войдет в общую сеть железных дорог. Так, например, существует мнение, что железная дорога ст. Эльга — ст. Улак может быть продлена до Охотска. Это обстоятельство необходимо учитывать при принятии параметров проекта.

Особенностью грузообразующих линий является одностороннее направление главного грузопотока от грузообразующего предприятия до сети железных дорог общего пользования или морского порта. Поэтому при выборе параметров целесообразно рассмотреть варианты уравнированного уклона — более пологого в грузовом направлении и более крутого в обратном. Такое решение может существенно сократить длину и строительную стоимость линии. При выборе величины уравнированного уклона необходимо учитывать величину грузопотока в обратном грузовому направлению, которая может достигать существенных значений, так как в обратном направлении могут следовать не только грузы для грузообразующего предприятия, но и местные грузы для нужд региона, где такое предприятие расположено.

Таблица 1

Наибольшая крутизна уклона в негрузовом направлении при движении обратного поезда с расчетной скоростью для тепловоза 2 ТЭ10 В, 23,4 км/ч

Грузопоток обратного направления, млн т/г	Руководящий уклон 9‰	Руководящий уклон 12‰
2	28,4	35,8
4	23,6	29,8
6	20,1	25,5
8	17,5	22,2
10	15,4	19,7
12	13,8	17,6

Возможны три варианта очертания глобального продольного профиля: спуск грузового поезда по уравновешенному уклону; вольный ход; подъем грузового поезда по руководящему уклону.

Определение крутизны наибольшего уклона в негрузовом направлении, по которому грузовой поезд следует с ограничением скорости по тормозам, а негрузовой — с расчетной скоростью, определяется в такой последовательности.

1. Исходные данные — руководящий уклон i_p ; масса локомотива P и грузового поезда Q ; расчетная сила тяги локомотива F_k ; вагоны: тара $q_{\text{тары}}$ и грузоподъемность $q_{\text{гр}}$; грузопотоки в грузовом и обратном направлении (Γ_t и $\Gamma_{\text{обр}}$).
2. Число вагонов в грузовом поезде $n_{\text{ваг}}$.
3. Тара грузового поезда $Q_{\text{пор}}$.
4. Полезная нагрузка грузового поезда (масса грузового поезда нетто) $Q_n = Q - Q_{\text{пор}}$.
5. Число пар грузовых поездов в сутки с учетом негрузовых поездов $n_{\text{гр}}$.
6. Полезная нагрузка обратного поезда (масса поезда негрузового направления нетто) $Q_{\text{обр (н)}}$.
7. Масса брутто негрузового поезда $Q_{\text{обр}}$.
8. Удельное сопротивление вагонного состава и локомотива (w'_0 и w''_0).
9. Наибольший (уравновешенный) уклон в негрузовом направлении:

$$\frac{F_k - P \cdot g \cdot (w'_0 + i_{\text{уп}})}{g \cdot (w''_0 + i_{\text{уп}})} - Q_{\text{обр}} = 0. \quad (1)$$

Уравнение (1) решается в пакете MathCAD относительно $i_{\text{уп}}$.

Результаты определения наибольшего уравновешенного уклона в зависимости от грузопотоков в грузовом и негрузовом направлениях представлены в таблице 1.

Расчетный грузопоток в грузовом направлении принят равным 16 млн т/г, величина грузопотока в обратном направлении варьируется с шагом в 2 млн т/г.

Средние скорости движения поездов на участках продольного профиля с ограничивающими уклонами: 1) участок с уравновешенным уклоном — грузовой поезд на спуск — ограничение скорости по тормозам, обратный поезд — расчетная скорость для выбранного локомотива; 2) руководящий подъем в грузовом направлении — грузовой поезд — расчетная скорость, обратный — ограничение по тормозам.

Эти данные позволяют определить примерные расчетные длины перегонов на участках глобально-го продольного профиля. Для этого необходимо определить число вагонов в составе, число осей, расчетное суммарное давление тормозных колодок и тормозной коэффициент.

Скорости движения поезда в режиме тяги определяются как

$$\frac{F_k(V)}{g(P + Q)} - (w_0(V) + i) = 0, \quad (2)$$

где F_k — расчетная сила тяги локомотива (Н); P и Q — масса локомотива и поезда соответственно (т); $w_0(V)$ — удельное основное сопротивление движению поезда (Н/кН).

Функцию $F_k(V)$ — для тепловозной тяги можно описать гиперболой.

Уравнение (2) решается относительно V в программном комплексе MathCAD.

В режиме торможения скорости определены путем решения тормозной задачи в пакете MathCAD в зависимости от тормозного пути и тормозного коэффициента подвижного состава.

Таблица 2

Скорости движения поездов на спуск в режиме торможения в зависимости от уклона и тормозного коэффициента

$\begin{matrix} v \\ i \end{matrix}$	0,2	0,25	0,3	0,35	0,4	0,45
0	66	75	77	81	86	89
-6	56	64	69	75	78	83
-8	54	61	66	72	76	80
-10	51	58	63	70	74	78
-12	48	56	60	67	72	75
-14	45	53	59	65	70	73
-16	42	50	57	62	68	72
-18	40	48	55	60	66	71
-20	37	45	53	58	64	68
-22	34	42	50	56	61	66

Значения скоростей для каждого характерного участка продольного профиля позволяют определить примерную длину перегона на каждом из них.

$$\frac{(1440 - 60)\alpha}{60 \cdot L \left(\frac{1}{V_p} + \frac{1}{V_m} \right) + 2\tau + t_{pz}} = 0. \quad (3)$$

Уравнение (3) решается относительно L , что дает возможность определить примерную длину перегона. Это позволяет до процесса трассирования определить в первом приближении схему размещения осей раздельных пунктов.

Выбор параметров проекта [4] должен учитывать оптимальное разви-

тие провозной способности проектируемой железной дороги на достаточно отдаленную перспективу. В частности, при выборе схемы размещения раздельных пунктов и других капитальных сооружений необходимо принять такое первоначальное решение, которое вовсе исключит или не потребует существенной реконструкции постоянных устройств дороги в процессе ее работы.

Размещение раздельных пунктов на линиях низкой категории, к которой чаще всего относят грузообразующие железные дороги, принято выполнять применительно к размерам грузопотока десятого года. На начальном этапе открываются раздельные пункты первой очереди. Открытие раздельных пунктов второй очереди на заранее подготовленных площадках предусматривается при исчерпании пропускной способности при открытых раздельных пунктах первой очереди.

Проведенные расчеты показали, что в определенных условиях открытие раздельных пунктов может оказаться целесообразным до исчерпания пропускной способности при раздельных пунктах первой очереди по экономическим соображениям. Это достигается за счет того, что приближается срок доставки грузов потребителю.

При проектировании постоянных устройств и прежде всего трассы грузообразующих железных дорог особенно важно найти оптимальное сочетание строительной стоимости и эксплуатационных расходов.

При трассировании грузообразующей железной дороги у проектировщика возникает вполне законное стремление принять наиболее дешевое решение, в частности применять более глубокие вписывания трассы в плане с целью уменьшить объемы земляных работ. Но при этом возрастает стоимость устройств, пропорциональная длине верхнего строения пути, связи, СЦБ и пр. Увеличение

длины также вызывает возрастание эксплуатационных расходов как на передвижение поездов, так и на содержание постоянных устройств [5].

Поэтому актуальна задача определения такого наибольшего удлинения трассы, при котором оправдывается снижение стоимости земляных работ в результате ее удлинения [6]. Ниже предлагается достаточно простой способ анализа развития трассы.

Критерий с учетом роста грузопотока и дисконтирования затрат во времени:

$$S = K + L a_{\text{лин}} + \sum_{t=1}^T L((a + bt)e + k) \times \frac{1}{(1 + E)^t}, \text{ млн руб.} \quad (4)$$

Здесь $(a + bt)$ — грузопоток в оба направления, возрастающий во времени по линейному закону, млн т/г; K — стоимость земляных работ и водопропускных сооружений, млн руб.; L — длина участка, км; $a_{\text{лин}}$ — стоимость устройств, пропорциональная длине (верхнее строение пути, связь, СЦБ), млн руб./км; e — стоимость перевозки, руб./т км; k — стоимость содержания постоянных устройств, млн руб./км г; E — норма дисконта (0,1).

Если величину L как независимую от параметра суммирования t вынести за знак суммы, то получим:

$$S = K + L \left(a_{\text{лин}} + \sum_{t=1}^T ((a + bt)e + k) \frac{1}{(1 + E)^t} \right). \quad (5)$$

Величину

$$C = \left(a_{\text{лин}} + \sum_{t=1}^T ((a + b \cdot t) \cdot e + k) \frac{1}{(1 + E)^t} \right) \quad (6)$$

назовем линейной составляющей критерия в дисконтированном виде.

Пусть есть два варианта трассы в плане с разной глубиной вписыва-

ния. Первый — более прямой, длина L_1 , земляные работы и иссо — K_1 . Второй — более развитой в плане: длина L_2 , земляные работы и иссо — K_2 .

Линейная составляющая C одинакова для обоих вариантов.

Тогда критерий оценки вариантов:

$$S_1 = K_1 + L_1 \cdot C;$$

$$S_2 = K_2 + L_2 \cdot C.$$

Положим, что варианты равноценны, тогда

$$S_1 = S_2.$$

$$\text{То есть } K_1 + L_1 \cdot C = K_2 + L_2 \cdot C$$

$$\text{или } K_1 - K_2 = C(L_2 - L_1).$$

Равноценное удлинение трассы в плане:

$$L_2 - L_1 \leq \frac{K_1 - K_2}{C} \text{ км.} \quad (7)$$

Другими словами, удлинение трассы в плане допустимо только в том случае, когда за его счет достигается вполне определенная экономия стоимости земляных работ и водопропускных сооружений.

Так, например, если исходная длина участка трассы в плане $L_1 = 2,5$ км, исходная стоимость земляных работ и искусственного сооружения $K_1 = 20$ млн руб., стоимость, полученная в результате развития трассы $K_2 = 18$ млн руб., грузопоток характеризуется коэффициентами $a = 2$, $b = 0,5$, $e = 3$ руб./т · км, $k = 0,015$ (млн руб./т · км), $a_{\text{дл}} = 6$ млн руб./км.

При таких исходных данных получено, что при достигнутом в результате развития трассы, уменьшении стоимости земляных работ и искусственного сооружения наибольшее удлинение трассы в плане не должно превышать 0,016 км, или 16 м.

При большем росте грузопотока во времени $b = 1,0$ и принятых выше

исходных данных наибольшее удлинение составит 0,010 км, или 10 м.

Этот прием можно распространить и на всю длину, анализируя коэффициент развития линии и объемы работ.

Проектирование грузообразующих железных дорог в силу своих особенностей требует особого подхода и выработки специальных методов обоснования параметров проекта и правил проектирования постоянных устройств дороги. ■

Литература

1. Стратегия развития железнодорожного транспорта в Российской Федерации до 2030 года.
2. Северные и восточные районы России — важнейший полигон расширения сети железных дорог страны в XXI. Копыленко В. А., Быков Ю. А., Круглов В. М., Турбин И. В., Космин В. В. // Трансп. стр.-во. 2008. № 4. ISSN 0131-4300.
3. Расширение сети железных дорог в малоосвоенных регионах России — одна из важных задач развития железнодорожного транспорта страны в XXI веке. Копыленко В. А., Быков Ю. А., Турбин И. В., Космин В. В. // Наука и транспорт. Модернизация железнодорожного транспорта. 2008.
4. Кантор И. И. Продольный профиль и тяга поездов. М.: Транспорт, 1984, 207 с.
5. Волков. Б. А. Экономическая эффективность инвестиций на железнодорожном транспорте в условиях рынка. М.: Транспорт, 1996, 191 с.
6. Турбин И. В. Практические расчеты при проектировании трассы железных дорог. М.: Транспорт, 1987, 199 с.

References:

1. Strategija razvitija zheleznodorozhnogo transporta v Rossijskoj Federatsii do 2030 goda [Strategy of railway transport development in the Russian Federation till 2003].
2. Severnye i vostochnye rajony Rossii — vazhnejshij poligon rasshirenija seti zhelezných dorog strany v XXI [Northern and eastern regions of Russia are the most important testing ground of railways ramifying in XXI] Kopylenko V. A., Bykov Ju. A., Kругlov V. M., Turbin I. V., Kosmin V. V. // Transp.str-vo. 2008. № 4. ISSN 0131-4300.
3. Rasshirenie seti zhelezných dorog v maloosvoennykh regionah Rossii — odna iz vazhnykh zadach razvitija zheleznodorozhnogo transporta strany v XXI veke. [Railways ramifying in underdeveloped regions of Russia as one of the most important tasks of railway transport development in XXI] Kopylenko V. A., Bykov Ju. A., Turbin I. V., Kosmin V. V. // Nauka i transport. Modernizacija zheleznodorozhnogo transporta. 2008.
4. Kantor I. I. Prodolnyj profil i tjaga poezdov [Profile elevation and haulage of trains]. M.: Transport, 1984, 207 s.
5. Volkov. B. A. Ekonomicheskaja effektivnost investitsij na zheleznodorozhnom transporte v uslovijakh rynka [Economic efficiency of investments on railway transport under market conditions]. M.: Transport, 1996, 191 s.
6. Turbin I. V. Prakticheskie raschety pri proektirovanii trassy zhelezných dorog [Practical calculations when designing railways route]. M.: Transport, 1987, 199 s.

Статья сдана в редакцию 25 ноября 2011 года

УДК 625.111 (043)

Ю. А. Быков, Н. В. Кашкин

Методика прогнозирования развития мощности проектируемых железных дорог

UDC 625.111 (043)

Yu. A. Bykov, N. V. Kashkin

Forecasting methods of designed railways' power development

Аннотация

Действующие в настоящее время нормативные требования к определению мощности проектируемых дорог требуют анализа и переоценки расчетных сроков усиления оснащённости железной дороги во избежание избыточного удорожания и омертвления капиталовложений.

Существующий подход, использующий однокритериальную оценку принимаемых проектных решений, учитывающий только капитальные вложения и эксплуатационные расходы, недостаточно обоснован для современных условий. Необходима многокритериальная оценка принятия решения, учитывающая выгоды и издержки принимаемых проектных решений и опирающаяся на экспертные оценки. Предложенный подход особенно эффективен при проектировании железных дорог, для которых разрабатываются специальные технические условия их проектирования.

Предложенная методика позволяет рационально использовать материальные ресурсы и денежные средства в условиях риска и неопределённости исходных данных за счёт научно обоснованных сроков этапного развития (усиления) мощности проектируемой железной дороги.

Ключевые слова:

прогнозирование; мощность; проектирование; железные дороги; принятие решения; экспертная оценка.

Abstract

The normative requirements in force to determine designed railways' power were developed long ago and now it is necessary to analyze and revalue projected terms of railway equipment reinforcement in order to avoid redundant rise in price and interests discontinuance.

The existing approach, which uses one-criterion assessment of made project decisions and takes into account only capital investments and exploitation expenses is not well-grounded in modern circumstances. At present moment it is necessary a multi-criterion assessment of decision making, which takes into account advantages and expenses of made decisions and considers expert judgment. The suggested approach is particularly efficient when designing railways, for which designing technical specifications are being developed.

The suggested method allows to rationally use material resources and monetary funds in conditions of risks and ambiguity of basic data at the expense of scientifically grounded terms of stage development (reinforcement) of designed railway's power.

Key words:

forecasting; power; designing; railways; expert judgment.

Юрий Александрович Быков — д-р техн. наук, профессор; заведующий кафедрой «Изыскания и проектирование железных дорог» Московского государственного университета путей сообщения; Москва, Россия. E-mail: miit_izyskaniya@mail.ru.

Николай Владимирович Кашкин — канд. техн. наук, докторант; кафедра «Изыскания и проектирование железных дорог» Московского государственного университета путей сообщения; Москва, Россия. E-mail: nik_k1981@mail.ru.

Yury A. Bykov — DSc, professor, Department of Survey and construction of railroads department, Moscow State University of Railway Engineering; Moscow, Russia. E-mail: miit_izyskaniya@mail.ru.

Nikolay V. Kashkin — PhD, doctoral candidate, Department of Survey and construction of railroads, Moscow State University of Railway Engineering; Moscow, Russia. E-mail: nik_k1981@mail.ru.

В целях развития производственных сил Республики Саха (Якутия) принят ряд постановлений правительства по проектированию и строительству железнодорожной линии Беркабит — Томмот — Якутск как продолжение железнодорожной линии Бамовская — Тында — Беркабит.

Новая железная дорога должна стать первой магистралью, связывающей центральные районы Якутии и среднее течение реки Лены с сетью железных дорог России, а в будущем — соединяющим звеном трех широтных магистралей: Транссиба, БАМа и перспективной северной магистрали Котлас — Салехард — Якутск — Магадан. На большом протяжении трасса пролегает вдоль Амуро-Якутской автомагистрали М-56 (федеральная дорога «Лена»).

Малые расчетные грузопотоки на период до 2020 г. включительно и неопределенность их роста не позволяют экономически обосновать целесообразность устройства крупных капитальных сооружений производственной и непроизводственной инфраструктуры.

Главная особенность проектирования железной дороги Томмот — Якутск (Нижний Бестях) — резко континентальный климат с чрезвычайно низкими температурами зимой и относительно высокими летом. До сих пор в таких температурных условиях железные дороги нигде и никогда не строились.

Специфика пионерной роли строящейся железной дороги включает в себя, кроме экономических положений, специфику подходов к трассированию, проектированию плана и профиля, технических решений по конструированию земляного полотна и водопропускных сооружений в условиях слабозаселенных территорий криолитозоны, сложности протекания климатических процессов, наличия опасных геокриологических

процессов. Особое положение на трассе участка дороги Томмот — Якутск (Нижний Бестях) занимают территории с повсеместным залеганием подземных льдов и высокольдистых грунтов в основании земляного полотна.

Специфика мерзлотно-грунтовых условий на значительном протяжении трассы (не полностью отраженная в требованиях действующих нормативных документов [1, 2]) приводит к необходимости предусматривать мероприятия и специальные регламенты обслуживания и предупреждения деформаций земляного полотна и водопропускных сооружений при нестабильном состоянии природной среды.

В действующих нормах нет требований к техническим решениям применительно к этим условиям; указано лишь, что необходимо индивидуальное проектирование [1, 2]. Отсутствие конкретных нормативно-технических требований к проектированию земляного полотна и водопропускных сооружений для таких условий и предусмотренная в нормативной базе обязательность индивидуального проектирования сооружений на таких местах осложнена тем, что аналогов строительства в таких и даже близких к подобным условиям в отечественной практике просто нет.

Это не освобождает ее от роли в пионерном освоении прилегающей зоны тяготения в Республике Саха (Якутия) в развитии города Якутска и обеспечении (совместно с водным транспортом Ленского бассейна) поллярных территорий Северным завозом. Исключительная же сложность природной среды в пределах трассы дороги (резко континентальный климат, мерзлота с подземными льдами) требует, в свою очередь, переоценки расчетных сроков оснащенности железной дороги во избежание избыточного удорожания и омертвления капиталовложений.

В действующих нормативных документах не в полной мере отражены

требования ряда законов РФ и нормативных документов, принятых после утверждения [1, 2], отсутствуют также требования и конкретные рекомендации по проектированию и строительству железных дорог и сооружений на них применительно к специфике климата и мерзлотным условиям Центральной Якутии.

Действующие нормативные документы жестко регламентируют расчетные сроки и показатели прогнозируемых перевозок, что не позволяет по мере роста грузо- и пассажиро-перевозок управлять наращиванием мощности отдельных устройств и сооружений, которые обеспечивают потребительские качества дороги в целом, не омертвляя капитальные вложения.

Земляное полотно на участке Беркакит — Томмот было запроектировано и построено в 80–90-е годы в соответствии с требованиями действовавших в то время нормативных документов ([3, 4, 5 и др.]), которые отличаются от норм [1, 2] в части ширины основной площадки.

В связи с введением в действие новой нормативной базы для проектирования и строительства новых железных дорог [1, 2] на основании письма Госстроя РФ было разрешено применять на участке Томмот — Якутск (Нижний Бестях) такую же ширину земляного полотна и балластной призмы, как на уже построенном участке.

Цель анализа существующей нормативной базы — определение положений при прогнозировании развития мощности пускового комплекса Томмот — Якутск (Нижний Бестях), которые не в полной мере отражают особенности линии и специфику климата и мерзлотных условий Центральной Якутии или не учитывают положений и требований ряда законов РФ и нормативных документов, принятых после 1995 г.

Анализ базы стройиндустрии различных министерств и ведомств

в районах Дальнего Востока и Восточной Сибири показывает, что строительные организации в районе строительства железнодорожной линии постоянно ощущают острую нехватку строительных материалов, конструкций, полуфабрикатов и вынуждены завозить их из других районов Сибири и европейской части страны. Также определены недостающие нормативные требования, перечень вынужденных отступлений и компенсирующие мероприятия по проектированию и строительству пускового комплекса Томмот — Якутск (Нижний Бестях).

Регламентированные в нормах [1] жесткие сроки для выбора основных параметров дороги — второй, пятый и десятый годы эксплуатации — не могут быть обеспечены информацией с достаточной степенью достоверности расчетных исходных данных. Причина в том, что перспектива продолжения линии в качестве магистральной с выходом на направления в сторону Магадана и Анадыря из-за финансового кризиса может быть отложена на неопределенное время. Поэтому жесткий срок — десятый год эксплуатации — становится весьма туманным, и железная дорога Томмот — Якутск (Нижний Бестях) будет иметь тупиковый характер с соответствующим снижением потребительских показателей по мощности (пусковой и провозной способности).

С учетом тупикового характера линии и динамики грузопотока за прошедшие годы необходимо запроектировать железную дорогу на размеры движения второго года эксплуатации и применять организацию «упрощенной» схемы («временной») эксплуатации в рамках пускового комплекса исходя из объемов перевозок второго года эксплуатации.

В качестве примера прогнозирования развития мощности рассмотрены три варианта схемы размещения отдельных пунктов железнодорожной линии Томмот — Якутск (Нижний Бестях) (рис. 1).

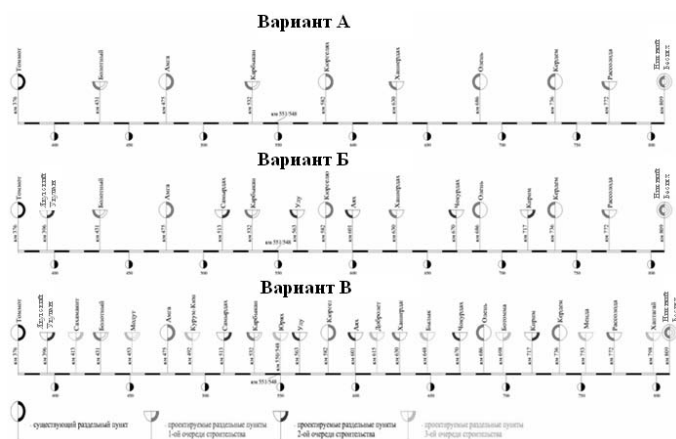


Рис. 1. Схемы возможных вариантов размещения отдельных пунктов железнодорожной линии Томмот — Якутск (Нижний Бестях)

На участке размещены и запроектированы 24 отдельных пункта с приемо-отправочными путями полезной длиной 1080 м, в том числе одна конечная станция, четыре промежуточных и 19 разъездов. Все отдельные пункты запроектированы по поперечной схеме.

Каждый из рассмотренных вариантов предполагает обеспечение размеров перевозок 5-го года эксплуатации [1] с различными запасами мощности на перспективу. При этом размещение отдельных пунктов по каждому варианту взаимосвязано, что позволяет рассматривать различные сочетания очередности их открытия.

На кафедре «Изыскания и проектирование железных дорог» МГУПС (МИИТ) разработана методика прогнозирования развития мощности различных устройств и сооружений и проектируемой железной дороги в целом [6, 7], в основу которой положен метод анализа иерархий [8]. Предполагается построение двух иерархий выгод и издержек для того или иного проектного решения с различной расчетной мощностью и их сопоставление. Основные этапы методики представлены на рис. 2.

Методика позволяет проводить многокритериальную оценку принимаемых решений, экспертный анализ,

учитывать фактор риска и неопределенности. В ней использован подход, известный как анализ «стоимость-эффективность», базирующийся на сравнении объема выгод в расчете на единицу ресурса. Критерии этого метода могут меняться в зависимости от того, в каких секторах — общественном или частном — он применяется.

После определения общих выгод и издержек вычисляют их отношение. Наибольшее его значение указывает на лучшее проектное решение.

Для компьютерной поддержки рекомендуется применить один из программных продуктов Белгородской компании ООО «ДТК Софт» — «СППР Выбор».

В статье рассмотрен пример использования предлагаемой методики. В вершине иерархии расположена основная цель. На уровень ниже — критерии и подкритерии. На самом нижнем уровне — варианты (итог), среди которых производится выбор. В любом случае полученные результаты представляют собой информацию для лица, принимающего решение (ЛПР). Проанализировав полученные итоги, необходимо вернуться к начальному этапу декомпозиции задачи и рассмотреть новые критерии предпочтения.

В методике элементы задачи сравниваются попарно по их воздействию (весу или интенсивности) на общую для них характеристику. Сравнивая набор составляющих проблем друг с другом, получают квадратную матрицу, которая обладает свойствами обратной симметричности. Элементом матрицы a_{ij} является интенсивность проявления элемента иерархии i относительно элемента иерархии j . Если при сравнении одного фактора i (например, экономический критерий) с другим j (например, экологический критерий) получаем $a_{ij} = b_{ij} = 5$, то при сравнении второго фактора с первым получаем $a_{ji} = b_{ji} = 1/5$.

Относительную величину каждого отдельного элемента в иерархии определяют оценкой соответствующего ему элемента собственного вектора матрицы приоритетов, нормализованного к единице. Процедура определения собственных векторов матриц сводится к вычислению геометрической средней.

Пусть A_1, A_2, \dots, A_n — множество из n элементов рассматриваемого уровня, тогда результаты их сравнения между собой будут выглядеть так, как это представлено на рис. 3.

Оценка компонент вектора приоритетов производится по следующей схеме (рис. 4).



Рис. 2. Основные этапы методики

Элемент иерархии	A_1	A_2	...	A_n
A_1	1	b_{12}	...	b_{1n}
A_2	b_{21}	1	...	b_{2n}
...	1	...
A_n	b_{n1}	b_{n2}	...	1

Рис. 3. Результаты сравнения

	A_1	A_2	...	A_n		
A_1	1	b_{12}	...	b_{1n}	$X_1 = (1 \cdot b_{12} \cdot \dots \cdot b_{1n})^{1/n}$	$BEC(A_1) = X_1 / \sum_{i=1}^n X_i$
A_2	b_{21}	1	...	b_{2n}	$X_2 = (b_{21} \cdot 1 \cdot \dots \cdot b_{2n})^{1/n}$	$BEC(A_2) = X_2 / \sum_{i=1}^n X_i$
...	1
A_n	b_{n1}	b_{n2}	...	1	$X_n = (b_{n1} \cdot \dots \cdot b_{n,n-1} \cdot 1)^{1/n}$	$BEC(A_n) = X_n / \sum_{i=1}^n X_i$

Рис. 4. Оценка компонент вектора приоритетов

Из группы матриц парных сравнений формируют набор локальных приоритетов, которые выражают относительное влияние множества элементов, на элемент примыкающего сверху уровня. Определяют вероятность каждого отдельного элемента через «решение» матриц, каждая из которых обладает обратно симметричными свойствами. Вычисляют множество собственных векторов для каждой матрицы, а затем нормализуют результат к единице, получая тем самым вектор приоритетов.

Весьма важным этапом методики является определение индекса согласованности, который дает информацию о степени нарушения численной (кардинальной $a_{ij}a_{jk} = a_{ik}$) и порядковой (транзитивной) согласованности принятия проектного решения.

Отклонения от согласованности может быть выражено индексом согласованности ИС:

$$ИС = (\lambda_{\max} - n)/(n - 1),$$

где λ_{\max} — наибольшее собственное значение матрицы суждений, $\lambda_{\max} \geq n$.

Индекс согласованности, сгенерированный случайным образом, называется случайным индексом согласованности СИ.

Если разделить ИС на число, соответствующее случайной согласованности матрицы того же порядка, получим отношение согласованности ОС. Величина ОС должна быть не более 0,1 (в некоторых случаях можно допустить 0,2). Если ОС выходит из этих пределов, то участникам

нужно исследовать задачу и проверить свои суждения.

Следующим этапом методики является принцип синтеза. Приоритеты синтезируются со второго уровня вниз. Локальные приоритеты перемножают на приоритет соответствующего критерия на вышестоящем уровне и суммируют по каждому элементу в соответствии с критериями, на которые воздействует этот элемент. Это дает составной (глобальный) приоритет того элемента, который затем используется для взвешивания локальных приоритетов элементов, сравниваемых по отношению к нему критериев расположенных уровнем ниже.

Предложенная методика не требует упрощения структуры задачи, априорного отбрасывания некоторых критериев. Поэтому она эффективнее других аналитических способов и позволяет учитывать влияние всевозможных факторов, как имеющуюся количественную информацию, так и качественную информацию о предпочтениях ЛПР (нравится — не нравится, лучше — хуже и т. п.), что чрезвычайно важно.

Результат использования методики — выбор предпочтительной альтернативы проектного решения. Практическая реализация данной методики показана на примере, раскрывающем его особенности и использование соответствующего математического аппарата.

На рис. 5. и 6 представлена иерархическая структура выгод и издержек, которые, по мнению экспертов,

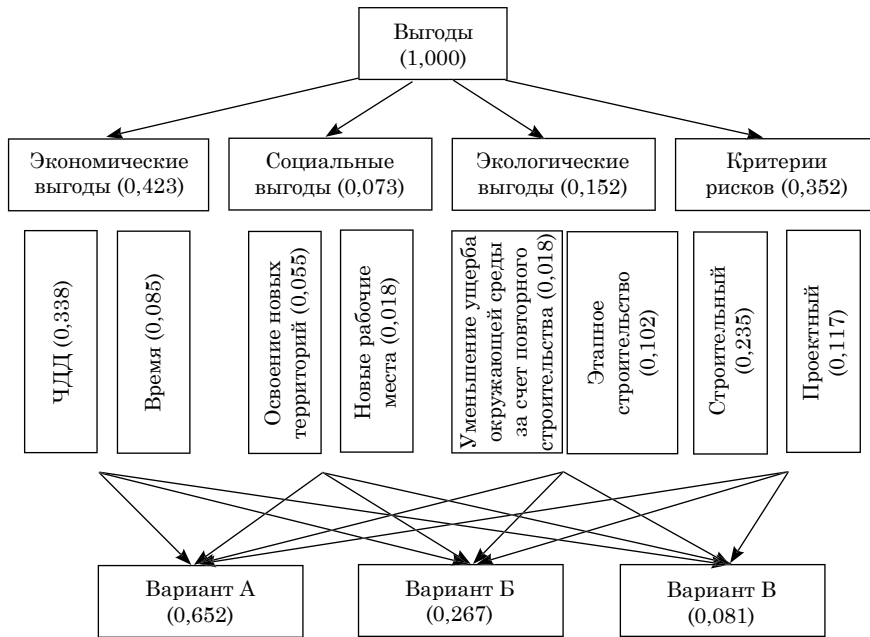


Рис. 5. Иерархия выгод

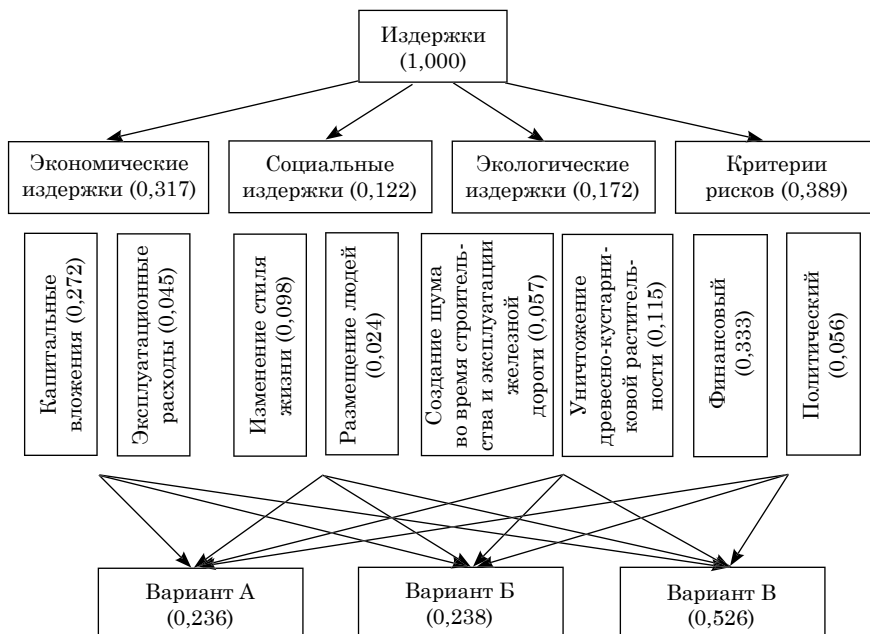


Рис. 6. Иерархия издержек

являются составляющими цепи возможных влияний на принятие проектного решения по прогнозированию развития мощности применительно к рассмотренному примеру.

Для первого уровня иерархии выгод более предпочтителен проект вариант А (0,652), для второго уровня иерархии издержек — также вариант А (0,236). Для данного примера получаем отношение выгод к издержкам, как показано на рис. 7.

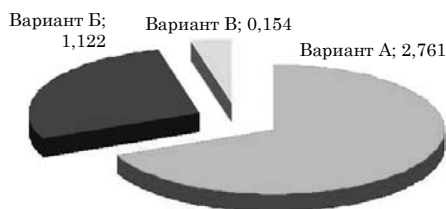


Рис. 7. Отношение выгод к издержкам

Из сказанного следует, что предпочтение необходимо отдать проекту вариант А (2,761).

Методика дает удобные средства учета экспертной информации для решения различных задач, отражает естественный ход человеческого мыш-

ления. Она предоставляет не только способ выявления наиболее предпочтительного решения задач, но и позволяет посредством рейтингования качественно и количественно выразить степень предпочтительности. Полученные результаты представляют собой информацию для ЛПР, а оценка меры противоречивости данных позволяет установить степень доверия к полученному результату.

Важным является необходимость рационального использования материальных ресурсов и денежных средств на строительство железной дороги в условиях экономического кризиса и неопределенности роста грузопотоков во времени, в зависимости от величины которого существующие нормативные документы, регламентируют мощность проектируемых железных дорог в условиях Сибири и Дальнего Востока.

Таким образом, методика позволяет прогнозировать развитие мощности отдельных устройств и сооружений, а также проектируемых железных дорог, используя автоматизированную систему поддержки принятия проектных решений. ■

Литература

1. Строительно-технические нормы. Железные дороги колеи 1520 мм. СТН Ц-01-95. М., 1995, 87 с.
2. Строительные нормы и правила. Железные дороги колеи 1520 мм. СНиП 32-01-95. М., 1995, 21 с.
3. Строительные нормы и правила. Железные дороги колеи 1520 мм. СНиП П-39-76. Нормы проектирования. М.: Строиздат, 1977.
4. Указания по проектированию земляного полотна железных и автомобильных дорог. СН 449-72. Утверждены Государственным комитетом Совета Министров СССР по делам строительства. М., 1972.
5. Изыскания, проектирование и строительство железных дорог в районах вечной мерзлоты. ВСН 61-89. Министерство транспортного строительства СССР. М., 1989.
6. Быков Ю. А. Теория и практика прогнозирования облика и мощности новых железных дорог.: Дисс... на соиск. уч. ст. д-ра техн. наук. М., 1999. — 332 с.
7. Кашкин Н. В. Расчетная мощность проектируемых дорог // Путь и путевое хозяйство, 2009. № 6. С. 17-18. ISSN 0033-4715.
8. Саати Т. Принятие решений. Метод анализа иерархий. М.: Радио и связь, 1993. 320 с.

References:

1. Stroitelno-tekhnicheskie normy [Construction norms]. Zheleznyye dorogi kolei 1520 mm. STN TS-01-95. M., 1995, 87 s.
2. Stroitelnye normy i pravila [Construction norms and rules]. Zheleznyye dorogi kolei 1520 mm. SNiP 32-01-95. M., 1995, 21s.

3. Stroitelnye normy i pravila [Construction norms and rules]. Zheleznye dorogi kolei 1520 mm. SNiP II-39–76. Normy proektirovaniya. M.: Stroizdat, 1977.
4. Ukazaniya po proektirovaniyu zemlyanogo polotna zheleznykh i avtomobilnykh dorog [Construction rules of road bed of railways and motor roads] SN 449–72. Utverzhdeny Gosudarstvennym komitetom Soveta Ministrov SSSR po delam stroitelstva. M., 1972.
5. Izyskaniya, proektirovanie i stroitelstvo zheleznykh dorog v rajonakh vечноj meryzloty [Survey, design and construction of railways in regions of permafrost]. VSN 61–89. Ministerstvo transportnogo stroitelstva SSSR. M., 1989.
6. Bykov Yu. A. Teoriya i praktika prognozirovaniya oblika i moshchnosti novykh zheleznykh dorog [Theory and practice of forecast of railway design and power].: Diss... na soisk. uch. st. d-ra tekhn. nauk. M., 1999. — 332 s.
7. Kashkin N. V. Raschetnaya moshchnost proektiruemykh dorog [Design capacity of roads] // Put i putevoe hozyajstvo, 2009. № 6. S. 17–18. ISSN 0033-4715.
8. Saati T. Prinyatie reshenij [Decision making]. Metod analiza ierarkhij. M.: Radio i svjaz, 1993. 320 s.

Статья сдана в редакцию 25 декабря 2011 года

УДК 656.2. (470) (09)

А. А. Конов

Транспортная политика императора Александра III и современность

UDC 656.2. (470) (09)

А.А. Конов

The state policy of the emperor Alexander III and the present time

Аннотация

В статье рассмотрена государственная политика на транспорте императора Александра III. Установлены исторические взаимосвязи между реформами на транспорте императора Александра III и современными реформами согласно «Транспортной стратегии Российской Федерации на период до 2030 года». Определены общие принципы и черты государственной политики на транспорте в конце XIX века и на современном этапе реформирования транспортного комплекса. На основе научного анализа тарифной реформы, материального обеспечения всех видов транспорта и нового транспортного строительства показаны преимущества и упущения государственной политики в транспортной отрасли. Выявлены и доказаны преобладающие позиции государства на транспорте в конце XIX и в начале XXI вв. В конце статьи сделан вывод о необходимости комплексного, системного развития всех видов транспорта в России, об особой социальной значимости транспорта в государстве.

Ключевые слова:

водный канал, железная дорога, железнодорожное общество, подъездные пути, порт, тарифная реформа, транзитный потенциал государства, транспортный комплекс, устав железных дорог.

Abstract

The article discusses the State policy of the emperor Alexander III at the transport. The historical interdependencies between Alexander III transport reforms and modern reforms according to the Russian Federation Transport strategy during the period for 2030 are identified in the article. The common principles and features of the State policy at the transport in the end of 19th and in the modern stage of the transport complex reforming are identified too. The advantages and the mistakes of the State policy at the transport complex are presented on the basis of scientific analysis of the tariff reform, the material security of all forms of transport and the new transport building. The dominant positions of the government at the transport in the end of 19th and in the beginning of 21st centuries are identified and proved in the article. The conclusion of the necessity of complex system developing of all forms of transport in Russia and the specific social significance of transport in the State is made in the end of the article.

Key words:

Channel, railway, railway company, access roads, port, tariff reform, transit potential of the State, transport complex, regulations of the railway system.

В сентябре 2008 г. в Москве представлен проект «Транспортной стратегии Российской Федерации на период до 2030 года». В разработанном документе официально признан факт наличия ограничений роста экономики, обусловленных недостаточным развитием транспортной системы. Современные объемные, экономические и качественные характеристики транспорта оказались не способными в полной мере и эффективно решать задачи растущей экономики. В документе официально заявлено о том, что российский транспорт требует «существенной перестройки», которая подразумевает активную позицию государства в реформировании и управлении транспортом [1].

Согласно «Транспортной стратегии Российской Федерации на период до 2030 года», миссия государства в сфере функционирования и развития транспорта определяется как создание условий для экономического роста, повышения конкурентоспособности национальной экономики и качества жизни населения через

Алексей Александрович Конов — канд. ист. наук, доцент; кафедра «Философия и история» Уральского государственного университета путей сообщения, Екатеринбург, Россия. E-mail: drednoute@e1.ru.

Aleksey A. Konov — Ph.D, Associate Professor; «Philosophy and History» chair of the Ural State University of Railway Transport, Ekaterinburg, Russia. E-mail: drednoute@e1.ru.

доступ к безопасным и качественным транспортным услугам, превращение географических особенностей России в ее конкурентное преимущество. Под стратегической целью развития транспортной системы понимается удовлетворение потребностей инновационного социально-ориентированного развития экономики и общества в качественных транспортных услугах, конкурентоспособных с лучшими мировыми аналогами. Таким образом, новая формулировка миссии означает активную функцию государства в области развития транспорта.

Как указывается в «Транспортной стратегии Российской Федерации на период до 2030 года», для создания эффективной конкурентоспособной транспортной системы необходимы три основные составляющие: конкурентоспособные, высококачественные транспортные услуги; высокопроизводительные безопасные транспортная инфраструктура и транспортные средства; создание условий превышения уровня предложения транспортных услуг над спросом. Формирование высокоэффективной транспортной системы осуществляется государством через регулирование развития федеральной и региональной транспортной инфраструктуры, институциональные преобразования, формирование рынка транспортных услуг, обеспечение технологической и экологической безопасности транспортных средств [2].

В данной статье сделана попытка провести параллели, найти точки соприкосновения между предстоящими новыми реформами транспортной системы РФ и реформами в сфере транспорта императора Александра III. Реформы Александра III непосредственно связаны с усилением позиций государства на транспорте, что во многом объединяет их с мероприятиями новой стратегии развития отечественной транспортной системы.

Имя императора Александра III (1881–1894 гг.) отечественная историческая наука прочно связала с понятием «контрреформы», под которым понималась эпоха усиления реакционной тенденции во внутренней политике. В соответствии с таким подходом, «контрреформы» означают отход от главных целей и принципов либеральных преобразований императора Александра II.

Вместе с тем, отечественные историки, за редким исключением, обходили стороной такие прогрессивные явления царствования Александра III, как интенсивный экономический рост, поощрение отечественной индустрии, постепенное превращение страны из аграрной в аграрно-индустриальную. И, конечно же, вне поля зрения исследователей осталась достаточно успешная транспортная политика этого императора. В лучшем случае, в фундаментальных трудах об Александре III коротко отмечалось, что строительство Транссибирской магистрали дало тяжелой индустрии мощный импульс [3].

Основатель марксистской исторической школы академик М. Н. Покровский отмечал в своей «Русской истории», что в конце XIX в. в России происходит «колоссальный взлет железнодорожного строительства», когда казна и частные общества «строили дороги с лихорадочной быстротой». В продолжение семи лет (1890–1897 гг.) железнодорожная сеть России выросла более чем на половину. Характеризуя темпы железнодорожного строительства в эти годы, историк писал: «Ни в одной европейской стране, в период самого оживленного железнодорожного строительства, постройка дорог не шла так энергично. Железнодорожная горячка 1890-х гг. была гораздо интенсивнее той, которую переживала Россия в 60–70-х гг. XIX в.». Однако такой прогресс в железнодорожном строительстве М. Н. Покровский неизменно связывал с интенсивным

проникновением в Россию иностранного капитала [4].

Независимо от различных по своему характеру оценок и мнений, на сегодняшний день исследование транспортной политики императора Александра III представляется крайне важным и даже злободневным. Впервые в истории страны была осуществлена попытка радикального решения вопроса о формах собственности на транспорте. Впервые были намечены основные направления модернизации материально-технической базы транспорта, которые во многом определили характер его развития в XX веке. Деятельность царя-миротворца по развитию транспортной системы Российской империи позволяет достаточно определенно понять преимущества и издержки государственного регулирования транспортной отрасли.

К началу царствования Александра III Россия совершила огромный рывок вперед в железнодорожном строительстве: за 1850–1880 гг. Россия увеличила свою железнодорожную сеть в 22,5 раза. Но к 1881 г. страна существенно отставала по протяжению своей железнодорожной сети от Германии, Великобритании и Франции, которые увеличили свои железнодорожные сети соответственно в 5,6 раз, 2,7 раз и в 8,5 раз. По сравнению с сетью США российская железнодорожная сеть была в 6,5 раз меньше. В целом, протяжение железнодорожной сети Европейской России составляло к моменту воцарения Александра III 14 % от общей длины всех железных дорог Западной Европы [5].

Основными принципами железнодорожной политики Александра III являлись: разработка общих законодательных и административных мер, усиливающих позиции правительства во всех отраслях железнодорожного транспорта; выкуп частных дорог в казну; сооружение государственных железнодорожных

линий и предъявление железнодорожным компаниям новых условий сооружения и эксплуатации рельсовых путей.

Первым и весьма показательным мероприятием императора стала ликвидация в сентябре 1883 г. Особого железнодорожного фонда, учрежденного в 1867–1868 гг. для кредитования частного железнодорожного строительства. Отныне единственным источником финансирования железнодорожного транспорта стала государственная казна. В июне 1884 г. введен государственный финансовый контроль за эксплуатацией частных железных дорог.

Законодательная неопределенность взаимоотношений железнодорожных обществ с казной и пользователями транспортных услуг порождала постоянные конфликты между ними. В то же время беспорядки в эксплуатации частных железных дорог ложились тяжелым бременем на государственную казну, вызывая напрасные со стороны казны выплаты убыточным дорогам. Интересы частных железнодорожных обществ явно не совпадали с интересами общегосударственными. В результате 12 июня 1885 г. был издан «Общий устав Российских железных дорог». В соответствии с Уставом, в 1888–1889 гг. на всей сети вводилось прямое бесперегрузочное сообщение. Оно резко ускорило продвижение вагонопотоков и улучшило использование подвижного состава. Устав раз и навсегда запретил руководству частных железных дорог идти на какие-либо уступки грузоотправителям в отношении действующих тарифов. Устав урегулировал ранее неопределенные отношения между железнодорожными управлениями и пассажирами, установил единообразные приемы управления железными дорогами, в целом укрепил позиции государства на транспорте [6].

Огромную роль на железнодорожном транспорте играет система

тарифов. Размеры тарифных ставок на перевозки во многом определяют эффективность работы каждого вида транспорта и оказывают непосредственное влияние на темпы экономического роста в стране. В отношении тарифной политики государства на транспорте «Транспортная стратегия Российской Федерации на период до 2030 года» занимает достаточно взвешенную позицию. Государственная тарифная политика предусматривает сочетание механизмов свободного ценообразования с контрольными функциями государства в интересах защиты потребителей от необоснованных дискриминационных тарифов. В сфере железнодорожных перевозок предусматривается создание дифференцированной системы государственного тарифного регулирования, адаптированной к различным условиям рынка железнодорожных услуг. Такая тарифная политика государства на железнодорожном транспорте должна базироваться на принципе соблюдения баланса интересов субъектов естественных монополий и пользователей их услугами. Таким образом, государство обеспечивает снижение негативного влияния тарифов на темпы экономического роста страны и устанавливает такие тарифы, которые обеспечивают эффективную работу субъектов естественных монополий [6].

Обратимся к тарифной реформе императора Александра III.

В 1883–1893 гг. на железнодорожном транспорте проведена тарифная реформа. Необходимость ее была продиктована тем, что частные железные дороги, конкурируя между собой, постоянно понижали тарифы на грузовые перевозки и становились убыточными. Государство, гарантируя доходность частных дорог, вынуждено было покрывать их убытки за счет бюджета. В результате серьезно страдало народное хозяйство страны и население.

В основу тарифной реформы положена идея установления полного государственного контроля над тарифной системой железных дорог. В ноябре 1888 г. контроль над тарифами железных дорог был передан Министерству финансов, установлены единые тарифы на перевозку таких массовых грузов, как хлеб, чугун, железо, каменный уголь и соль. В основу всех установленных тарифных ставок был положен принцип постепенного снижения тарифной ставки с пуда груза при увеличении расстояния пробега груза. В 1893 г. для всей сети российских железных дорог разработан один общий тариф на перевозку грузов с большой, малой и пассажирской скоростями. Тарифная реформа заметно ускорила огосударствление железнодорожной сети. Произвольной тарификации грузов и бесконтрольному ведению счетоводства на частных железных дорогах был положен конец [7].

Таким образом, сущность тарифной политики на транспорте Александра III принципиально не отличается от понимания этой политики авторами «Транспортной стратегии». И в том и в другом случае государство сохраняет за собой решающую роль в тарифном деле. Тарифная политика государства на транспорте является необходимым и весьма эффективным инструментом регулирования социально-экономического развития страны, особенно в условиях финансового кризиса.

Главным итогом первых мероприятий царя-миротворца в железнодорожном деле стало создание предпосылок для выкупа убыточных железных дорог в казну. Причины выкупа частных дорог в казну: неудовлетворительное финансовое положение большинства российских железнодорожных компаний, необходимость введения единого централизованного управления железнодорожным транспортом, необходимость сосредоточения в руках государства всей

железнодорожной сети в интересах торговли и обороны. Выкуп частных дорог продолжался в течение всего царствования Александра III. Всего в эпоху Александра III было выкуплено в казну примерно 15 тыс. верст частных дорог, ликвидированы 29 железнодорожных обществ. К концу царствования императора в России существовали только 18 обществ.

Следует отметить, что выкуп частных железных дорог в казну при Александре III осуществлялся отчасти под влиянием опыта Франции и Пруссии, где выкуп убыточных дорог начался в 1878–1879 гг. В Англии право государственного вмешательства в дела железнодорожных обществ было установлено еще биллем 1844 года. В 1889 г. английским правительством учрежден особый постоянный комитет для рассмотрения жалоб и претензий граждан на железнодорожные общества, а право регулирования тарифов железных дорог возложено на Министерство торговли. В ведение Министерства торговли впоследствии были переданы вообще все железные дороги в Англии [8].

По мнению министра финансов С. Ю. Витте, усиленный выкуп Александром III частных дорог в казну объяснялся двумя причинами. Во-первых, самодержавный государь заботился прежде всего об интересах населения страны. Во-вторых, император был шокирован появлением в его государстве особых «железнодорожных царств», в которых царствовали «маленькие железнодорожные короли» [9].

Следует отметить, что усиленный выкуп частных дорог в казну в определенной степени замедлил темпы строительства новых железных дорог и, в целом, привел к сильному падению частного предпринимательства в области железнодорожного строительства. В результате в эпоху Александра III было построено железных дорог всего 11649 верст (не считая дорог Финляндии), то есть вдвое

меньше того, что было построено при Александре II.

«Транспортная стратегия Российской Федерации на период до 2030 года» полностью воспроизводит главную цель нового железнодорожного строительства в России, сформировавшуюся в XIX веке: «Расширение сети железных дорог является инструментом реализации политики пространственного развития России, освоения ресурсной базы регионов и выравнивания уровня жизни населения» [10]. К 2030 г. запланировано построить 20730 км новых железнодорожных линий. При этом высшие приоритеты отданы реконструкции действующих и строительству технологических линий, обеспечивающих растущие потребности экономики в перевозках. Однако авторы документа внесли в данный пункт существенную оговорку: приоритеты строительства военных, стратегических линий определяются государством исходя из геополитических и геоэкономических интересов страны. В результате решающее слово в новом транспортном строительстве вновь принадлежит государству.

Изучение транспортной политики Александра III позволяет утверждать, что при этом царе был совершен настоящий прорыв в строительстве стратегических, военных железных дорог. При этом все новые линии такого назначения строились по его личной инициативе. В основу строительства этих дорог император заложил три принципа: железные дороги должны полностью отвечать потребностям военного ведомства; удовлетворение потребностей торговли должно играть при сооружении этих дорог второстепенную роль; военные дороги должны быть рассчитаны только на местное, а не транзитное движение.

В течение 1883–1884 гг. велись усиленные работы по созданию целой сети стратегических железных дорог в Полесье и в Привисленском

крае. В результате энергичных усилий императора открыты для движения новые линии: Лунинец — Гомель (303 км, открыта в феврале 1886 г.), Барановичи — Белосток (209 км, открыта в ноябре 1886 г.), Брест — Холмск (114 км) и Седлец — Малкин (66 км). Все эти железнодорожные линии обеспечили связь Белоруссии и Литвы с центром и юго-западом России, создали прямые выходы к портам Балтийского моря.

Присоединение к Российской империи среднеазиатского региона явилось главной причиной сооружения военной Закаспийской железной дороги Узун — Ада — Кизил-Арват — Чарджуй — Самарканд, связавшей Михайловский залив с центром Средней Азии. При сооружении этой линии была решена нигде не встречавшаяся ранее проблема преодоления больших пространств в условиях легко передвигавшихся песков в пустыне Кара-Кум. В 1884 г. Закаспийская военная дорога была доведена до Ашхабада. Затем, после занятия русскими войсками Мерва, дорога была продолжена далее через Мерв до реки Аму-Дарьи. В 1888 г. она была доведена до Самарканда [11].

В 1891 г. Александр III подписал указ о строительстве линии Владикавказ — Петровск по южному варианту — от Владикавказа по левому берегу реки Сунжи, с переходом этой реки в г. Грозном. Строительство дороги становилось «одним из лучших средств к окончательному умиротворению туземного чеченского населения, а также к быстрому экономическому развитию края» [12]. Дорога пересекала главные пункты сосредоточения войск в Северном Кавказе, что соответствовало видам Военного министерства.

Следует отметить, что в отношении задач обеспечения военной безопасности РФ «Транспортная стратегия Российской Федерации на период до 2030 года» полностью повторяет

основной программный тезис императора Александра III о необходимости соответствия уровня готовности транспортной системы потребностям Вооруженных Сил. Но в то же время авторами открыто признается отсутствие разработанного механизма привлечения приватизированных транспортных средств для военных, мобилизационных целей: «В условиях фактически полной приватизации транспортных средств необходимо создавать условия эффективного участия компаний и организаций-владельцев транспорта, в мобилизационной готовности» [13]. Кроме того, в «Транспортной стратегии» утверждается положение, что привлечение транспорта к решению оборонных задач не должно приводить к уменьшению его конкурентоспособности, особенно на рынке внешнеторговых перевозок. И здесь просматривается явное расхождение документа с военной транспортной доктриной Александра III, который полностью отделял мобилизационные функции транспорта от экономических.

Одной из целей «Транспортной стратегии Российской Федерации на период до 2030 года» обозначена интеграция России в мировое транспортное пространство и реализация транзитного потенциала страны. Для достижения этой цели разработаны программы транспортного развития четырех федеральных округов РФ — Южного, Уральского, Сибирского и Дальневосточного. Однако впервые проблема использования транзитного потенциала Российской империи была поднята еще в середине XIX века.

Александр III первым начал сооружение железных дорог в Западной и Восточной Сибири, установив тем самым надежную связь между Европой и Азией. Император понимал, что будущий экономический потенциал России, залог ее процветания — на Урале и в Сибири. В декабре 1882 г. было утверждено

положение о строительстве дороги от Екатеринбурга до Тюмени «непосредственным распоряжением казны». Постройка Екатеринбургско-Тюменской дороги общей протяженностью 349,6 версты в основном закончилась к концу декабря 1885 г. Практически весь товарообмен между европейской частью России и Сибирью держался теперь на прочной, но все же тонкой нити единственной рельсовой колеи, протянувшейся от Перми до Тюмени. С открытием движения поездов в конце 1885 г. Тюмень стала крупным перевалочным центром и быстро наращивала экономическую мощь. В этот период наблюдался интенсивный подъем экономики западносибирского региона, вводились новые промышленные предприятия, велось строительство каменных зданий, открывались учебные заведения, повышалось благосостояние средних и низших слоев населения.

Период 1886–1901 гг. стал пиком экономического развития Тюмени. Поступавшие в Тюмень из Перми и Екатеринбурга грузы перегружались на баржи и пароходы для следования водным путем в Западную и Восточную Сибирь. Грузы из Сибири, поступавшие в Тюмень, шли поездами в промышленные районы Урала, а с открытием движения по железной дороге Екатеринбург — Верхний Уфалей — Кыштым — Челябинск в 1896 г. получили выход в центральные районы России, в Петербург и Москву. Впервые поток грузов из водных артерий Камского и Обского бассейнов, из главных промышленных зон Урала, получил полноценный выход в европейскую часть России, включая Прибалтику, Польшу и Северный Кавказ [14].

В 1885–1892 гг. продолжили вторую восточную магистраль Сызрань — Самара — Уфа — Златоуст — Челябинск протяжением 1140 км. Она пересекла Уральский хребет и вышла в Западную Сибирь, впервые соеди-

нив ее рельсовыми путями с Москвой и Петербургом.

Согласно воспоминаниям министра финансов С. Ю. Витте, лично Александру III принадлежит инициатива строительства Великого Сибирского пути. Император пришел к мысли о строительстве этой магистрали еще в 1881–1882 гг. Сооружение Транссибирской магистрали было неразрывно связано с вопросом переселения крестьянского населения в Сибирь и на Дальний Восток. Переселение крестьян снижало плотность крестьянского населения в Европейской России, оживляло «сибирскую окраину» страны.

В эпоху Александра III происходило активное расширение железнодорожной сети в Финляндии. В 1881–1894 гг. в данной части Российской империи были построены 1266 верст новых железных дорог (в полтора раза больше, чем при Александре II), в том числе две дороги к берегам Ботнического залива — линии Таммерфорс — Николайстадт (288 верст) и Сейняйоки-Гамла Карлебу — Улеаборг (317 верст) с веткой Беннэс — Якобстадт (14 верст) и одна дорога к берегам Финского залива — линия Куопио — Котка (30 верст). В результате сеть финляндских железных дорог представляла собой магистраль от Петербурга до Торнео, идущую не далее 150 верст от морских берегов, с ветвями к портам — Котке, Гельсингфорсу, Гаанге, Або, Бьернеборгу и к городам внутри страны — Иоэнсу, Куопио, Вильманstrandту, Каяне. Такое расположение сети было весьма целесообразным, так как все части страны сообщались между собой и с морскими портами. Таким образом, в целом во всей России, считая и Финляндию, в эпоху Александра III было построено всего 11649 верст железных дорог, или 13780 км.

К моменту смерти Александра III в 1894 г. протяженность железнодорожной сети общего пользования

составляла 33 304 км. Из них в государственном управлении состояли 18 050 км, или более половины (52 %) всего указанного количества, остальные 15 254 км содержались частными компаниями [15]. Таким образом, численный перевес оставался на стороне казенных дорог.

Для более широкого представления о масштабах нового железнодорожного строительства при Александре III следует рассмотреть статистические данные по распределению железнодорожной сети по отдельным частям Российской империи. Таблица 1 свидетельствует о достаточно интенсивном железнодорожном строительстве при Александре III. Вместе с тем, заметен явный откат назад по сравнению с предшествующей эпохой по темпам строительства новых линий в Польше, Прибалтике, Крыму и европейской части России. Снижение темпов строительства связано с выкупом частных дорог в казну и подавлением частного предпринимательства на транспорте. В то же время таблица свидетельствует о начале нового строительства в Средней Азии и Сибири — регионах, где железные дороги ранее практически отсутствовали. Из таблицы

видно, что большая часть железнодорожной сети приходилась на европейскую часть России, включая Польшу, Прибалтику и Финляндию (82,5 % всей железнодорожной сети Российской империи). Таким образом, Урал, Сибирь и Средняя Азия оставались в железнодорожном отношении неразвитыми.

Далее обратимся к сравнительным данным, характеризующим положение России по уровню развития железнодорожной сети относительно США и стран Западной Европы. Для этого рассмотрим таблицу 2. Таблица свидетельствует прежде всего об огромном, почти непреодолимом отставании России от США по протяженности железнодорожной сети: в 1880 г. протяженность железнодорожной сети России составляла 15,5 % железнодорожной сети США, в 1890 — 12, в 1900 — 18. Несмотря на то, что в 1900 г. протяженность российской железнодорожной сети превысила сеть Великобритании на 37 %, Германии — на 8 %, Австро-Венгрии — на 33 %, огромные российские пространства не шли ни в какое сравнение с европейскими. Железнодорожная отсталость России от Европы совершенно очевидна.

Таблица 1

Распределение железнодорожной сети по отдельным частям Российской империи к концу царствования Александра III [16]

Части Российской империи	Построено верст железных дорог		Общее протяжение дорог к концу царствования Александра III	
	до Алек- сандра III	при Алек- сандре III	в верстах	в %
Литва	1 336	1 541	2 877	8,2
Польша	1 476	754	3 230	6,4
Кавказ	971	1 187	2 158	6,2
Финляндия	818	1 266	2 084	6
Урал	666	1 250	1 916	5,5
Прибалтийский край	813	362	1 175	3,4
Крым	231	111	342	1
Европейская Россия	15 647	4 776	20 423	58,5
Средняя Азия	—	1 290	1 290	3,7
Сибирь	—	378	378	1,1
Всего верст	21 958	12 915	34 873	100

Таблица 2

Протяженность железнодорожной сети России, США и западноевропейских государств [17]

Государство	Длина дорог, открытых для движения к концу года, км		
	1880 г.	1890 г.	1900 г.
США	150 717	268 409	311 094
Германия	33 838	42 869	51 391
Австро-Венгрия	19 512	27 113	36 883
Великобритания	28 854	32 297	35 186
Российская империя	23 429	32 141	55 709

Рассмотрим основные причины отсталости России от стран Западной Европы и США по уровню развития и оснащенности железнодорожной сети.

1. В России слишком долго продолжался период недоверия и оппозиции в правительственных сферах и в обществе к железным дорогам. В общей сложности этот период продолжался 25 лет — до начала 1860-х гг. В результате первоначальное опоздание в постройке железных дорог в необходимом количестве наложило глубокий отпечаток на все дальнейшее развитие российской железнодорожной сети.
2. Железнодорожная сеть в России развивалась крайне неравномерно, что было связано с постоянными колебаниями правительства в выборе способов строительства железных дорог и систем железнодорожного хозяйства — казенного или частного.
3. Железнодорожное строительство замедлилось в результате преждевременного для страны превращения государства в контролера и руководителя частных железных дорог и преждевременного выкупа частных дорог в казну. В России слишком рано произошло падение частного железнодорожного предпринимательства. Частный капитал не реализовал полностью свой созидательный потенциал на транспорте,

так как возник на 25–30 лет позже, чем в странах Западной Европы и США. Правительство слишком строго относилось ко всякого рода расчетам ожидаемого грузооборота и вероятных финансовых результатов работы новых дорог. На основании такого рода расчетов многим предпринимателям отказывалось в предоставлении права на постройку дорог. Политика Александра III умаляла значение и силу частной инициативы. Концессии на строительство предоставлялись одним и тем же лицам, а новые, нередко талантливые люди, к развитию сети не имели доступа.

4. Государственное строительство железных дорог неизбежно зависело от ресурсов казны, которые должны были расходоваться и на другие нужды народного хозяйства и культуры. При этом успех государственного строительства полностью зависел от общего финансового состояния государства, в результате чего при исключительно государственном строительстве происходило неизбежное замедление в постройке новых дорог. Это доказал опыт всех стран, не исключая и России.

Значительное развитие при Александре III получил водный транспорт. Одновременно с принятием общих мер по улучшению содержания внутренних водных путей были выполнены некоторые значительные

гидротехнические работы. Самыми значительными из них надо считать сооружение новых каналов: императора Александра III, императрицы Марии Федоровны, проведенных параллельно старым каналам Свирскому и Сясьскому, и постройку нового Мариинского канала. Первые два канала открыты 16 июня 1883 г., а последний — 7 июля 1886 г. Одновременно с этим производились активные работы по улучшению судоходства на всех значительных водных путях страны. Так, 15 мая 1885 г. в присутствии Александра III открыт Санкт-Петербургский Морской канал с портом.

В 1883–1887 гг. были проведены большие работы по сооружению Обско-Енисейской водной системы с расчищением и спрямлением ряда русел небольших рек, устройством канала длиной 7,8 км, постройкой плотины и шлюзов. В результате появилась возможность перевозить грузы и пассажиров по водно-железнодорожному пути: от Санкт-Петербурга по Волго-Балтийской водной системе до Перми, далее по островной железной дороге Пермь — Екатеринбург — Тюмень, затем по Обско-Енисейской и Селенгинской водным системам и далее по Амуру вплоть до Тихого океана. Протяженность этого пути составляла более 10 тыс. км, но его использование целиком зависело от погодных условий. Поэтому путешествие было весьма тяжелым, продолжительным, а порой и рискованным [18].

Совершенствовалось портовое хозяйство. Огромные финансовые средства были отпущены на реконструкцию Либавского, Рижского, Ревельского, Виндавского, Перновского портов на Балтийском море, устроен подход к порту в Архангельске, начат целый ряд капитальных работ в портах Азовского и Черного морей.

Работы по переустройству Мариинской водной системы начались

в 1890 г., причем ставились следующие цели: 1) довести навигационную провозоспособность этого водного пути до 120 млн пудов, приспособив его к проходу судов емкостью до 40 тыс. пудов; 2) удешевить стоимость провоза грузов и 3) обеспечить срочность доставки грузов.

Район производимых работ охватывал 650 верст. В 1896 г. работы были закончены и 15 июня того же года, в присутствии великого князя Владимира Александровича состоялось торжественное открытие водной системы. Экономическое значение Мариинской водной системы, помимо удешевления провоза грузов, состояло еще и в том, что суда прочной конструкции могли теперь заходить в водную систему прямо с нижнего плеса Волги, не перегружаясь в Рыбинске. Мариинский водный путь, провозоспособностью в 120 млн пудов, представлял теперь самый удобный и дешевый путь для громоздких и малоценных грузов, которыми изобиловали Поволжье и Сибирь [19].

Начало сооружения Транссиба в 1891 г. увеличило прилив переселенцев в Сибирь. Оживилось и судоходство на многих реках Западной Сибири. Улучшаемые водные пути Сибири в будущем, по окончании постройки Сибирской железной дороги, должны были служить естественными подъездными путями к магистральной линии железной дороги, оживить торговлю и промышленность малонаселенной Сибири, обеспечить колонизацию ее и дать грузы железной дороге. Поэтому 30 июня 1893 г. было учреждено временное Западно-Сибирское управление внутренними водными путями, отпущены необходимые средства из фонда вспомогательных предприятий Сибирской железной дороги как на содержание самого Управления, так и на единовременные расходы по улучшению судоходного состояния рек Западной Сибири.

При Александре III большое развитие получило пароходство на Амуре, что объясняется тем, что до постройки Амурской железной дороги пароходами обслуживались в крае все правительственные цели — перевозка почты, переселенцев, войск и казенных грузов. На Оби и ее притоке Иртыше пароходное сообщение, хотя и производилось в сравнительно небольшом размере, но все же до известной степени также было развито. На прочих же двух реках Сибири — Енисее и Лене, протекающих среди пустынных местностей с суровым полярным и субполярным климатом и с крайне редким населением, пароходство находилось в зачаточном состоянии. Главная причина отставания России от стран Европы по развитию внутренних водных путей крылась не только в суровом климате, но и в том, что в России в течение многих десятков лет все внимание было обращено на постройку железных дорог. Внутренним водным сообщениям не уделялось того внимания, которого они заслуживали [20].

В России при Александре III речные порты как в отношении оборудования, так и грузооборота находились в примитивном состоянии, причем значительное большинство речных портов даже не были связаны с ветвями железных дорог, из-за этого передача грузов с железных дорог на реки и обратно производилась путем гужевой перевозки зачастую по весьма неустроенным дорогам. Более или менее крупных речных портов при Александре III сооружено было немного, а именно: два на Волге (в Кинешме и Самаре), один на Днестре (в Александровске), два на Висле (в Варшаве и Сандомире) и один на Шексне (в Череповце).

Согласно «Транспортной стратегии Российской Федерации на период до 2030 года», в России к 2008 г. сложилась весьма неблагоприятная ситуация с шоссейными дорогами. В начале XXI века не заверше-

но формирование опорной сети федеральных автомобильных дорог, связывающей все регионы России. Сохраняется низкий уровень развития дорожной сети аграрных территорий, а также в регионах Крайнего Севера, Якутии, Магаданской области, Чукотском автономном округе. Из-за отсутствия дорог с твердым покрытием более 10 % населения в весенний и осенний периоды остаются отрезанными от транспортных коммуникаций. Не завершено формирование опорной сети дорог в районах Севера, Сибири и Дальнего Востока. Местная дорожная сеть развития недостаточно, поэтому значительная часть локальных перевозок производится по федеральным дорогам. Именно поэтому одной из задач развития транспортной системы РФ на период до 2030 г. является формирование единой дорожной сети, круглогодично доступной для населения и хозяйствующих субъектов [21].

Таким образом, на рубеже XX–XXI вв. в России возникло положение с шоссейными дорогами, весьма сильно напоминающее состояние дорожной сети государства во второй половине XIX в. Рассмотрим основные мероприятия правительства Александра III по развитию сети шоссейных дорог в Российской империи, а также местной дорожной сети.

Постройка шоссейных дорог в 1880-е гг. значительно замедлилась, что объяснялось тем второстепенным значением, которое получили шоссейные дороги с началом сооружения железных дорог. В апреле 1883 г. шоссейные дороги, состоявшие в ведении Министерства путей сообщения, были разделены на два разряда.

1. Шоссейные дороги общегосударственного значения, к которым относились все шоссейные дороги, пролежавшие в местностях по левую сторону Западной Двины и по правую сторону Днестра, и сверх того Московско-Брестское,

Киевское, Псково-Рижское шоссе, шоссеиные дороги вблизи Петербурга и на побережье Крыма. Эти дороги можно было передавать во временное ведение земств с назначением определенного пособия от казны на их содержание.

2. Шоссеиные дороги местного значения, к которым причислялись все остальные шоссеиные дороги. По закону 1883 г. они передавались на содержание земств и городских управлений без выплаты из казны на их содержание [22].

Негативные последствия закона 1883 г. проявились достаточно быстро. Земские учреждения не справлялись со строительством и содержанием шоссеиных дорог без государственной финансовой поддержки. Кроме того, для земских учреждений не был установлен единый порядок их участия в содержании дорог. В каждой губернии и уезде земства решали вопросы дорожного строительства и содержания дорог по своему усмотрению, без единого четко отработанного подхода. В результате в 1889 г. правительство Александра III вынуждено было приостановить действие закона о передаче большей части общегосударственных и всех местных дорог на содержание земств.

Неурожай 1891 г. заставил императора призадуматься над необходимостью развития шоссеиных дорог в европейской части России. Становилось совершенно очевидным, что гужевые дороги еще не потеряли значения местных путей сообщения и подъездных путей к пристаням и железным дорогам. Оказалось, что они играют немаловажную роль в развитии местной экономической жизни. Благодаря этому в правительстве был поднят вопрос о необходимости улучшения местных гужевых дорог, а в самом начале царствования Николая II, в 1895 г., издан закон об отнесении части дорожных расходов на общие средства государственного казначейства. Из вы-

свобождавшихся таким образом денежных сумм в губернских земствах были образованы специальные дорожные капиталы, благодаря которым начиная с 1895 г. и развивалась усиленная, по сравнению с прежним временем, постройка шоссеиных и мостовых дорог [23].

Уровень развития шоссеиной сети с твердым покрытием при Александре III показывают данные таблицы 3.

Таблица 3

Протяженность шоссеиных дорог с твердым покрытием в России и странах Западной Европы по состоянию на 1890 г., км [24]

Государство	Протяженность шоссеиных дорог
Россия	20 300
Бельгия	24 500
Австрия	93 700
Германия	100 000
Англия	199 500
Франция	486 000

Таблица показывает, что по протяженности дорожной сети Россия в 1890 г. находилась на последнем месте. Фактически сложился непреодолимый разрыв по этому показателю между странами Западной Европы и Россией. Причинами такого отставания стали не только огромные пространства страны, но и неэффективность государственной политики в вопросах дорожного строительства. Можно утверждать, что опыт Крымской войны не был извлечен в должной мере. Следует также отметить, что львиная доля средств уходила в железнодорожное строительство в ущерб шоссеиным и водным путям.

За 1890–1910 гг. сеть дорог с твердым покрытием в европейской части России увеличилась с 20300 км до 35770 км, то есть на 15470 км, или 76%. Достаточно хорошо обеспечены шоссеиными дорогами были Польша,

Черноморская и Московская губернии. Губерний европейской части России, бедных шоссейными и мощными дорогами, оставалось еще слишком много, причем в 31 губернии и 4 областях на 100 км² имелось менее чем 1 км дорог с твердым покрытием, а в четырех губерниях (Архангельской, Олонецкой, Пермской, Эстляндской) дорог с твердым покрытием не было вовсе [25].

Таким образом, в отношении гужевого транспорта Россия находилась в критическом положении, и это служило громадным тормозом для всех важнейших экономических мероприятий правительства. Бездорожье косвенно отзывалось на всем благосостоянии страны, на всем укладе ее жизни, особенно на сельском хозяйстве. Возможность правильной эксплуатации сельского хозяйства всегда зависела от развития и состояния путей сообщения.

Возвращаясь к «Транспортной стратегии Российской Федерации на период до 2030 года», необходимо отметить, что приоритетное развитие в ней отдается решению дорожных проблем Московского, Санкт-Петербургского и Сочинского транспортных узлов. При этом предусматривается включение в состав дорог федерального значения целого ряда дорог регионального, межмуниципального и местного значения.

В сеть дорог федерального значения должны войти следующие дороги: дороги, обеспечивающие межрегиональные связи и позволяющие интегрировать разобщенную дорожную сеть отдельных областей в единую транспортную систему России; дороги, соединяющие между собой административные центры субъектов РФ по кратчайшему расстоянию; региональные дороги, входящие в состав международных транспортных коридоров; дороги, обеспечивающие автотранспортные связи субъектов, расположенных на северо-востоке страны, с дорожной сетью России; дороги, обе-

спечивающие подъезд от федеральной сети России к морским портам.

В результате проведенной модернизации конфигурация сети автомобильных дорог федерального значения будет преобразована из радиальной в сетевую, что создаст дополнительные резервы пропускной способности [26].

Таким образом, программа развития дорожной сети в основных своих чертах воспроизводит дорожную программу императора Александра III. В обеих программах достаточно четко прослеживаются ориентации на приоритетное развитие дорожной сети в центре страны и недооценка экономического значения местных (региональных) дорог, которые по новой программе приобретают статус федеральных относительно их стратегического значения для государства.

Необходимым условием создания единого развитого конкурентоспособного транспортного комплекса является опережающее инновационное развитие его научной, технической и технологической базы на основе передовых мировых достижений и прорывных технологий. Значительный раздел «Транспортной стратегии Российской Федерации на период до 2030 года» посвящен инновационной политике на железнодорожном транспорте. Эта инновационная политика включает в себя разработку новой нормативной базы и новых технических требований к услугам железнодорожного транспорта с учетом принципов менеджмента качества. Сформулированы основные положения по созданию системы технического обслуживания скоростной и высокоскоростной инфраструктуры и подвижного состава. Основной акцент сделан на организацию производства подвижного состава нового поколения [27].

При Александре III особенно активно развивалась транспортная наука. Царствование императора отмечено целым рядом научных достиже-

ний российских инженеров, имеющих мировое значение. Это, прежде всего, труды отечественных мостостроителей Н. А. Белелюбского, Л. Ф. Николаи, Е. О. Патона, Л. Д. Проскурякова, Г. П. Передерия. Мосты, сооруженные в те далекие годы, и поныне несут свою службу на железных дорогах страны.

В марте 1885 г. в Петербурге состоялось первое совещание русских цементных заводчиков и техников с целью обсудить вопросы по цементным испытаниям и вообще вопросы, касающиеся техники цементного производства. В апреле 1889 г. в Механической лаборатории Института Корпуса инженеров путей сообщения состоялось испытание отечественных портланд-цементов в присутствии представителей заводов-производителей цемента. Результаты этих испытаний показали, что российские заводы вполне приспособлены давать портланд-цемент высокого качества. В 1889–1890 г. составлены технические условия приемки портланд-цементов для проведения портовых работ.

В 1883 г. Императорским русским техническим обществом предприняты исследования стальных рельсов и бандажей. Цель проведения испытаний — выяснить, какого свойства сталь соответствует наименьшему изнашиванию рельсов и бандажей. Проводились испытания на разрыв и скручивание рельсовой стали, испытания на прессе и под ударной установкой. В 1885 г. образована комиссия под председательством профессора Н. П. Петрова по составлению технических условий приемки литого железа для мостов на строящихся казенных дорогах. Механической лабораторией Института под наблюдением Н. А. Белелюбского были проведены опыты с широкими планками из литого железа для выяснения вопроса, какое влияние оказывают на свойства железа различные способы обработки его: обрезка ножница-

ми, строганье, обжиг. Составленные комиссией технические условия приняты Временным управлением казенных железных дорог за основание при изготовлении мостовых частей из литого железа для строящихся Псково-Рижской и Ржево-Вяземской железных дорог [28].

При Александре III опережающие время идеи появились в области электрификации железных дорог. Исследованию вопросов электрификации железнодорожных линий способствовало развитие электротехники. В 1887 г. инженер путей сообщения Г. К. Мерцинг ввел в курс электротехники специальный раздел «Электрические железные дороги, электровозы». Автор показал, что важнейшей областью практического применения электричества на транспорте является электрическая тяга. В начале 1890-х гг. отечественные ученые Г. О. Графтио, Г. Д. Дубелир и К. Н. Кашкин опубликовали ряд исследований, посвященных теории электрической тяги и электрификации железных дорог. В 1900 г. состоялся первый Всероссийский электротехнический съезд, который высказался за введение электрической тяги на железнодорожном транспорте. В 1902 г. построена первая электрическая узкоколейная железная дорога Лодзь — Пабианице — Згерж длиной 19,8 км. Таким образом, были созданы важные предпосылки для внедрения в будущем электрической тяги на железных дорогах [29].

При Александре III начинается постепенное развитие телефонной связи на транспорте. Первые опыты по применению телефонов на железной дороге были проведены в 1880 г. инженером П. М. Голубицким. В 1883 г. он оборудовал первую телефонную станцию на десять линий в Петербургском паровозном депо, положив начало внедрению местных телефонных сетей. В 1884 г. Л. М. Голубицкий предложил использовать телефоны для связи остановившегося

в пути поезда с железнодорожными станциями. Для этой цели был сконструирован специальный поездной телефонный аппарат, примененный в 1886 г. на участке Москва — Подольск Московско-Курской дороги. В 1888 г. Министерство путей сообщения провело успешные испытания новой связи на линии Петербург — Москва. Телефонный способ передачи сигналов с пути позволил освободиться от старой громоздкой технологии связи посредством переносного поездного телеграфного аппарата. Однако к началу XX в. российские железные дороги все еще не имели единой системы телефонной связи — для телефонирования применялись весьма разнообразные типы аппаратов [30].

Таким образом, программа научного обеспечения развития железнодорожного транспорта Александра III более обширна. Спектр затронутых в ней научных проблем более широк, чем в «Транспортной стратегии». Научные разработки российских инженеров явно опережали свое время и, в конечном счете, определили основные направления модернизации материально-технической базы железнодорожного транспорта в XX в.

Инновационная программа «Транспортной стратегии» в большей степени ориентирована на восприятие мировых научно-технических достижений в области транспорта и, в основном, сосредоточена на проблемах организации высокоскоростного движения и производства подвижного состава нового поколения. Следует отметить, что для реализации любой научной программы на транспорте, как ни в какой другой отрасли, необходима прежде всего государственная поддержка и заинтересованность в ее реализации правительственных верхов, что хорошо прослеживается на исторических фактах.

Рассмотренный в статье теоретический материал позволяет сделать

ряд принципиально важных выводов о роли государства в развитии транспорта.

1. В царствование Александра III государство становится монополистом в области развития и эксплуатации транспортной системы страны, грань между государственным и частным капиталом на транспорте постепенно исчезает. При этом большая часть материальных, людских и интеллектуальных средств и усилий концентрируются на развитии железнодорожного транспорта в ущерб всем другим видам транспорта — морскому, речному и гужевому. Это приводило к одностороннему, неравномерному развитию транспортной системы империи.
2. Курс на казенное строительство железных дорог, начатый в 1880-е годы, сделал развитие железнодорожной сети более планомерным и учитывающим стратегические интересы государства. Основные железнодорожные линии оказались к западу от Москвы. На весь восток европейской части России и всю ее азиатскую часть приходилась малая доля железных дорог. В результате к началу Первой мировой войны железнодорожный транспорт оказался слабо подготовленным к требованиям военного времени.
3. Построенные при императоре Александре III новые железные дороги оживляли промышленность, особенно металлургическую и угольную, давали работу и хлеб десяткам тысяч оторванных от земли крестьян, пробуждали к активной экономической деятельности изолированные районы Урала, Сибири и Севера. Страна, наконец, ощутила практический результат невероятных, почти безнадёжных усилий в течение полувека направлявшихся на строительство железных дорог.

Этот взлет массового железнодорожного строительства при Александре II и Александре III стал возможен благодаря двум историческим обстоятельствам. Во-первых, развитие капиталистических процессов в крестьянской стране высвободило много привычных к тяжелой работе рук. Бывшие хлебопашцы, оставшиеся после отмены крепостного права без земли, согласны были работать на любых условиях. Железнодорожное строительство легко поглощало избыток рабочей силы. Во-вторых, поднимающаяся промышленность нуждалась в прогрессивном транспортном средстве и готова была платить за перевозки. В России начался железнодорожный бум, подобный тому, что Англия пережила за полвека до того.

4. Исследование транспортной политики императора Александра III

на современном этапе реформирования транспорта, несомненно, позволит избежать тех ошибок и упущений, которые были допущены императором и высшими правительственными чиновниками. К таким упущениям можно отнести: неравномерный, не комплексный характер развития транспортной системы страны; недостаток системного подхода к проблемам транспорта; чрезмерная государственная регламентация развития транспортного комплекса; определенная недооценка транспортных проблем отдельных регионов страны. Как и во времена Александра III, государство продолжает сегодня занимать доминирующие позиции в транспортном комплексе страны и, во многом, определяет основные направления его прогрессивного, поступательного развития. ■

Литература

1. Транспортная стратегия Российской Федерации на период до 2030 года. — М., 2008. — 233 с.
2. Там же. — С. 124–125.
3. Боханов А. Н. Александр III. — М., 2007. — С. 285–305.
4. Покровский М. Н. Русская история: В 3-х т. Т. 3. — СПб, 2002. — С. 291–338.
5. Оппенгейм К. А. Россия в дорожном отношении. — М., 1920. — С. 57–125.
6. Транспортная стратегия Российской Федерации на период до 2030 года. — М., 2008. — С. 137.
7. Наша железнодорожная политика по документам архива Комитета Министров. Исторический очерк, составленный Начальником Отделения Канцелярии Комитета Министров Н. А. Кислинским, под гл. ред. Статс-Секретаря Куломзина. — Санкт-Петербург: издание Канцелярии Комитета Министров, 1902. — Т. 3. — С. 40–60.
8. Оппенгейм К. А. Россия в дорожном отношении. — М., 1920. — С. 57–125.
9. Витте С. Ю. Воспоминания.
10. Транспортная стратегия Российской Федерации на период до 2030 года. — М., 2008. — С. 43.
11. История железнодорожного транспорта России. — Т. I: 1836–1917 гг. — СПб, 1994. — С. 200–213.
12. Наша железнодорожная политика по документам архива Комитета Министров. Исторический очерк, составленный Начальником Отделения Канцелярии Комитета Министров Н. А. Кислинским, под гл. ред. Статс-Секретаря Куломзина. — Санкт-Петербург: издание Канцелярии Комитета Министров, 1902. — Т. 3. — С. 40–60.
13. Транспортная стратегия Российской Федерации на период до 2030 года. — М., 2008. — С. 89–90.
14. Лукьянин В. П. Больше века на службе России. — Екатеринбург, 1998. — С. 54–75. См. также: Коптелов В. Т. Железная дорога Екатеринбург — Тюмень — Омск. Очерки истории Тюменского отделения дороги. — Тюмень, 2000. — С. 21–41.

15. Оппенгейм К. А. Россия в дорожном отношении. — М., 1920. — С. 57–125.
16. Там же.
17. Там же.
18. История железнодорожного транспорта России. — Т. I: 1836–1917 гг. — СПб, 1994. — С. 146.
19. Краткий исторический очерк развития и деятельности ведомства путей сообщения за сто лет его существования (1798–1898 гг.). — С-Птб, 1898. — С. 159–193.
20. Оппенгейм К. А. Россия в дорожном отношении. — М., 1920. — С. 57–125.
21. Транспортная стратегия Российской Федерации на период до 2030 года. — М., 2008. — С. 12–14.
22. Краткий исторический очерк развития и деятельности ведомства путей сообщения за сто лет его существования (1798–1898 гг.). — С-Птб., 1898. — С. 159–193.
23. Оппенгейм К. А. Россия в дорожном отношении. — М., 1920. — С. 57–125.
24. Там же.
25. Там же.
26. Транспортная стратегия Российской Федерации на период до 2030 года. — М., 2008. — С. 50–51.
27. Там же. — С. 158–160.
28. История железнодорожного транспорта России. — Т. I: 1836–1917 гг. — СПб, 1994. — С. 228–236.
29. Там же. — С. 295–301.
30. Там же. — С. 262–267.

References

1. Transportnaja strategija Rossijskoj Federatsii na period do 2030 goda. [Transport strategy of the Russian Federation till 2030]— М., 2008. — 233 s.
2. Transportnaja strategija Rossijskoj Federatsii na period do 2030 goda. [Transport strategy of the Russian Federation till 2030]— М., 2008. — S.124–125.
3. Bokhanov A. N. Aleksandr III. [Aleksander III] — М., 2007. — S. 285–305.
4. Pokrovskij M. N. Russkaja istorija [Russian history]: V 3-h t. T. 3. — SPb, 2002. — S. 291–338.
5. Oppengejm K. A. Rossija v dorozhnom otnoshenii [Russia in respect of road system]. — М., 1920. — S. 57–125.
6. Transportnaja strategija Rossijskoj Federatsii na period do 2030 goda. [Transport strategy of the Russian Federation till 2030] — М., 2008. — S. 137.
7. Nasha zheleznodorozhnaja politika po dokumentam arkhiva Komiteta Ministrov. [Our railway policy according to the documents of the archive of Committee of Ministers] Istoricheskij ocherk, sostavlennij Nachalnikom Otdelenija Kantseljarii Komiteta Ministrov N. A. Kislinskim, pod gl. red. Stats-Sekretarja Kulomzina. — Sankt-Peterburg: izdanie Kantseljarii Komiteta Ministrov, 1902. — T. 3. — S. 40–60.
8. Oppengejm K. A. Rossija v dorozhnom otnoshenii [Russia in respect of road system]. — М., 1920. — S. 57–125.
9. Vitte S. Ju. Vospominanija [Reminiscense].
10. Transportnaja strategija Rossijskoj Federatsii na period do 2030 goda [Transport strategy of the Russian Federation till 2030]. — М., 2008. — S. 43.
11. Istorija zheleznodorozhnogo transporta Rossii [History of railway transport of Russia]. — Т. I: 1836–1917 gg. — SPb, 1994. — S. 200–213.
12. Nasha zheleznodorozhnaja politika po dokumentam arkhiva Komiteta Ministrov [Our railway policy according to the documents of the archive of Committee of Ministers]. Istoricheskij ocherk, sostavlennij Nachalnikom Otdelenija Kanceljarii Komiteta Ministrov N. A. Kislinskim, pod gl. red. Stats-Sekretarja Kulomzina. — Sankt-Peterburg: izdanie Kanceljarii Komiteta Ministrov, 1902. — T. 3. — S. 40–60.
13. Transportnaja strategija Rossijskoj Federatsii na period do 2030 goda. [Transport strategy of the Russian Federation till 2030] — М., 2008. — S. 89–90.
14. Lukjanin V. P. Bolshe veka na sluzhbe Rossii. [More than a century serving Russia] — Ekaterinburg, 1998. — S. 54–75. Sm. takzhe: Koptelov V. T. Zheleznaja doroga Ekaterinburg — Tjumen — Omsk. Ocherki istorii Tjumenskogo otdelenija dorogi. — Tjumen, 2000. — S. 21–41.

15. Oppengejm K.A. Rossiya v dorozhnom otnoshenii. [Russia in respect of road system]. — M., 1920. — S. 57–125.
16. Oppengejm K.A. Rossiya v dorozhnom otnoshenii. [Russia in respect of road system]. — M., 1920.
17. Oppengejm K.A. Rossiya v dorozhnom otnoshenii. [Russia in respect of road system]. — M., 1920.
18. Istorija zheleznodorozhnogo transporta Rossii. [History of railway transport of Russia] — T. I: 1836–1917 gg. — SPb, 1994. — S. 146.
19. Kratkij istoricheskij ocherk razvitiya i dejatel'nosti vedomstva putej soobshchenija za sto let ego sushchestvovaniya (1798–1898 gg.). [Short historical outline of Railway agency development and activities for 100 years of its existence] — S-Ptb, 1898. — S. 159–193.
20. Oppengejm K.A. Rossiya v dorozhnom otnoshenii. [Russia in respect of road system]. — M., 1920. — S. 57–125.
21. Transportnaja strategija Rossijskoj Federatsii na period do 2030 goda. [Transport strategy of the Russian Federation till 2030]. — M., 2008. — S. 12–14.
22. Kratkij istoricheskij ocherk razvitiya i dejatel'nosti vedomstva putej soobshchenija za sto let ego sushchestvovaniya (1798–1898 gg.). [Short historical outline of Railway agency development and activities for 100 years of its existence] — S-Ptb, 1898. — S. 159–193.
23. Oppengejm K.A. Rossiya v dorozhnom otnoshenii. [Russia in respect of road system]. — M., 1920. — S. 57–125.
24. Oppengejm K.A. Rossiya v dorozhnom otnoshenii. [Russia in respect of road system]. — M., 1920.
25. Oppengejm K.A. Rossiya v dorozhnom otnoshenii. [Russia in respect of road system]. — M., 1920.
26. Transportnaja strategija Rossijskoj Federacii na period do 2030 goda. [Transport strategy of the Russian Federation till 2030]. — M., 2008. — S. 50–51.
27. Transportnaja strategija Rossijskoj Federacii na period do 2030 goda. [Transport strategy of the Russian Federation till 2030]. — M., 2008. — S. 158–160.
28. Istorija zheleznodorozhnogo transporta Rossii. [History of railway transport of Russia]. — T. 1: 1836–1917 gg. — SPb, 1994. — S. 228–236.
29. Istorija zheleznodorozhnogo transporta Rossii. [History of railway transport of Russia]. — T. 1: 1836–1917 gg. — SPb, 1994. — S. 295–301.
30. Istorija zheleznodorozhnogo transporta Rossii. [History of railway transport of Russia]. — T. 1: 1836–1917 gg. — SPb, 1994. — S. 262–267.

Статья сдана в редакцию 14 января 2012 года

Уважаемые коллеги!

Информирую вас о требованиях, предъявляемых к оформлению статей.

При наборе используйте Word-2003 или Word-2007; шрифт (по всему тексту, в том числе в рисунках и таблицах) — тип Times, размер шрифта — 14, межстрочное расстояние — 1,5, абзацный отступ — 1,25 (1,27) см, поля — 2 см; расстановка переносов по всему тексту — автоматическая.

Набор формул: простые формулы и сочетания символов ($x^2 < y^2$; $E = mc^2$; $a^2 + b^2 = c^2$; Q_{i-1} ; ψ_j) — только в текстовом режиме, сложные

$$(s^2 = \frac{1}{n-1} \left[\sum_{j=1}^n x_j^2 n_j - \frac{1}{n} \left(\sum_{j=1}^n x_j n_j \right)^2 \right]; \left(\frac{\sigma_a}{[n]} \right))$$

или S_i^m) — только в редакторе формул (встроен в Word).

Написание букв: русские (а, б, в, А, Б, В), греческие (Θ, Σ, Ω, Ψ, α, β, δ, ε, λ, π), а также цифры и функции (1, 2, 3; I, II, III; max, lg, sin и т.п.) пишутся только прямо; латинские (*a, b, n, A, B, N* и т.д.) — только курсивом. Исключение — курсив во вспомогательном тексте (слова «Таблица» и «Рис.», примечания в рисунках и ссылки в тексте на эти примечания).

Оформление текста: левый верхний край — инициалы, фамилия; заголовков — все буквы ПРОПИСНЫЕ, жирные, расположение — по центру набора; таблиц и рисунков: в таблицах размер шрифта — на полтора-два размера меньше, чем в основном тексте (11,5–12), расположение текста в «шапке» таблицы — по центру, в столбцах — по ширине; межстрочное расстояние — 1; слово «Таблица» — курсивное начертание, в правый край таблицы; название таблицы — начертание нормальное (прямое), расположение — по центру таблицы. В рисунках (графи-

ках, диаграммах): размер подрисуночной подписи — 14, расположение — по центру набора, слово «Рис.» — курсив, название рисунка — нормальное начертание, описание рисунка (экспликация) — нормальное начертание, условные обозначения — курсивное начертание, их расшифровка — нормальное. Расположение таблиц и рисунков — строго после ссылки на них.

Кроме того, рисунки обязательно прилагаются к материалу (один рисунок — один файл; формат — *.jpg).

Ссылки на литературу в тексте пишутся в квадратных скобках ([1], [1, 2] или [3–5]); нумерация сквозная. Список литературы/источников оформляется по ГОСТ 7.0.5–2008.

В конце статьи обязательно ставится дата отсылки материала в редакцию.

Объем статьи — не более 14-ти страниц.

Название файла: Фамилия. Первое слово заголовка. Многоточие. Последнее слово заголовка (Сидоров. Синтез... электроприводом).

К материалу (статье) обязательно прилагаются (отдельным файлом): УДК, сведения об авторе, аннотация, ключевые слова (название файла: УДК 000. Сидоров. Синтез... электроприводом).

Материалы для очередного номера журнала «Вестник УрГУПС» принимаются до 30 числа первого месяца квартала (до 30-го января, 30-го апреля, до 30-го июля, до 30-го октября). Материалы, поступившие в редакцию после 30-го числа, будут опубликованы только в следующем номере.

Успешной работы!

*Л. Барышникова,
литературный и выпускающий
редактор журнала «Вестник УрГУПС»*